



FACULTAD DE INGENIERIA
MARITIMA Y CIENCIAS DEL MAR

ESCUELA SUPERIOR
POLITECNICA DEL LITORAL

FACULTAD DE INGENIERIA MARITIMA
Y CIENCIAS DEL MAR

INVESTIGACION DEL PROBLEMA DE ROTURA DE EJES
EN LOS REMOLCADORES TONINO Y TORTUGO DE
AUTORIDAD PORTUARIA DE GUAYAQUIL

TESIS DE GRADO

Previa la obtención del Titulo de
INGENIERO NAVAL

PRESENTADA POR
MARIO ENRIQUE ROMAN VERDESOTO

GUAYAQUIL - ECUADOR

1987

DEDICATORIA



BIBLIOTECA
FAC. ING.
MARITIMA

A las siguientes personas , las cuales sencillamente significan la razón de mi existencia ; por lo cual les estare eternamente agradecido. :

DIOS

MI HIJO

MI ESPOSA

MIS PADRES y

MIS HERMANOS.

AEROSOL ELEMENTO

AL. ING. JOSE MARTIN LOPEZ

Durante la etapa de desarrollo ya existe del tema
nuestro problema consistente con el diseño
de un sistema que ayude a los trabajos de
calidad y también con este tema

Algunas recomendaciones y conclusiones son:
esperando que la frecuencia media sea apro-
piada para poder la ESRIL. Siempre con
el mismo tiempo de respuesta y el mismo
número de datos.

ING. CRISTOBAL MARISCAL D.

DECANO DE LA FACULTAD DE INGENIERIA

ING. JOSE MARIN L.

DIRECTOR DE TESIS

ING. ARMANDO FLORES H. MIEMBRO PRINCIPAL DEL TRIBUNAL

ING. ARMANDO FLORES H.

MIEMBRO PRINCIPAL DEL TRIBUNAL

ING. BOLIVAR VACA R.

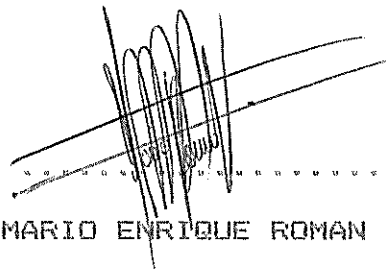
MIEMBRO PRINCIPAL DEL TRIBU

ENRIQUE ENRIQUE RUBIAN VERDEJO

DECLARACION EXPRESA

"La responsabilidad por los hechos, ideas y doctrinas expuestos en este texto, me corresponden exclusivamente; y, el patrimonio intelectual de la misma, a la "ESCUELA SUPERIOR POLITECNICA DEL LITORAL".

(Reglamento de Exámenes y Títulos profesionales de la ESPOL)



MARIO ENRIQUE ROMAN VERDESOTO

RESUMEN

El presente trabajo investiga las posibles causas de las roturas que han venido sufriendo los ejes de los remolcadores Tonino y Tortugo de Autoridad Portuaria de Guayaquil. Se empieza calculando los Esfuerzos Estáticos y luego los Vibratorios que actúan sobre el eje. Se procede luego a estimar el Límite de Fatiga del material, considerando factores de corrección adecuados. Finalmente se llega a calcular el Factor de Seguridad con que está operando el eje. Dado que el Factor de Seguridad es inferior al que se recomienda para uso marino, se concluye que la falla se debe a Vibración Lateral excesiva del eje propulsor; estos esfuerzos se ven magnificados por los Factores de Concentración de Esfuerzos presentes en la discontinuidad de la camisa del eje. Esto concuerda con la dirección en que se producen las roturas y además con la presencia de las Marcas de Playa (signos de la presencia de Fatiga) en la cara seccionada. Finalmente se dan recomendaciones tendientes a evitar que se presenten los problemas causa de este análisis.

INDICE GENERAL

Pág.

RESUMEN	VI
INDICE GENERAL	VII
INDICE DE FIGURAS	VIII
INTRODUCCION	10
CAPITULO I	
DESCRIPCION DE LAS EMBARCACIONES Y SUS DARDOS.	17
1.1 Dimensiones principales de los Remolcadores.	17
1.2 Descripcion del sistema propulsor.	20
1.3 Descripcion de las roturas del eje.	22
1.4 Propiedades mecanicas del material del eje.	25
CAPITULO II	
ESFUERZOS ESTATICOS QUE ACTUAN SOBRE EL EJE.	28

2.1	Esfuerzo debido a flexión	20
2.2	Esfuerzo debido a compresión	33
2.3	Esfuerzo debido a torsión	34
2.4	Esfuerzo estático resultante	35
 CAPITULO III		
ANALISIS VIBRATORIO DEL SISTEMA PROPULSOR		50
3.1	Análisis de vibración torsional	50
3.2	Análisis de vibración lateral	91
3.3	Análisis de vibración longitudinal	107
3.4	Esfuerzo alternativo resultante	127
 CAPITULO IV		
ANALISIS DE FATIGA		132
4.1	Cálculo del Límite de Resistencia a la Fatiga del material	132
4.2	Falla por fatiga debido a esfuerzos combinados	145
4.3	Análisis de los resultados	148

MODIFICACIONES RECOMENDADAS EN EL SISTEMA PROPULSOR	151
5.1 Modificaciones recomendadas	151
5.2 Descripción del sistema propulsor modificado	153
5.3 Esfuerzos resultantes en el sistema propulsor modificado	154
CONCLUSIONES Y RECOMENDACIONES	155
APÉNDICES	156
BIBLIOGRAFIA	159

INDICE DE FIGURAS

Pag

Fig. 1.1 Disposición General	1	49
Fig. 1.2 Sistema propulsor	21	
Fig. 1.3 Falla localizada en el extremo de popa de la camisa	23	
Fig. 1.4 Falla localizada en el extremo de proa de la camisa	23	
Fig. 1.5 Plano de corte a 90° de las líneas de eje	24	
Fig. 1.6 Detalle de la sección fracturada.	25	
Fig. 2.1 Diagrama de cuerpo libre del sistema propulsor	29	
Fig. 2.2 Diagrama de fuerza cortante y momento flector	31	
Fig. 2.3 Elemento sometido a esfuerzos principales	38	

Fig. 2.4 Elemento orientado según los planos principales de corte.	39
Fig. 2.5 Cargas axiales y de flexión.	40
Fig. 2.6 Estado plano de esfuerzo y círculo de Mohr.	41
Fig. 2.7 Fibra superior del eje propulsor tipo B.	44
Fig. 2.8 Elemento resultante.	47
Fig. 2.9 Círculo de Mohr resultante.	49
Fig. 3.1 Estación del cigüenel, dimensiones principales.	52
Fig. 3.2 Sistema de transmisión.	56
Fig. 3.3 Inercia y peso de la hélice, en función del diámetro.	61
Fig. 3.4 Armónicos del torque producido por las gomas.	67
Fig. 3.5 Componentes seno y coseno de presión de	

Gases	71
Fig. 3.6. σ_m en función de relación bielavanivela.	72
Fig. 3.7. T_0 en función de PBI.	73
Fig. 3.8. Modelo empleado.	74
Fig. 3.9. Factor V_r , vector resultante.	76
Fig. 3.10. Diagrama de fase o estrella.	77
Fig. 3.11. Condiciones resonantes para cada frecuencia natural.	78
Fig. 3.12. Relación bielavanivela.	81
Fig. 3.13. Resultados obtenidos.	81
Fig. 3.14. Diagrama de estrella para I.	83
Fig. 3.15. Diagrama de estrella para II.	83
Fig. 3.16. Diagrama de estrella para III.	84

Fig. 3.17 Sistema propulsor equivalente con su momento reflector.	93
Fig. 3.18 Momento externo debido al empuje descentrado.	98
Fig. 3.19 Diagrama de cuerpo libre y líneas elásticas.	101
Fig. 3.20 Extremo de eje en corte lateral.	104
Fig. 3.21 Sistema aplicado a vibración longitudinal de.	107
Fig. 3.22 Deflexión axial producida por la carga unitaria.	110
Fig. 3.23 Vista longitudinal de la máquina de la máquina.	111
Fig. 3.24 Secciones 1 y 2.	112
Fig. 3.25 Distancia entre el eje neutro y la línea de empuje.	113
Fig. 3.26 Momento reflector producido por la carga unitaria.	114

Fig. 3.22 Diagrama de Fuerza Cortante.	135
Fig. 3.23 Diagrama de Momento Flectror.	146
Fig. 3.29 Distribución de inertias.	147
Fig. 3.30 Distribución M/I.	148
Fig. 3.31 Rotación de la base de la máquina.	149
Fig. 3.32 Sección longitudinal de la base que actúa en corte.	151
Fig. 3.33 Círculos de Mohr para diversas condiciones de carga.	159
Fig. 3.34 Radio de curvatura en el extremo de la columna. .	160
Fig. 3.35 Factor de concentración de esfuerzos en flexión y torsión.	161
Fig. 4.1 Relación entre la resistencia a la tensión y límite de fatiga en aceros.	164
Fig. 4.2 Factores que modifican el acabado del acero. . .	167

Figs. 4.3 Distribución de esfuerzos y resistencias	139
Figs. 4.4 Relación entre esfuerzos estáticos y alternativos	146
Figs. 4.5 Diagrama de Goodman Modificado	148
Figs. 4.6 Casos característicos de falla por fatiga en ejes	149
Figs. 5.1 Sistema Propulsor Modificado	153

INTRODUCTION

Este trabajo es el resultado de un trabajo de investigación que tuvo como objetivo analizar las estrategias de respuesta a la crisis sanitaria generada por la COVID-19 en la ciudad de Bogotá. La investigación se realizó entre el 10 de marzo y el 10 de mayo de 2020, periodo en el cual se implementaron las medidas de cuarentena obligatoria y se establecieron las estrategias de respuesta a la crisis sanitaria. El análisis se realizó en tres etapas: una primera etapa que abarcó los primeros días de cuarentena y que se centró en la respuesta del Gobierno Nacional y las autoridades locales; una segunda etapa que abarcó los primeros días de cuarentena y que se centró en la respuesta de los sectores económicos y sociales; y una tercera etapa que abarcó los primeros días de cuarentena y que se centró en la respuesta de los sectores económicos y sociales.

El trabajo se divide en tres partes principales: una primera parte que aborda la respuesta del Gobierno Nacional y las autoridades locales; una segunda parte que aborda la respuesta de los sectores económicos y sociales; y una tercera parte que aborda la respuesta de los sectores económicos y sociales. La primera parte se centra en la respuesta del Gobierno Nacional y las autoridades locales, que incluye la respuesta a la crisis sanitaria, la respuesta a la crisis económica y la respuesta a la crisis social. La segunda parte se centra en la respuesta de los sectores económicos y sociales, que incluye la respuesta a la crisis sanitaria, la respuesta a la crisis económica y la respuesta a la crisis social. La tercera parte se centra en la respuesta de los sectores económicos y sociales, que incluye la respuesta a la crisis sanitaria, la respuesta a la crisis económica y la respuesta a la crisis social.

PROBLEMATIQUE DÉCOUVERTE PAR L'EXPLORATION DES RÉSULTATS DE LA TÉLEMETRIE

Besides the identification of the learning interval which permits the detection of the optimal characteristics of the low rates proposed growth surfaces, it is necessary to determine the influence of the number of stripings, the shape of the learning interval and aspiration.

Concerning the number of stripings, it is observed that the separation of the confidence interval increases with the number of stripings. It is considered that the width of the confidence interval is proportional to the square root of the number of stripings. This result is obtained by the analysis of the variance of the mean of the sample of the number of stripings.

CAPITULO I

DESCRIPCION DE LAS EMBARCACIONES Y SUS DADOS

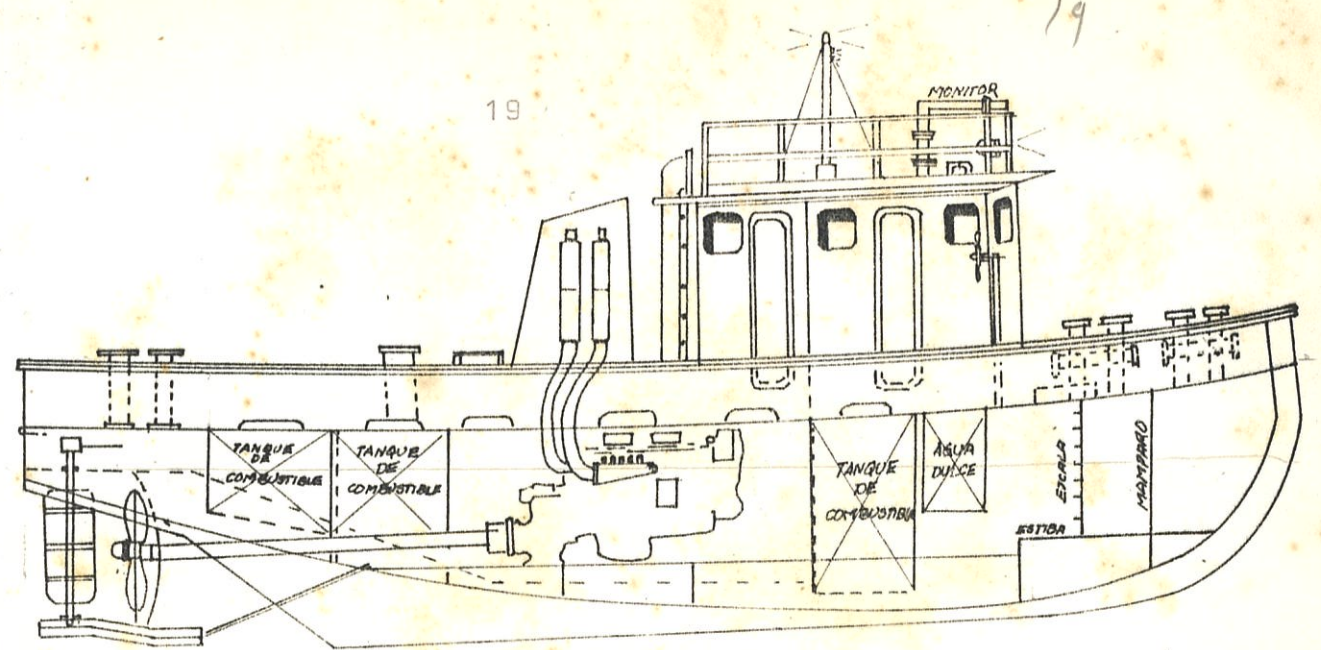
1.1. - DIMENSIONES PRINCIPALES DE LOS REMOLCADORES. -

Los remolcadores Tonino y Tortugo son embarcaciones gemelas, que prestan sus servicios a la Autoridad Portuaria de Guayaquil. Fueron diseñados y construidos en Guayaquil, en el año 1.972 por ASTINAYE, Astilleros Navales Ecuatorianos. A continuación se presenta un cuadro con sus dimensiones y características principales.

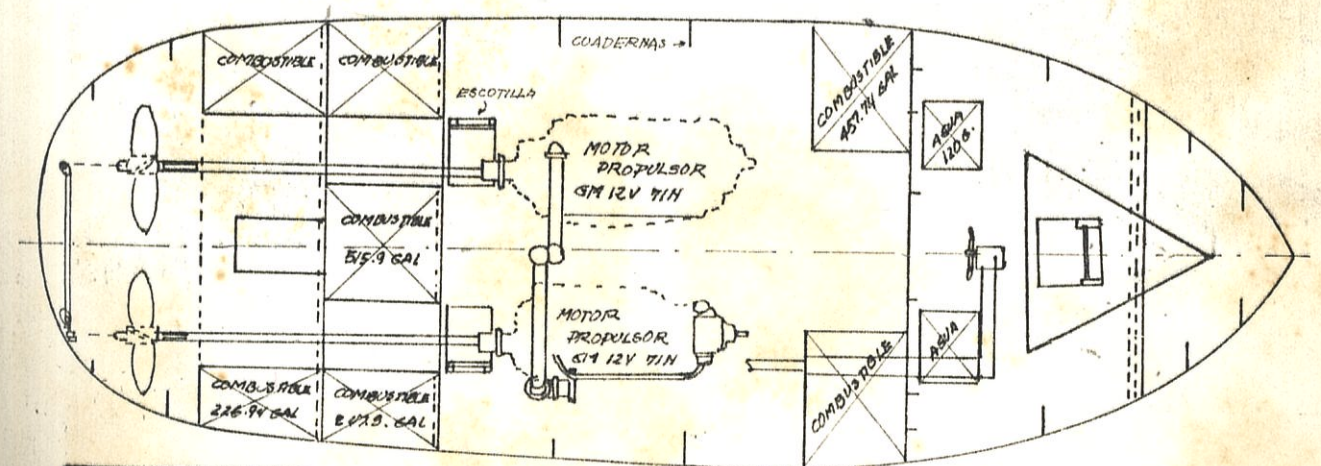
Dimensiones y Características Principales

Estora máxima	40' 0" - 48"
Estora en L. A. D.	37' 0" - 48"
Manga máxima	14' 0" - 35"
Manga en L. A. D.	13' 0" - 37"
Puntal	6' 0" - 8' 0"
Catado en L. A. D.	4' 0" - 1' 0"
Desplazamiento en lastre	16,82 Ton.
Desplazamiento útil	10,00 Ton.
Volumen del casco	2,132,90 pie
Capacidad de superestructura	613,00 pie
Tonelaje de Reg. Bruto	26,14
Háquinas Principales	(2) B.M. 120-71
Capacidad de combustible	7,14 Ton.
Capacidad de Agua	0,89 Ton.
Material del Casco y Superestructura	40000

Tabla 3



LINEA BASE

**CARACTERISTICAS**

ESLORA MAX.	40'-4"
ESLORA LAD.	37'-6"
MANGA MAX.	14'-5"
PUNTAL	6'-8"
CALADO LAD	4'-1"

Disposición general

Figura 1.1

Journal of Clinical Endocrinology, Volume 144, Number 10, October 2002, pp 2009-2016

Ellos se incluyeron participando de las reuniones de los consejos de padres y de los padres de los demás niños que asistían a la escuela. Los padres se sentían más seguros y más satisfechos de su hijo si estaban presentes en las reuniones. Los padres se sentían más seguros y más satisfechos de su hijo si estaban presentes en las reuniones.

Q32. Legendre polynomials are orthonormal over the interval [-1, 1].

On functions of \mathcal{A}

¹⁰ According to one recent study, managers' behavior in the U.S. is shifting.

⁵ Ein weiterer Vorschlag, die Einführung der Befreiung von Schülern aus dem Pflichtschul- und Berufsschulwesen zu verzögern, wurde ebenfalls abgelehnt.

Figure 10: The effect of the number of parallel processes on the performance.

Dr. Jürgen Pohl (ca. 1970) schreibt

Figure 6.30: The proposed model.

Table 1: The basic variables

MEET THE TEAM: BIBI CONFERENCES GROUP, INC.

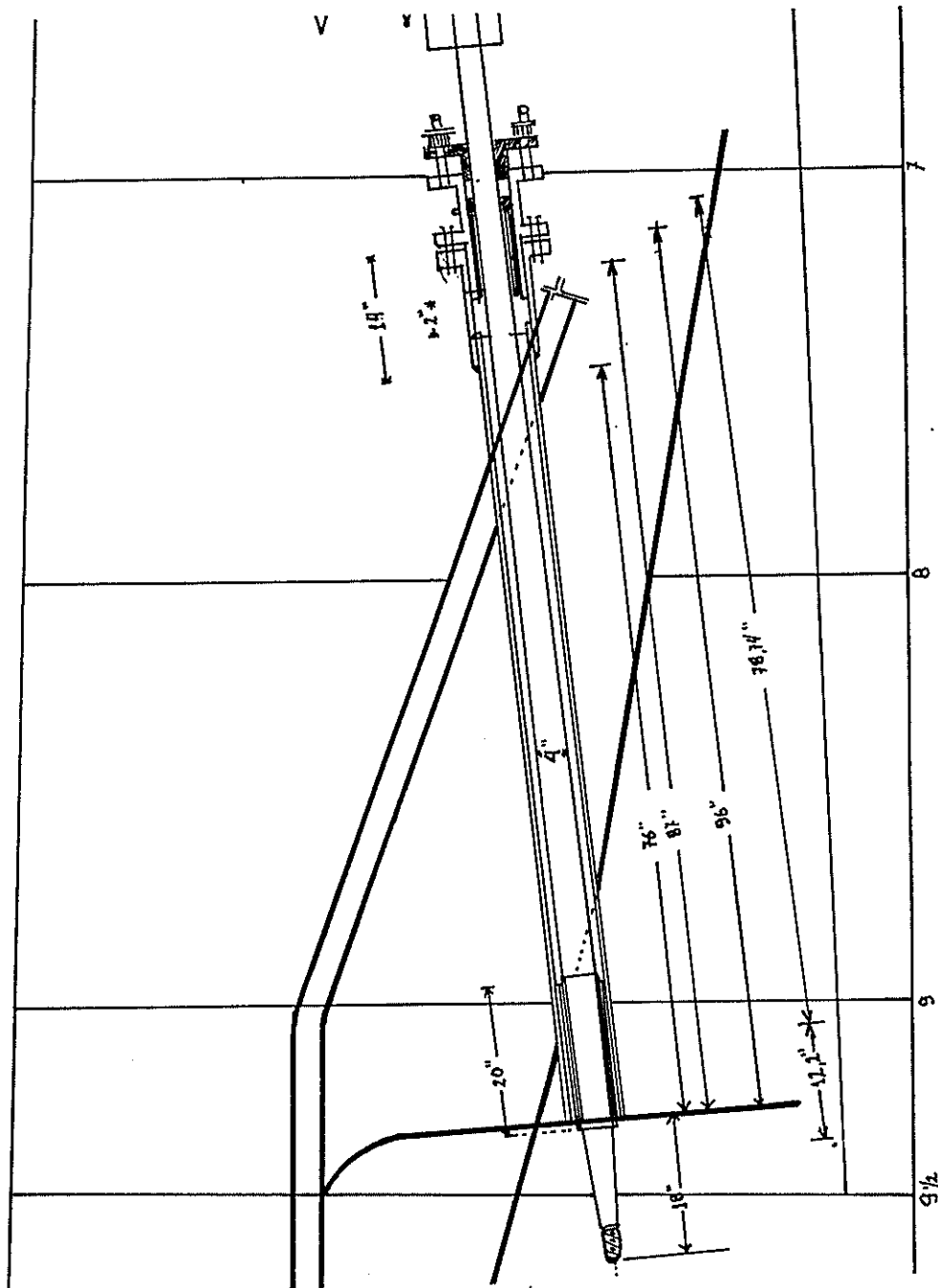
ANSWER: The following table summarizes the results of the simulation:

CHF - 高血压 - 心律失常 - 肺水肿

ANSWER: **ANSWER: **ANSWER: **ANSWER: **ANSWER:********

卷之三十一

卷之三



Sistema proporcional

Ejemplo 1.2

1.3.- DESCRIPCION DE LAS ROTURAS DEL EJE.-

Cabe indicar que desde la fecha de construcción de los remolcadores hasta la presente, se han roto alrededor de seis (6) ejes en intervalos de tiempo promedio de tres (3) años, según informaciones proporcionadas por el personal encargado del mantenimiento de dichas embarcaciones.

Las roturas se han presentado en dos sitios caracteristicos: justo en los extremos de la camisa de popa del eje es decir, en las discontinuidades de la sección tanto a proa como a popa de la camisa. Las figuras 1.3 y 1.4 muestran tramos de ejes malogrados de los remolcadores en los dos sitios descritos anteriormente.



Falla localizada en el extremo de popa de la camisa

Figura 1.3



Falla localizada en el extremo de proa de la camisa

Figura 1.4 (continuación)

Ahora observando la figura 1.5 nos daremos cuenta que el plano de corte forma aproximadamente con la linea del eje un ángulo de 90° (el corte es perpendicular al eje).



Figura 1.5. Plano de corte a 90° de la linea del eje.

Plano de corte a 90° de la linea del eje

Figura 1.5

En la sección donde ocurre la destrucción se pueden observar claramente dos zonas: una superficie lisa, esmerilada (zona de desarrollo paulatino de la grieta) donde aparecen las marcas de playa, y otra de

superficie rugosa (zona de destrucción definitiva, debido al debilitamiento de la sección). Esto podemos verlo muy claramente en la figura 1.6.



Detalle de la Sección Fracturada

Figura 1.6

1.4.- PROPIEDADES MECANICAS DEL MATERIAL DEL EJE.-

El material es acero, según American Bureau of Shipping deberia tener la siguiente especificacion: ABS grado

de los ópticos mediante el efecto de la viscosidad del fluido y por el efecto adhesivo de las paredes. Los propiedades de los materiales son las siguientes: compresión, dilatación, resistencia a la tracción, etc.

Resistencia a la tracción y compresión	70000 lb/pulg ²
Resistencia a la tracción y compresión	100000 lb/pulg ²
Resistencia a la tracción y compresión	500000 lb/pulg ²
Punto de fusión	50000 lb/pulg ²
Límite de proporcionalidad de tracción	34000 lb/pulg ²
Límite de proporcionalidad compresión	34000 lb/pulg ²
Límite de proporcionalidad compresión	220000 lb/pulg ²
Dilatación térmica, 2 milímetros por metro	22

Composición química del material:

FracCIÓN DE METAL EN LOS ALAMBRES	0,935
FracCIÓN DE METAL EN LOS ALAMBRES	0,940
FracCIÓN DE METAL EN LOS ALAMBRES	0,940
FracCIÓN DE METAL EN LOS ALAMBRES	0,940
FracCIÓN DE METAL EN LOS ALAMBRES	0,940

En conclusión, se presentan los resultados de los ensayos de los principales tipos de alambres.

regulaciones de ABS para buques de acero de eslora inferior a 61 metros [1].

$$D = c \sqrt[3]{K \cdot H / R}$$

Donde: D = ESFUEROS ESTÁTICOS QUE ACTUAN

H = Potencia al freno ~~a la~~ velocidad de régimen

R = RPM en el eje

K = Factor de servicio, para buques de servicio oceánicos hasta 20 metros de eslora

Acero al carbono (no protegido), $K = 61$

c = depende del tipo de eje y del valor de K

eje de cola, con $K=84$, $c = 25,4$

Luego: en un estudio para determinar las causas por las cuales ocurren estos elementos debemos considerar en primer $D_1 = 3.8$ pulg esfuerzos estáticos que actúan sobre dicho elemento y establecer en estos como podemos observar, el diámetro del eje cumple con las reglas del ABS, sin embargo los ejes han estado sufriendo las roturas descritas anteriormente, da con el caso, Para el eje se toman en cuenta los refuerzos debidos a flexión, compresión y torsión.

CAPITULO 2

ESFUERZOS ESTATICOS QUE ACTUAN SOBRE EL EJE

Al hacer un estudio para determinar las causas por las cuales falla cierto elemento mecánico, debemos considerar en primer lugar los esfuerzos estáticos que experimenta dicho elemento y establecer si estos no sobrepasan los límites permisibles. Si no sucede lo anteriormente citado, se tomará en cuenta que el factor de Seguridad tenga un valor aceptable de acuerdo con el caso. Para el efecto se tomarán en cuenta los esfuerzos debidos a flexión, compresión y torsión.

2.1.- ESFUERZO DEBIDO A FLEXION

Para el efecto, se va a determinar el esfuerzo que soporta el eje debido al peso de la hélice, así como tambien el debido a su propio peso. El tramo ubicado entre el prensa-estopa y la brida del reductor no se tomará en cuenta por el hecho que su peso repartido en una longitud de tan solo 34 pulgadas, no justifica incluirlo en el cálculo.

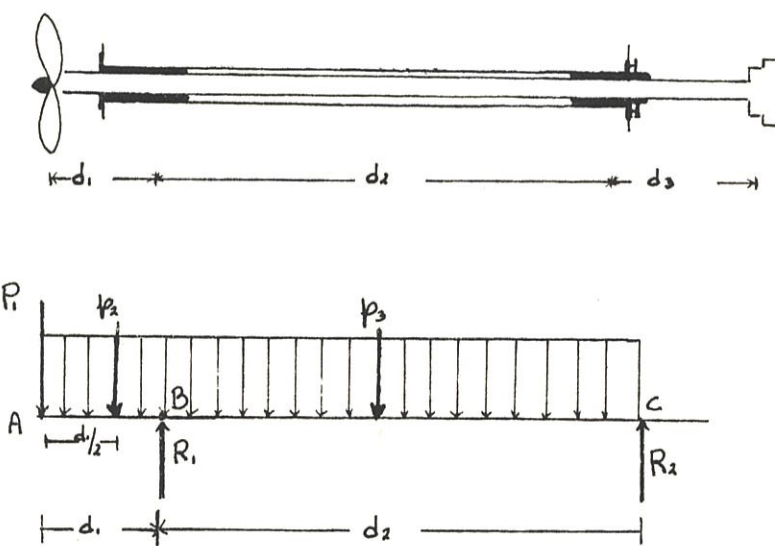


Diagrama de Cuerpo Libre del Sistema Propulsor

Figura 2.1

$$P_1 = \text{Peso de la hélice} = 400 \text{ lbs (1)}$$

$$P_2 = \text{Peso del tramo de eje entre A y B}$$

p_3 = Peso del tramo de eje entre B y C

R_1 = Reacción en el cojinete de popa del túnel

R_2 = Reacción en el cojinete de proa del túnel

Cálculo del peso de los tramos de eje.

En primer lugar el peso específico del material es:

$$= 0,28 \text{ lb/pulg}^3$$

Considerando las siguientes dimensiones:

$$d_1 = 12,20 \text{ pulgadas}$$

$$d_2 = 78,74 \text{ pulgadas}$$

$$D = \text{diámetro del eje} = 4 \text{ pulgadas}$$

El área de la sección del eje será:

$$A = 3,1416 (D)^2 / 4$$

$$A = 3,1416 (4)^2 / 4 = 12,57 \text{ pulg}^2$$

Entonces:

$$p_2 = 0,28 * 12,20 * 12,57 = 42,94 \text{ lb}$$

$$p_3 = 0,28 * 78,74 * 12,57 = 277,13 \text{ lb}$$

Cálculo de las reacciones en los cojinetes del túnel:

A partir de la figura 2.1b y haciendo una sumatoria de fuerzas en dirección vertical:

$$400 + 42,94 + 277,13 - R_1 - R_2 = 0$$

Además, haciendo sumatorias de momentos con respecto al

cojinete de popa este igualmente en el punto de cojinete

de que es igual a 400 lb. con una fuerza de 327,94 lb-pulg.

$$400(12,2) + 42,94(6,1) - 277,13(39,4) + R2(78,74) = 0$$

de donde: $R2 = 73,28 \text{ lb}$

Por tanto, que el valor de $R1 = 646,80 \text{ lb}$ en el punto de

popa, que es igual a $R2 = 73,28 \text{ lb}$ en el extremo

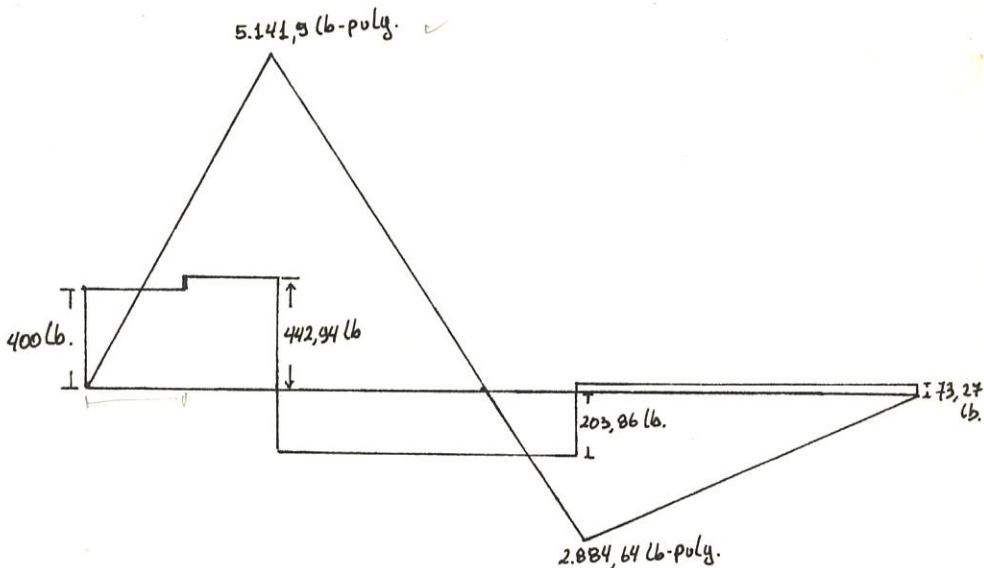


Diagrama de fuerza cortante y momento flector

Figura 2.2

descomponiendo la fuerza en la dirección estricta y compresión

Como podemos observar en la figura superior, el máximo

momento flector está localizado en el punto B (cojinete de popa del túnel), con un valor de 5.141,91 b-pulg.

¿Cuál es el esfuerzo debido a flexión en la fibra más alejada? Realizar el cálculo y explicar el resultado que obtengas.

Cálculo del esfuerzo máximo debido a flexión (σ_f)

Puesto que el máximo momento flector se encuentra en el punto B, el esfuerzo debido a flexión en el mismo será:

$$\text{esfuerzo } \sigma_f = M * c / I = 4 (M) / \pi (r)^{**3} \text{ lb/in}^2 \text{ (1)}$$

donde: c = distancia del eje neutro a la fibra más alejada en la sección del eje.

Unidad de medida: lb-pulgadas-Cuadrado

$$r = \text{radio del eje} = 2 \text{ pulg.}$$

$c = \text{distancia del eje neutro a la fibra más alejada en la sección del eje.}$

$I = \text{momento de inercia de la sección del eje.}$

$M = \text{momento flector} = 5.141,90 \text{ lb - pulg.}$

$c = 1,5 \text{ pulgadas} \quad I = 2003 \text{ in}^4$

$$\sigma_f = 4 (5.141,90) / \pi * 2003 = 818,36 \text{ lb/pulg}^2$$

$$T = 700,15 \text{ lb}$$

$$\sigma_f = 818,36 \text{ lb/pulg}^2$$

El esfuerzo debido a compresión es menor que sobre

Ocasionando tensión en la fibra superior y compresión en la inferior del eje.

Comparando el valor de σ_f con el límite de proporcionalidad del material ($\sigma_s = 34,760 \text{ lb/pulg}^2$), estamos muy por debajo de este valor y sin peligro que el eje falle por flexión pura.

2.2. - EFUERZO DEBIDO A COMPRESSION. -

Ahora se obtendrá el valor del esfuerzo en el eje debido al empuje de la hélice. En primer lugar calcularemos el valor de dicho empuje en cada eje (T)

De la definición de Potencia Efectiva (3)

$$\text{EHP} = \text{R} \times V = T (1-t) \times V; \quad (2)$$

$$T = \frac{33,000 \text{ (EHP)}}{16,060 (\text{V}/60)} \times \frac{1}{1-t} \text{ Ibs.} \quad (3)$$

$$\text{EHP} = \text{SHP} * \text{Cp}$$

$$\text{Cp} = \text{Coeficiente Propulsivo} = 0,5 \quad (1)$$

$$\text{EHP} = 340 * 0,5 = 170$$

$$V = \text{Velocidad del remolcador} = 10 \text{ Nudos}$$

$$t = \text{Coeficiente de deducción de empuje (2)} = 0,24$$

$$T = 7,294,45 \text{ lb}$$

El esfuerzo debido a compresión en cada eje será:

$$\sigma_c(x) = -\frac{T}{A} \quad (4)$$

$$A = \text{Área de la sección del eje} = 12,57 \text{ pulg}^2$$

entonces:

$$\sigma_C = \frac{\tau \cdot 2B4,45}{12,57} = 579,51 \text{ lb/pulg}^2$$

A igual que en el esfuerzo anterior debido a flexión, el valor de 579,51 lb/pulg² está muy por debajo del límite de proporcionalidad del material el cual es 34,760 lb/pulg² (generalmente se toma el mismo valor del límite de proporcionalidad en flexión).

2.3. - EFUERZO DERIDO A TORSIÓN.

Para calcular este esfuerzo tenemos que determinar previamente el Torque actuante sobre el eje, el cual es producido por el motor principal. [10]

$$Q = \frac{33,000 * \text{SHF} * 12}{2 * \pi * N} \quad , 55$$

donde:

$$\text{SHF} = \text{BHF} * 0,947 = 340 \quad [4]$$

$$N = \text{Velocidad de rotación del eje} = 400 \text{ RPM}$$

entonces:

$$\frac{53,000 * 340 * 12}{\pi * 4 * 400} = 53,571,60 \text{ lb/in pulg}$$

Calculamos el esfuerzo de Torsión (T) :

$$T = \frac{\Theta * D}{2 * J} \quad (6)$$

donde:

Θ = Momento polar de Inercia de la sección del eje

$$\Theta = \frac{\pi * (D)^3 * 32}{32} \quad (7)$$

D = Diámetro del eje = 4 pulg

O sea:

$$T = \frac{16 * \Theta}{\pi * (D)^3} \text{ lb/pulg}^2$$

$$T = \frac{16 * 53,571,60}{\pi * (4)^3} = 4,203,103 \text{ lb/pulg}^2$$

Como podemos darnos cuenta, este valor es mucho mayor que los dos esfuerzos anteriores; sin embargo, es bajo con respecto al límite de proporcionalidad del material en torsión, cuyo valor es 22,014 lb/pulg²

3.4. - ESFUERZO ESTÁTICO RESULTANTE.

En los subcapítulos anteriores se han determinado los tres tipos básicos de esfuerzos estáticos: esfuerzo de

tracción o de compresión, de flexión y de torsión, causados por cargas de la misma naturaleza respectivamente. Puesto que se consideró que dichos esfuerzos actuaban aisladamente sobre el eje, ahora se tratará la situación real, en la que actúan simultáneamente:

Esfuerzos principales, normales y de corte

Son aquellos que para ciertos valores del ángulo θ son máximos o mínimos en σ_x , para un conjunto dado de esfuerzos σ_x , σ_y y τ_{xy} . De acuerdo con Ullis:

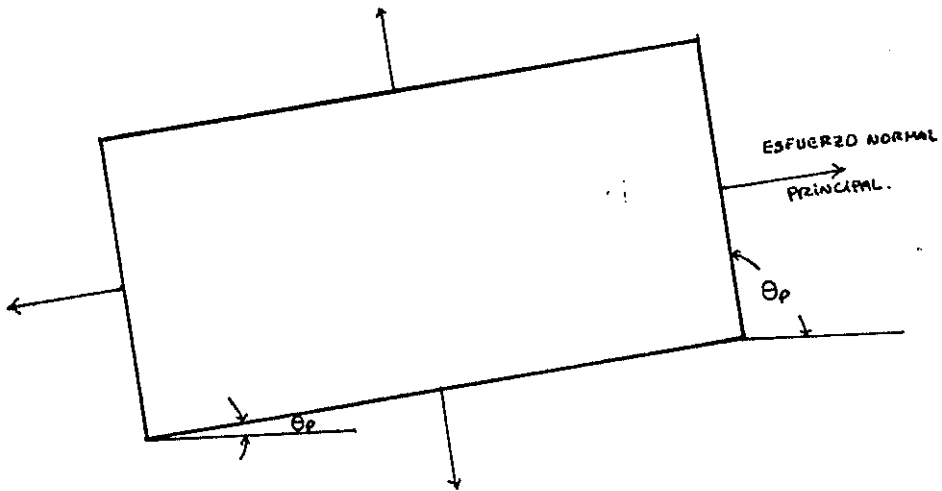
$$\text{esfuerzo mayor} = \frac{\sigma_x + \sigma_y}{2} + \sqrt{\left(\frac{\sigma_x - \sigma_y}{2}\right)^2 + (\tau_{xy})^2} \quad (3)$$

$$\text{esfuerzo menor} = \pm \sqrt{\left(\frac{\sigma_x - \sigma_y}{2}\right)^2 + (\tau_{xy})^2} \quad (4)$$

Los ángulos, designados por θ_p , entre el eje x y los planos en que tienen lugar los esfuerzos normales principales, están dados por la ecuación:

$$\tan \theta_p = \frac{\sigma_y - \sigma_x}{2\tau_{xy}} \quad (10)$$

Tendremos dos valores de θ_p que satisfacen esta ecuación. La tensión σ_{max} tiene lugar en uno de esos planos, y la otra en el otro. Los planos principales definidos por los ángulos θ_p se llaman Planos Principales Normales. Para cualquier valor de α_x , α_y y τ_{xy} , los valores de las tensiones cortantes que actúan en estos planos son siempre nulas. Así pues, un elemento orientado según los planos principales normales y sometido a los esfuerzos principales aparecerá como en el gráfico siguiente.



Elemento sometido a esfuerzos principales

Figura 2.3

La dirección del esfuerzo cortante principal, dado por el ángulo θ_c entre el eje x y los planos en los que se producen dichos esfuerzos principales están dados por la siguiente ecuación:

$$\tan 2\theta_c = \frac{\sigma_x - \sigma_y}{2\tau_{xy}}$$

$$\tan 2\theta_c = \frac{\sigma_x - \sigma_y}{2\tau_{xy}} \quad (1)$$

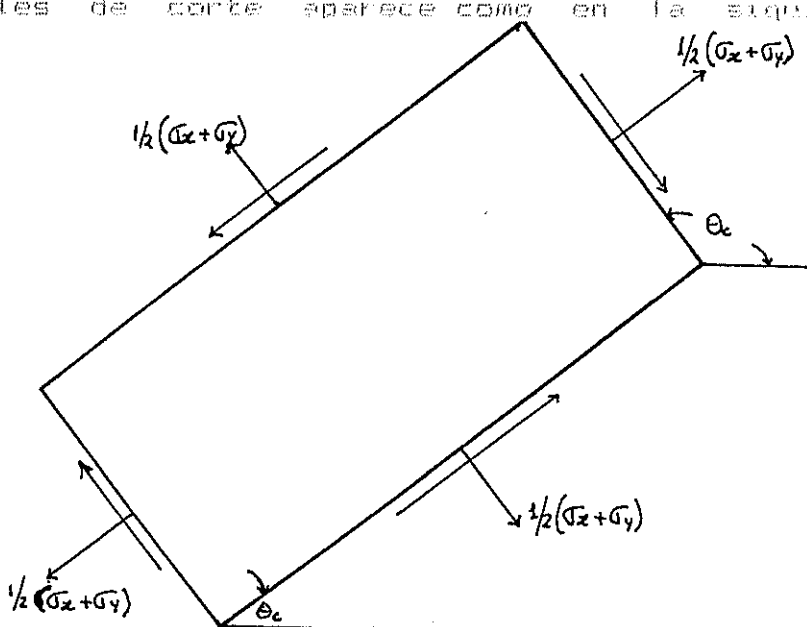
Siempre hay dos valores de θ_c que satisfacen esa ecuación. El esfuerzo cortante correspondiente a la

raíz cuadrada positiva de la fórmula (9) se produce en uno de los planos representados por θ_c , y las que corresponden a la raíz negativa, en el otro.

El esfuerzo normal en cada uno de los planos principales de corte está dado por:

$$\sigma' n = \frac{\sigma_x + \sigma_y}{2} \quad (12)$$

Por lo tanto, un elemento orientado según los planos principales de corte aparece como en la siguiente figura:



Elemento orientado según los planos princ. de corte

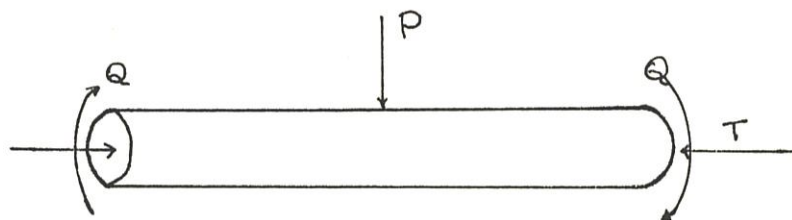
Figura 2.4

Los planos principales normales y de corte están separados por un ángulo de 45° .

COMBINACIÓN DE CARGAS.

Combinación de cargas de Torsión , Flexión y Axial.

En este caso actúan esfuerzos combinados normales y de corte. El esfuerzo normal es el resultado de la superposición de los esfuerzos normales debido a las cargas axiales y de flexión



Cargas axiales y de flexión

Figura 2.5

Las fórmulas que rigen a los esfuerzos actuantes son:

$$\sigma = -\sigma_c \text{ compresión} + \sigma_f \text{ tensión} \quad (13)$$

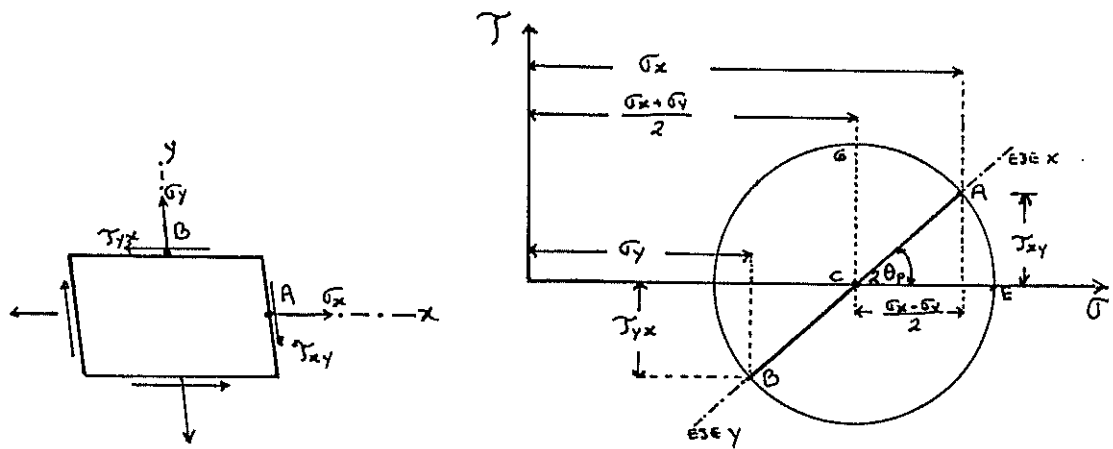
donde el esfuerzo del σ_c es:

$$\sigma_c = \frac{Q * D}{2 * J}$$

Círculo de Mohr.

El círculo de Mohr es una herramienta muy importante para interpretar gráficamente cualquier caso de combinación de esfuerzos bidimensionales.

Sea el siguiente estado plano de esfuerzos y el círculo de Mohr correspondiente.



Estado plano de est. y círculo de Mohr

Figura 3.6

Donde el radio del círculo es:

$$R = \sqrt{\left(\frac{\sigma_X - \sigma_Y}{2}\right)^2 + (\tau_{xy})^2} \quad (14)$$

cuyo centro dista del origen de abcisas

$$C = \frac{\sigma_X + \sigma_Y}{2} \quad (15)$$

Reglas para la aplicación del círculo de Mohr a los esfuerzos combinados, [18].

1.- Sobre un sistema de coordenadas rectangulares de esfuerzos normales y de corte $\sigma = \tau_x$, se sitúan los puntos de coordenadas (σ_x, τ_{xy}) y (σ_y, τ_{yx}) . Estos puntos representan los esfuerzos normales y cortantes que actúan sobre las caras x y y de un elemento. Se considera positiva a la tracción y negativa a la compresión y el esfuerzo cortante es positivo si el momento respecto del centro del elemento es en el sentido de las manecillas del reloj.

2.- Para los diferentes planos que pasen por el punto en estudio, las componentes del esfuerzo normal y cortante, están representados por las coordenadas de un punto que se mueve a lo largo del círculo de Mohr (en su circunferencia). El ángulo entre los radios de dos puntos del círculo de Mohr es el doble del ángulo

entre las normales a los dos planos que representan estos dos puntos. El sentido de rotación del ángulo es el mismo en la circunferencia que en la rectilínea.

Estueros principales sobre la periferia del eje propulsor.

Cabe anotar que para nuestro caso no existen estueros normales en el sentido del eje de los v .

Para lo anterior:

$$\pi v = 0$$

En continuación se presentan los valores de los estueros obtenidos anteriormente.

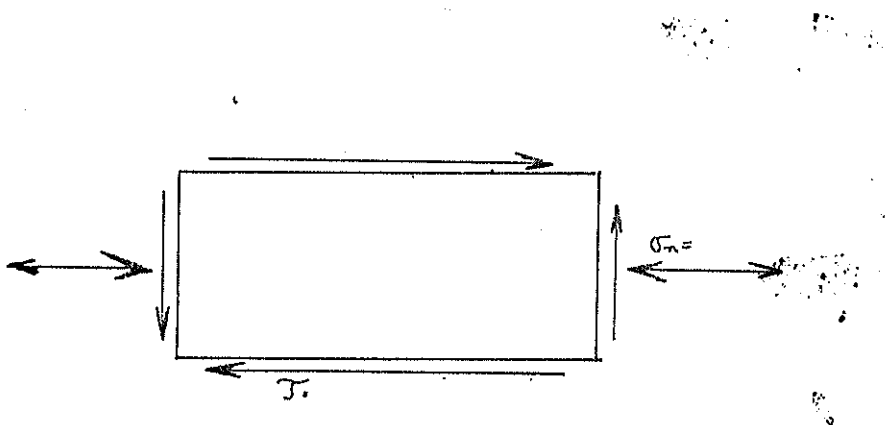
$$\sigma_F = 818,36 \text{ lb/pulg}^2$$

$$\sigma_C = 579,51 \text{ lb/pulg}^2$$

$$\tau_B = 4263,10 \text{ lb/pulg}^2$$

Situándonos en el punto B, donde se produce el mayor esfuerzo debido a flexión. El esfuerzo debido a compresión no varía a lo largo del eje propulsor y el debido a torsión varía radialmente, siendo mayor en la periferia y nulo en el centro. En este punto habrá tracción en las fibras superiores del eje propulsor y compresión en las inferiores.

Supuesto que tenemos una combinación de cargas de torsión, de flexión y axial, el diagrama de estado pleno de un elemento de las fibras superiores en el punto B del eje propulsor es:



Fibra sup. del eje propulsor (punto B)

Figura 2.3

Debido a que el esfuerzo normal axial, es el más pequeño

de la deformación entre el esfuerzo de compresión y el de flexión, siendo ésta la resultante de las tensiones de combinación de esfuerzos estáticos en la fibra inferior del punto B, donde se suman los esfuerzos axiales.

El esfuerzo axial será, según la fórmula (12).

$$\sigma_R = -\sigma_C + \sigma_f$$

$$\sigma_R = -579,51 + 816,36$$

$$\sigma_R = -1397,87 \text{ lb/pulg}^2$$

Aplicando la fórmula (3)

$$\begin{aligned} \text{(C) } \sigma_{\text{max}} &= \frac{-1,397,87 \sqrt{37}}{2} = \frac{\sqrt{(-1,397,87)^2}}{2} = 4,320,01 \\ \text{(C) } \sigma_{\text{min}} &= \frac{1,397,87}{2} = 698,94 \pm 4,320,01 \end{aligned}$$

$$\text{(C) } \sigma_{\text{max}} = 3,621,07 \text{ lb/pulg}^2 \quad (\text{tracción})$$

$$\text{(C) } \sigma_{\text{min}} = -8,018,95 \text{ lb/pulg}^2 \quad (\text{compresión})$$

Según la fórmula (9)

$$\text{(C) } \sigma_{\text{max}} = \frac{1}{2} \sqrt{\left(-1,397,87 \right)^2 + 4 \cdot 1,320,01^2}$$

$$\text{(C) } \sigma_{\text{max}} = 4,320,01 \text{ lb/pulg}^2$$

$$\text{(C) } \sigma_{\text{min}} = -4,320,01 \text{ lb/pulg}^2$$

4.5

Las planos principales normales están definidos por los siguientes ángulos:

$$\tan \alpha_{\text{ep}} = \frac{\sin \theta}{\cos \theta}$$

$$\Rightarrow \tan \alpha_{\text{ep}} = \frac{\sin \theta}{\sqrt{1 - \sin^2 \theta}}$$

$$= \frac{-4 + 263 + 1}{-1 + 397 + 37}$$

$$= \frac{260}{437}$$

$$\tan \alpha_{\text{ep}} = 0,1$$

$$\alpha_{\text{ep}} = \tan^{-1}(\tan \alpha_{\text{ep}})$$

$$\alpha_{\text{ep}} = 80,7^\circ \quad (\text{primer cuadrante})$$

$$\alpha_{\text{ep}'} = 260,7^\circ \quad (\text{tercer cuadrante})$$

Luego:

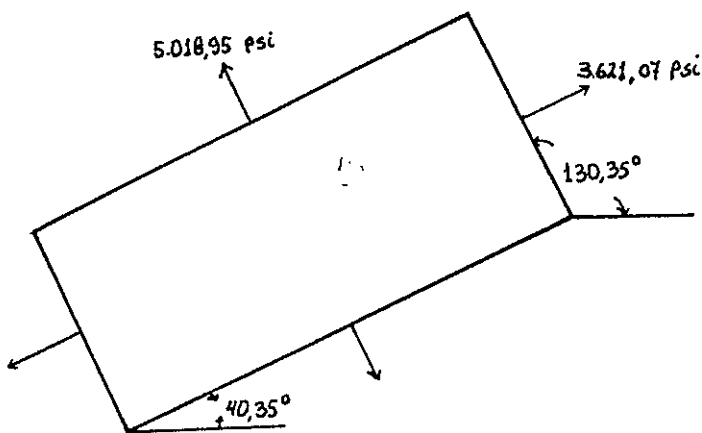
$$\alpha_{\text{ep}} = 80,7^\circ$$

$$\alpha_{\text{ep}'} = 130,35^\circ$$

El esfuerzo principal de compresión es $-7,618,95$ lb/pulg 2 actúa en el plano cuya normal está a $130,35^\circ$

del eje de las x_1 , mientras que el esfuerzo principal de tracción $\sigma_{xx} = 3.621,07 \text{ lb/pulg}^2$ actúa en el plano cuya normal se encuentra a $40,35^\circ$ del eje de las x_1 .

Un elemento orientado según los planos principales normales anteriores aparece como en el gráfico siguiente:



Elemento resultante

Figura 2.8

Los planos principales de corte están definidos por los ángulos siguientes:

$$\approx 1.397,87$$

2

$$\tan 260^\circ = \frac{2}{4,263,10}$$

$$\theta_{C2} = 9,31^\circ \quad (\text{segundo cuadrante})$$

$$\theta_{C3} = 189,31^\circ \quad (\text{tercer cuadrante})$$

Luego:

$$\theta_C = 4,65^\circ$$

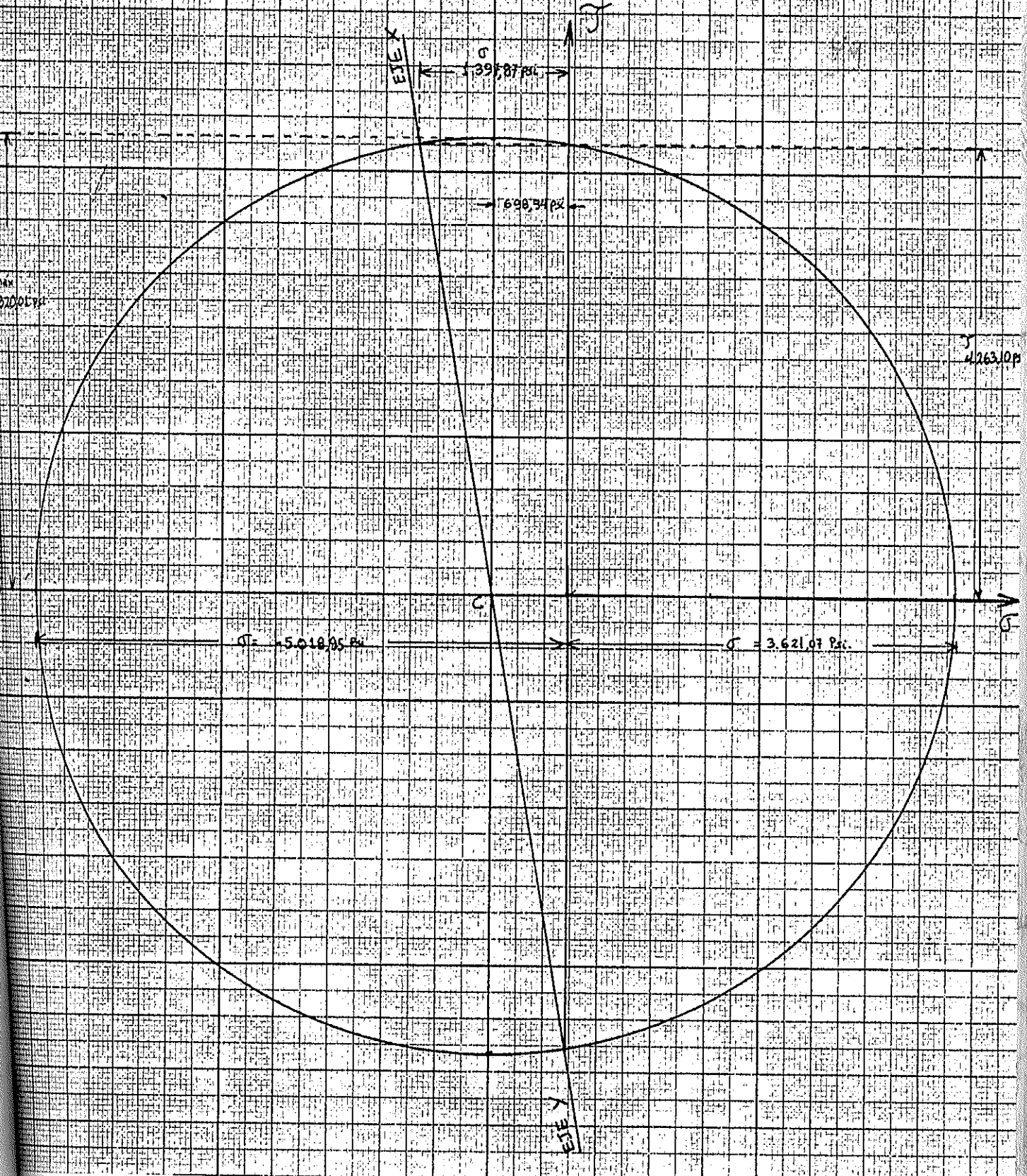
$$\theta_C' = 94,65^\circ$$

El esfuerzo principal de corte $\tau = 4,320,04 \text{ lb/pulg}^2$, dirigido en el sentido de las manecillas del reloj, situado en el plano ubicado a $4,65^\circ$ del eje de las X. Mientras que el esfuerzo $\tau = 4,320,04 \text{ lb/pulg}^2$, dirigido en el sentido contrario al de las manecillas del reloj, lo hace en el plano ubicado a $94,65^\circ$ del eje de las X.

El esfuerzo normal será:

$$\sigma_{Pr} = \frac{\sigma_N}{2}$$

$$\sigma_{Pr} = 698,94 \text{ lb/pulg}^2$$



Círculo de influencia resultante

tipo del motor usado. **CAPITULO 3** analizaremos. Esta fórmula fue determinada por el autor de este trabajo y es:

ANALISIS VIBRATORIO DEL SISTEMA PROPULSOR

Datos:

3.1.- ANALISIS DE VIBRACION TORSIONAL.-

En este subcapítulo calcularemos las frecuencias naturales del sistema y los correspondientes modos de vibración; posteriormente, los esfuerzos en vibración torsional resonante. Previamente debemos determinar un sistema equivalente al sistema propulsor de los remolcadores, calculando la Inercia, Rigidez torsional y Coeficientes de amortiguamiento en cada estación del motor, las inercias del volante, del reductor y de la hélice, corregida por la inercia añadida del agua.

Sistema equivalente del motor.

Tarea:
Cálculo del Momento de Inercia (J) en cada estación.

Existen varias fórmulas empíricas, que varían de acuerdo al tipo de motor y a la marca; por lo que se calcula de la siguiente forma: si el motor ha sido estimado conveniente usar aquella que se adapte al

tipo de motor usado en los remolcadores. Esta fórmula fue determinada por el autor de este trabajo y es:

$$\delta = \frac{C(V + P) + \mu * T}{32,42} \quad (\text{lb-pie-sq}^2 - \text{lb})$$

Donde:

$$V = V_0$$

$$P = 0,5 * V_0$$

$$V_0 = SF * D^2$$

$$SF = \text{Carrera del embolo (piston)}$$

$$D = \text{Diámetro del cilindro } 0,354 \text{ pies (4,25 pulg.)}$$

$$\mu = \text{Peso específico medio entre el material del embolo, bielle y ciqueñel}$$

$$= 470 \text{ lb/pie}^2 (0,272 \text{ lb/pulg}^2) \text{ fundicion gris}$$

$$T = SF/0,05, \text{ para motores en linea con cruceta, patin y corredere}$$

$$= SF/3,21, \text{ para motores en linea sin cruceta, patin ni corredere}$$

$$= SF/2,5 \text{ Motores en "V"}$$

Con los siguientes datos:

$$SF = 0,417 \text{ pies (5")}$$

$$Dia = 0,354 \text{ pies (4,25")}$$

$$\mu = 470 \text{ lb/pie}^2 (0,272 \text{ lb/pulg}^2)$$

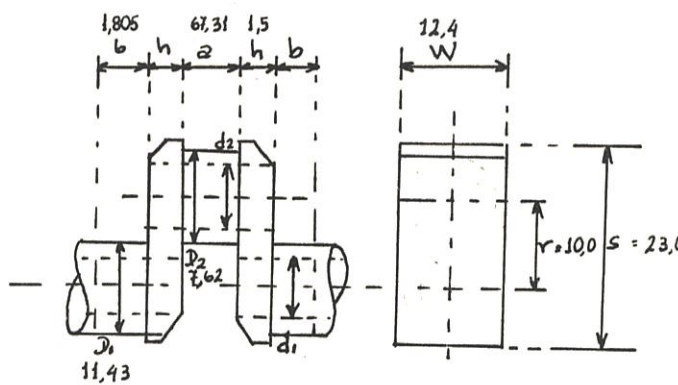
Tenemos:

$$\delta = 0,183 \text{ lb-pie-sq}^2 (2,29 \text{ lb-pulg-sq}^2)$$

Cálculo de la rigidez torsional del ciqueñel (K)

Se ha considerado como más apropiada para el cálculo de la rigidez torsional del cigüeñal la fórmula número 3 (5), enunciada posteriormente, donde intervienen el módulo elástico angular del material, el diámetro del cigüeñal y la longitud de una estación del cigüeñal.

Para el efecto calcularemos, en primer lugar, la longitud efectiva de cada estación del cigüeñal; para luego en base a esta, calcular la rigidez torsional.



Estación del cigüeñal, dimensiones principales

Se observa que Figura 3.1 muestra una estación del cigüeñal. La
de = diámetro del cigüeñal = 230 mm (9.05")

$$le = (de) * 4 \left[\frac{2b + 0,8h}{(D1)^4 - (d1)^4} + \frac{0,75a}{(D2)^4 - (d2)^4} + \frac{1,5r}{h * (W)^3} \right] \quad (2)$$

53

$$L_{\text{ext}} = \frac{V_{\text{ext}}}{E} = \frac{\pi r^2 h}{E} = \frac{\pi r^2 h}{G + \eta}$$

Luego:

$$\frac{L_{\text{ext}}}{L} = \frac{\frac{V_{\text{ext}}}{E}}{\frac{V}{E}} = \frac{\pi r^2 h}{\pi R^2 h} = \frac{r^2}{R^2} \quad (5)$$

Donde:

G = Modulo elastico proporcional al material.

$$\approx 0,845 \cdot 10^6 \text{ N/cm}^2$$

Entonces:

$$\frac{L_{\text{ext}}}{L} = \frac{r^2}{R^2} = \frac{r^2}{(2r)^2} = \frac{r^2}{4r^2} = \frac{1}{4}$$

$$L_{\text{ext}} = \frac{1}{4} L \cdot 22 \cdot 10^6 \text{ N/mm}^2 = 0,06 \cdot 10^7 \text{ N-mm}^2$$

Calculo del coeficiente de amortiguamiento del embolo.

Se debe el rozamiento que existe entre el embolo y la carcasa del cilindro. Es:

$$C_1 = \frac{\mu \cdot F_p \cdot r^2}{200} = \frac{0,05 \cdot 10^6 \cdot 0,06 \cdot 10^7}{200} = 150 \text{ N-mm}^2 \quad (6)$$

Donde:

r^* = radio de manivela del embolo (cm)

SE

= constante que toma los siguientes valores para

$\frac{D_p}{d}$

A_p = área del embolo = $\pi * D_p^2 / 4$ (cm²)

D_p = Diámetro del embolo (cm)

c = Constante que toma los siguientes valores para motores de velocidad media y lenta

= 0,002 - 0,005

Por la tanque

$C_t = 0,13 \text{ Kg-mmsq/rad} \quad (11,26 \text{ lb-pulg-sq/inch})$

Momento de fuerza del volante.

El volante del motor Detroit Diesel 12V 71 es de hierro fundido de 55cm de diámetro. El papel del volante es absorber una cierta cantidad de energía durante el periodo en que el par motor es mayor que el par resistente y ceder la misma cantidad en aquellos momentos que el par resistente predomina sobre el par motor.

La causa de las intermitencias de los impulsos realizados en los cilindros, la velocidad de un punto determinado en el volante no es constante; durante una revolución,

la marcha se acelera y retarda diferentes veces según el número de cilindros, ciclo de trabajo, naturaleza de servicio, etc. y si medimos la velocidad con que el eje pasa por cada posición encontraremos un valor máximo V_{\max} y un valor mínimo V_{\min} . El grado de regularidad δ es la relación entre la diferencia de estas velocidades y la velocidad promedio V_m de una vuelta. Siendo $\delta = \frac{V_{\max} - V_{\min}}{V_m}$ la fórmula de cálculo de δ es:

Para una máquina propulsora de buques el valor empleado para el factor de regularidad es de 1:30. La velocidad media de marcha hacia adelante, para dar marcha atrás, se obtiene multiplicando el factor de regularidad con éxito para δ es 1:30 [13].
Para que de marcha hacia adelante, para dar marcha atrás, se obtenga el mismo resultado se aplica la fórmula que aplicaremos para calcular el momento de inercia del volante es la siguiente [13]:

$$I_v = \frac{1,03 * P * Dv^2}{4 * g} \quad (\text{Kg-m-sg}^2) \quad (5)$$

Donde:

P = Peso del volante = 27 Kg

Dv = Diámetro del volante = 0,55 m

g = Aceleración de la gravedad = 9,81 m/s 2

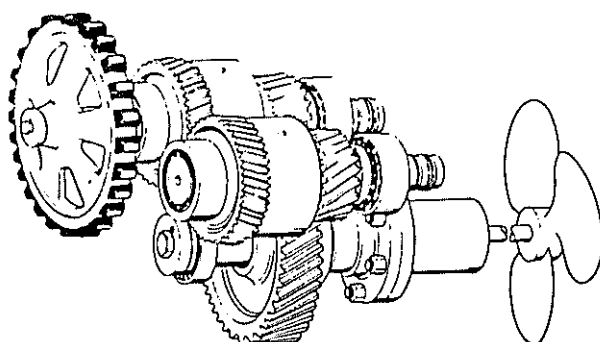
Al sustituir los valores en la ecuación (5)

$$I_v = 0,21 \text{ Kg-m-sg}^2 \text{ (o } 0,21 \text{ lb-pulg-sg}^2\text{)}$$

Cálculo de la Inercia de los engranajes del reduedor.

El reduedor en los remolcadores es un TWIN DISK 514 hidráulico, con una relación de reducción de 4,5 : 1. Podemos también decir que este reduedor permite hacer girar la hélice en cualquiera de los dos sentidos, permitiendo desplazar al remolcador hacia atrás y hacia adelante con la misma relación de reducción.

El sistema de transmisión está compuesto por un solo paso que da marcha hacia adelante; para dar marcha atrás, se acciona otro piñón idéntico al anterior y este excita a la misma rueda en el otro sentido.



Sistema de transmisión

Figure 3.2

Para calcular la diferencia del emisorante nos basamos en la referencia EJ11. Hacemos uso de los siguientes datos:

$$n = \text{relación de reducción} = 4,5$$

$$D_1 = P_1 * D_0$$

Dónde:

$$D_0 = \text{Diámetro del eje que conecta el volante} = 100 \text{ cm}$$

$$P_1 = 1,15$$

$$D_1 = \text{Diámetro del piñón}$$

Entonces:

$$D_1 = 11,5 \text{ cm}$$

Además:

$$D_2 = n * D_1$$

Dónde:

$$D_2 = \text{Diámetro de las ruedas} = 52,2 \text{ cm.}$$

La fórmula usada para calcular el momento polar de inercia del pinón es la siguiente (11.1):

$$J_p = \frac{\pi * (D_1)^{**4} * l * \rho}{32} \quad (11.1)$$

Donde:

l = Longitud axial de los dientes, usamos una reducción muy aceptable.

$$= 0,45 * D_1 = 5,2 \text{ cm.}$$

ρ = Peso específico del material = 8,020 Kg / m³

Por lo tanto:

$$J_p = 7,56 \cdot 10^{-4} \text{ Kg-m-seg}^2 = 16,55 \cdot 10^{-4} \text{ lb-pulg-seg}^2$$

Para calcular el momento polar de inercia de la rueda aplicamos la siguiente fórmula (11.1):

$$J_r = \frac{\pi * (D_2)^{**4} \left[0,6410 + 0,005(D_2) \right] \rho}{32 * 0,81} \text{ Kg-m-seg}^2 \quad (11.1)$$

$$J_r = 0,2 \text{ Kg-m-seg}^2 = 17,32 \text{ lb-pulg-seg}^2$$

Tomando en cuenta el valor de la reducción:

$$J = J_p + \frac{J_r}{r^2}$$

La inercia de la reducción es:

$$J = 0,01 \text{ Kg-mm-sq}^2 \quad (0,07 \text{ lb-pulg-sq}^2)$$

Rigidez torsional del eje entre el volante y la reducción.

Para el efecto utilizamos la siguiente fórmula:

$$K_{\theta}'' = \frac{G * J}{l * 100} \quad (\text{Kg-mm/rad}) \quad (2)$$

Donde:

G = Módulo de elasticidad angular del material
= 8,45 E05 Kg/cm²

J = Momento polar de inercia del eje, $d = 12 \text{ cm}$

$$J = \frac{\pi * (d)^4}{32}$$

$$J = 2,035,7 \text{ (cm)}^{**4}$$

l = Longitud del eje = 26 cm

Entonces:

$$K_{\theta}'' = 6,1 \text{ E05 Kg-mm/rad} \quad (52,82 \text{ E06 lb-pulg/rad})$$

Rigidez torsional del eje propulsor.

Para el efecto usamos la siguiente fórmula:

$$k_E = \frac{G * J_p}{L * I_{c0}} \quad \text{kg-mm-rad}^{-1}$$

Dondes:

G = Módulo de rigidez transversal para acero A36 grado 2
= $8,24 \times 10^5 \text{ kg/cm}^2$

J_p = Momento polar de inercia de la sección

$$J_p = \frac{\pi * (d)^4}{32} = 1,046,1 \text{ (cm)}^4$$

L = Longitud del eje = 270 cm

Por lo tanto:

$$k_E = 3,2 \times 10^4 \text{ kg-mm-rad}^{-1} (2,77 * 10^2 \text{ lb-pulg/rad})$$

Ahora tomando en cuenta la relación de reducción tendremos:

$$k_E = \frac{k_E l}{n^2}$$

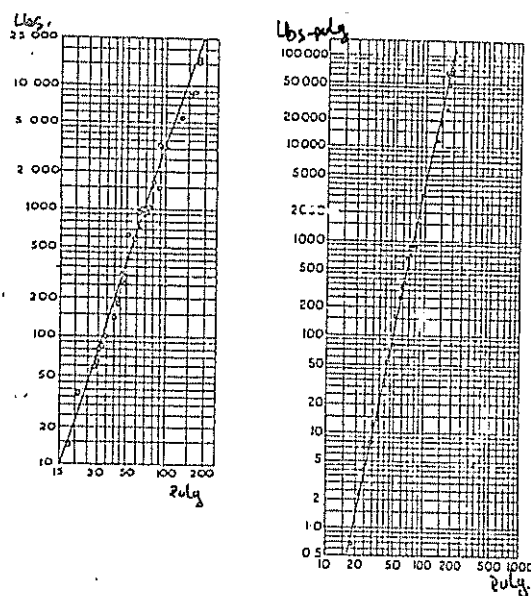
$$k_E = 1,6 \times 10^3 \text{ kg-mm-rad}^{-1} (1,139 \times 10^2 \text{ lb-pulg/rad})$$

Momento polar de inercia de la hélice.

La inercia de la hélice la obtenemos a partir de la

siguiente gráfico, el cual es una herramienta importante cuando nos hacen falta los datos necesarios. [16].

Resumimos que la curva de inercias en función del diámetro es buena para las helices en nuestro medio.



Inercia v peso de la helice en función del diámetro

Figura 3.3

Entramos a la figura con el valor del diámetro de la helices:

$$D = 1,372 \text{ m} \quad (54 \text{ in})$$

Obteniendo un momento de inercia igual a:

$$J_h = \frac{1}{2} \rho D^2 h \mu L g^2$$

A este valor de la inercia obtenido se le adiciona la inercia añadida, la cual se calcula usando la linea de sustentación, donde está involucrada la masa añadida y el factor de corrección debido a la razón de aspecto finito que poseen las palas de la helice.

Para el efecto debemos conocer los siguientes datos:

$$P/D = \text{razón paso-diámetro} = 0,776$$

$$A_e/A_0 = \text{razón de área expandida de la helice} = 0,55$$

$$Ra = \text{razón de aspecto de las palas de la helice}$$

$$Z = \text{número de palas} = 4$$

$$Ra = \frac{0,22087 * Z}{A_e/A_0}$$

$$Ra = \frac{0,22087 * 4}{0,55} = 1,606$$

$$M_{AD} = \text{Masa añadida de la helice}$$

$LSC(M44^*)$ = Factor o coeficiente de corrección para la masa añadida.

$$\delta = \text{densidad del agua} = 1.025 \text{ Kg/m}^3$$

J_a = Inercia añadida obtenida a partir de la siguiente fórmula: [10].

$$J_a = \delta * (D)^{**5} * M44^* * LSC(M44^*) \quad (10)$$

Posteriormente

$$\begin{aligned} M44^* &= 0,30315 E-02 - 0,80782 E-02 (A_e/A_o) - \\ &- 0,40731 E-02 (P/D) + 0,34170 E-02 (A_e/A_o)^2 + \\ &+ 0,43437 E-03 (P/D)^2 + 0,99715 E-02 (A_e/A_o)(P/D) \end{aligned}$$

$$M44^* = 9,83 E-04$$

Luego: ~~se obtiene el resultado final con la siguiente fórmula:~~

$$\begin{aligned} LSC(M44^*) &= 0,61046 + 0,34674 (P/D) + 0,60294 (1/Ra) - \\ &- 0,56159 (1/Ra^2) - 0,80696 (P/D)/Ra + 0,45806 (P/D)/Ra^2 \end{aligned}$$

$$LSC(M44^*) = 0,785$$

Por lo tanto:

$$J_a = \delta * (D)^{**5} * (9,83 E-04) (0,785)$$

$$J_a = 1.025 (1,372^{**5}) (9,83 * 10^{-4}) (0,785)$$

$$J_a = 0,392 \text{ Kg-m-sg}^2 \quad (33,94 \text{ lb-pulg-sg}^2)$$

Es la inercia adicional de acuerdo a la fórmula presentada como Entonces, la inercia total de la hélice será::

$$J^* = J + J_a$$

$$J^* = 193,94 \text{ lb-pulg-seg}^2$$

—

Tomando en cuenta la relación de reducción tenemos:

$$J = \frac{J^*}{\eta^2}$$

$$J = 9,52 \text{ lb-pulg-seg}^2$$

Coeficiente de amortiguamiento de la hélice.

Dicho coeficiente viene dado por la siguiente fórmula, CDS:

$$Ch = \phi * N * (D^{*2}) * C44^* * LSC(C44^*) \quad (11)$$

Dondes:

N = Velocidad de rotación de la hélice = 400 RPM (figura 7)

$C44^*$ = Coeficiente de amortiguamiento presentado como ecuaciones de regresión en función de R_e/R_0 y P/D .

$LSC(C44^*)$ = Factor de corrección para considerar efectos tridimensionales en el cálculo de $C44^*$.

Este factor es igual a uno cuando se consideran las dimensiones de la placa, pero se reduce a un valor menor cuando se consideran dimensiones más grandes.

Este factor es igual a uno cuando se consideran dimensiones más grandes.

Posteriormente, se obtuvieron los resultados siguientes:

Algunas de las ecuaciones que se obtuvieron fueron:

$$C44^* = -0,35124 \times 10^{-1} + 0,81977 \times 10^{-1} (\Delta e / \Delta o) + 0,32644 \times 10^{-1} (P/D) - 0,4186 \times 10^{-1} (\Delta e / \Delta o)^2 + 0,60813 \times 10^{-2} (P/D)^2 - 0,3117 \times 10^{-1} (\Delta e / \Delta o) (P/D)$$

$$C44^* = 1,3 \times 10^{-2}$$

Luego:

Se obtiene que cada resultado es multiplicado por el factor:

$$LSC(C44) = 0,82761 - 0,41165 / (Ra)^2 + 1,2196 (P/D) / Ra + 1,399 / (Ra) \times 10^{-3} - 13,803 (P/D) / (Ra) \times 10^{-3} - 6,909 / (Ra) \times 10^{-4} + 0,15,594 (P/D) / (Ra) \times 10^{-4}$$

Algunas de las dimensiones se consideraron como:

Entonces: $LSC(C44) = 0,996$ (aprox.) que nos lleva a:

Entonces:

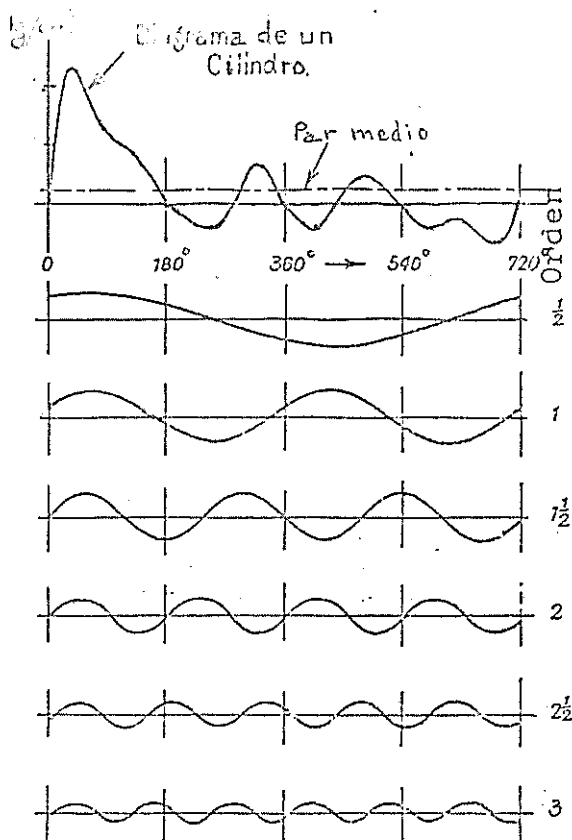
$$Ch = \delta * N * (D)^{**5} * C44^* * LSC(C44)$$

$$Ch = 2,16 \text{ Kg-mm-sg}$$

Análisis de vibración torsional.

En una instalación compuesta por un motor de combustión interna acoplado a cualquier elemento (línea de ejes, generador, etc.) existe un sistema elástico, formado por el cigüeñal, y partes rotativas y alternativas relacionadas con el mismo, así como por los elementos accionados. El hecho de que el torque generado en cada cilindro del motor es variable en el tiempo y periódico, constituye una de las desventajas inherentes de este tipo de máquina comparado con las turbinas donde la curva de torque es aparentemente constante.

Este efecto se da más compuesto en motores de doble cilindro. El torque de cada cilindro está compuesto por la suma de dos componentes: el torque producido por la inercia de sus partes alternativas, más el torque producido por los gases. La curva del torque total, puede descomponerse en armónicos; aunque generalmente los autores descomponen en armónicos el torque producido por los gases (Fig) para luego añadir el producido por la inercia. Los armónicos de la inercia del motor se originan por los ciclos de presión del gas. La figura muestra la forma de la curva de torque de un motor de doble cilindro, dividida en sucesivas ondas. La curva se divide en tres secciones principales: una parte constante en el centro, y dos secciones que oscilan alrededor de esta. La parte constante se llama "torque medio" y las secciones oscilantes se llaman "armónicos".



Armonicos del torque producido por los gases

Figura 3,4

En la figura se ha descompuesto en armonicos (3) la curva de torque producido por los gases para un motor de cuatro (4) tiempos donde n es el numero de orden o numero de armonico.

$n = 1/2$ cuando la presion del gas completa un ciclo en dos revoluciones del cigueñal.

$n = 1$ cuando en dos revoluciones del cigueñal se producen dos ciclos de presión del gas.

Debido a que nuestro motor es de dos tiempos, se tomará

en cuenta solamente una revolución del cigüeñal y por lo tanto, existirán armónicos enteros y no valores medios de la.

2. Sencilla

$$n = 1, 2, 3, 4, \dots \text{ para motores de 2 tiempos}$$

$$n = 1/2, 1, 3/2, 2, \dots \text{ para motores de 4 tiempos}$$

Según Fourier, cada armónico tendrá dos componentes an y bn, los cuales se obtienen dividiendo cada armónico (sus períodos) en 2n partes iguales y levantando ordenadas: A1, A2, A3, ..., ..., A2n

Los valores de los componentes an y bn vienen dados por las siguientes expresiones:

$$an = \frac{1}{\pi} \left[A1 \operatorname{sen}(m) \left(\frac{\pi}{h} - \frac{\pi}{2h} \right) + A2 \operatorname{sen}(m) \left(\frac{2\pi}{h} - \frac{\pi}{2h} \right) + \dots + A2n \operatorname{sen}(m) \left(\frac{2nh}{h} - \frac{\pi}{2h} \right) \right]$$

$$bn = \frac{1}{h} \left[A_1 * \cos(n) \left(\frac{\pi}{h} - \frac{\pi}{2h} \right) + A_2 * \cos(n) \left(\frac{2\pi}{h} - \frac{\pi}{2h} \right) + \dots + A_{2h} * \cos(n) \left(\frac{2h\pi}{h} - \frac{\pi}{2h} \right) \right]$$

Como dijimos anteriormente este análisis es producto de los armónicos de la curva de torque debido a los gases, sin tomar en cuenta los armónicos de la curva de torque producido por la inercia. Para obtener estos últimos no es preciso hacerlo gráficamente, ya que analiticamente produce buenos resultados.

Por lo tanto el momento(torque) del armónico de orden n es:

$$Q_n = \frac{\pi * D^2}{4} \sqrt{(a_n + A_n)^2 + (b_n)^2} \quad (12)$$

donde: a_n = medida por el componente seno del armónico de los gases
 b_n = medida por el componente coseno del armónico de los gases

a_n = componente seno del armónico de los gases (13)

b_n = componente coseno del armónico de los gases

A_{in} = componente del esfuerzo tangencial de inercia, cuyo valor es:

$$A_{in} = \frac{P_c}{g} \sin \theta - \omega^2 r \quad (13)$$

P_c = peso de las partes de movimiento alternativo de cada cilindro en Kg/cm^2 de área de embolo.

g = aceleración de la gravedad (cm/sg^2)

r = radio de la manivela del cigüeñal ($SP/2$) (cm)

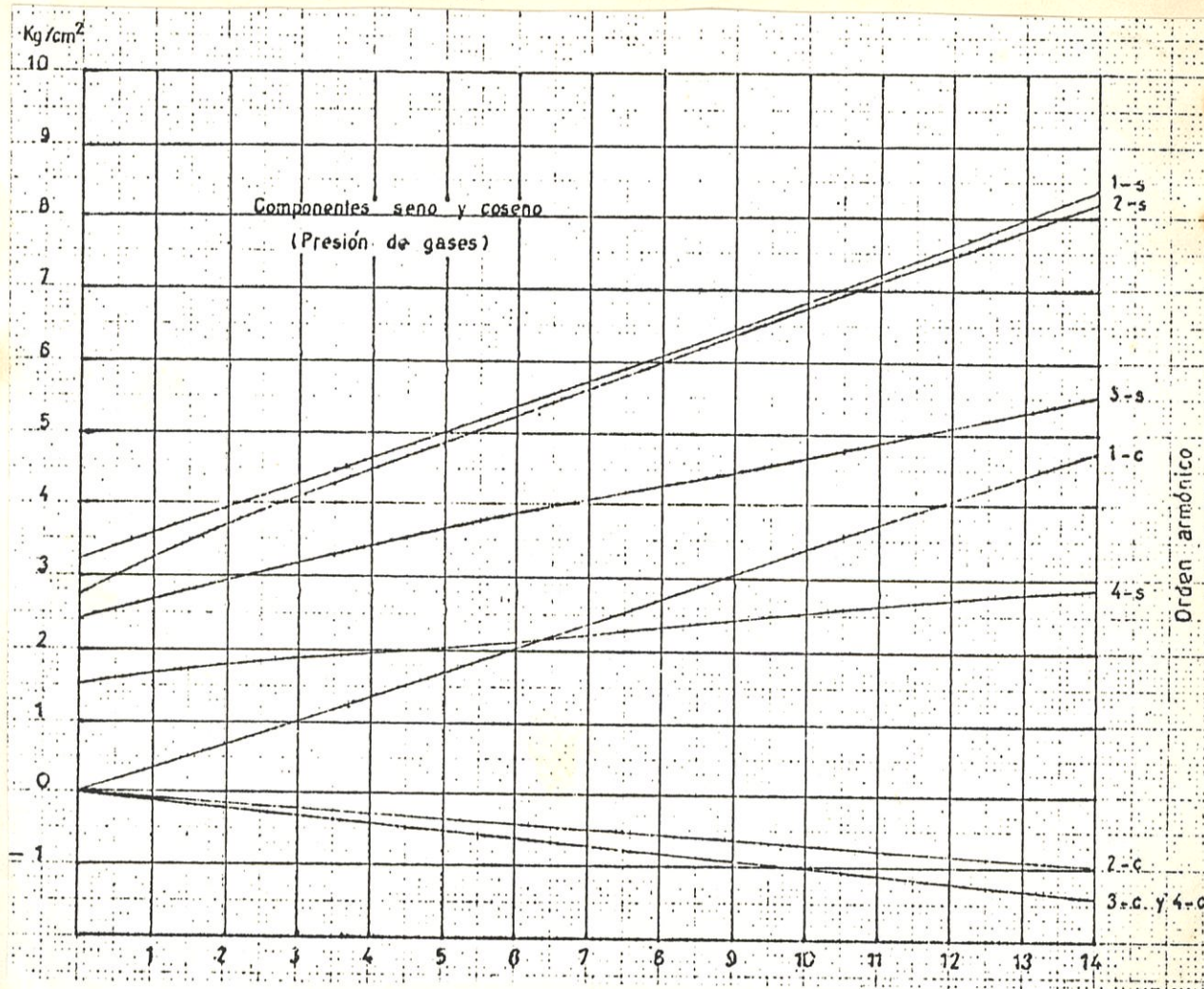
ω = velocidad angular del cigüeñal (rad/s)

D = diámetro del embolo

Los valores de a_n , b_n y A_{in} pueden ser obtenidos de curvas aplicables a un motor en particular, o bien de otros que representan valores medios y aplicables en general, en ausencia de aquellos.

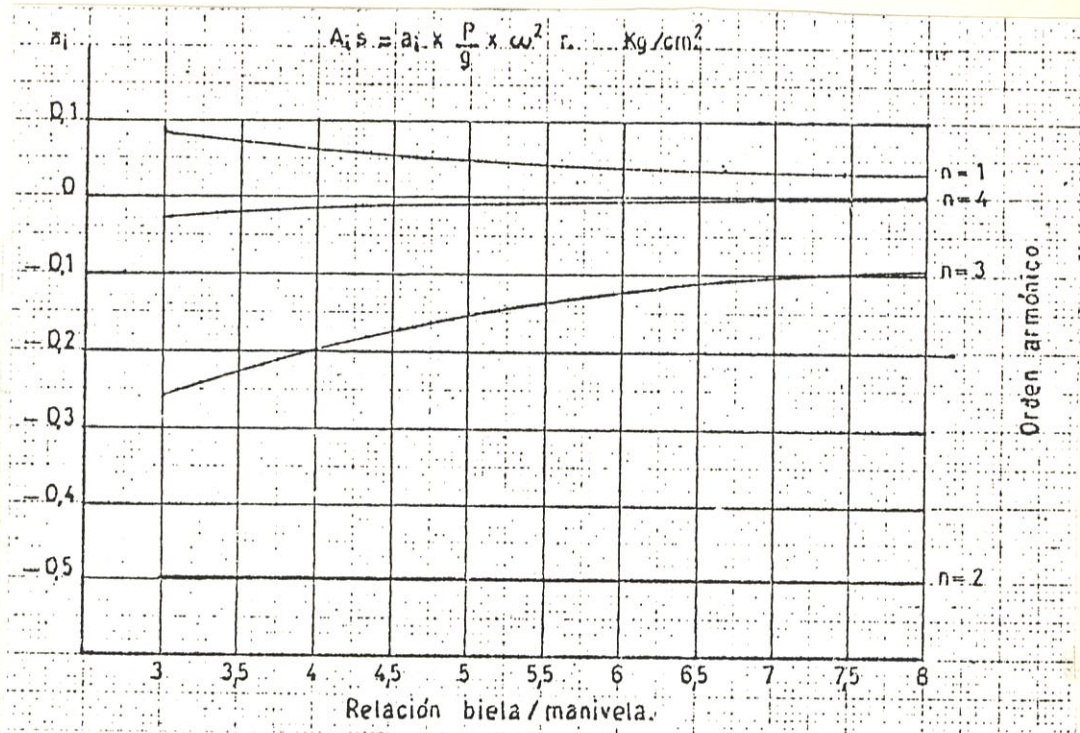
Cuando se trata de las primeras, el gráfico puede dar directamente el valor del componente armónico del torque, corregido por la componente inercial del torque (debido a las partes reciprocas).

$$x_n = \sqrt{(a_n + A_{in})^2 + (b_n)^2} \quad (14)$$



Componentes seno y coseno (presión de gases) de atmósfera. Figura 3.5: (del libro de temperatura de la atmósfera).

En la figura 3.5 podemos obtener los valores de a_n y b_n hasta el tercer armónico. Estos valores son los que se utilizan para calcular la presión atmosférica en función de la altura. Los valores de a_1 y b_1 son los más grandes, lo que indica que la presión atmosférica es más grande en la base que en la cima. Los valores de a_2 y b_2 son más pequeños que los de a_1 y b_1 , lo que indica que la presión atmosférica disminuye más rápidamente con la altura. Los valores de a_3 y b_3 son los más pequeños, lo que indica que la presión atmosférica disminuye más lentamente con la altura.



sin en función de relación biela/manivela

Figura 3.6

A partir de la figura 3.6 se puede obtener el valor de a_{in} y obtener así la componente del esfuerzo tangencial de inercia.

Como puede observarse en este último gráfico, los valores para el armónico 4 son ya muy pequeños, por lo que pueden ser despreciados los de este armónico y superiores.

Por tanto, en el caso de ordenes medios y superiores a

Si el momento del armónico será:

$$Q_m = \frac{\pi \cdot R^2}{4} \cdot F_m \cdot \sin^2 \theta + b_m^2 \cdot F_m \cdot cm \quad (15)$$

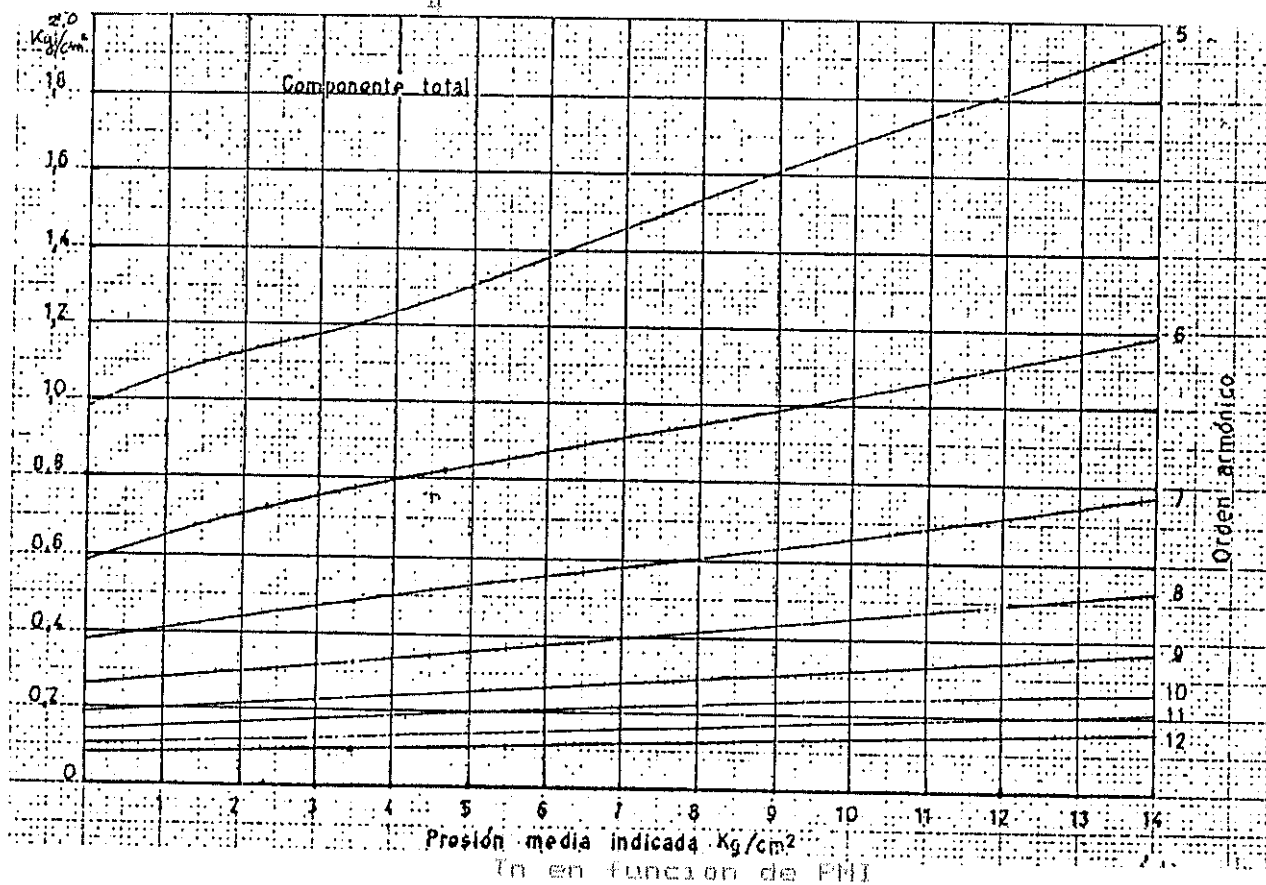


Figura 3.7

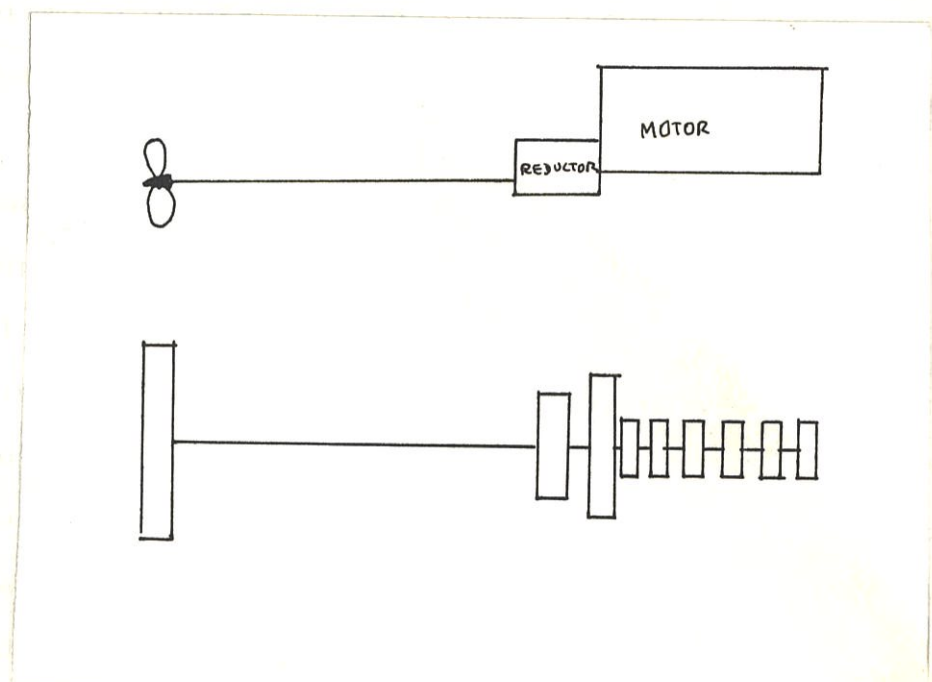
En la figura superior se puede obtener el valor de F_m para armónicos mayores que 4

$$F_m = \sqrt{\sin^2 \theta + b_m^2}$$

Cálculo de la frecuencia natural y modos de vibración.

En el sistema se considera el siguiente modelo:

De acuerdo a los resultados producidos por el programa de computación HOLZER, desarrollado para efectos de esta tesis, y cuyo listado se presenta en el Apéndice de este trabajo, tenemos la siguiente tabla de frecuencias naturales y modos de vibración torsional para el sistema propulsor:



Característica de una vibración del sistema. Para el orden de amplitud de la figura 3.8. Modelo empleado para el caso hay 1 ciclos de vibración por revolución. En la figura 3.8

$$\omega_1 = 136,71 \text{ rad/sg} = 21,8 \text{ cps}$$

$$\omega_2 = 660,27 \text{ rad/sg} = 105,09 \text{ cps}$$

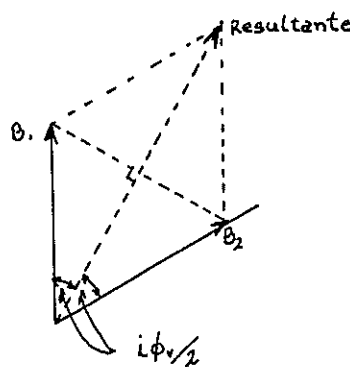
$$\omega_3 = 1,808,97 \text{ rad/sq} = 256,08 \text{ cps}$$

$$\omega_4 = 2,523,78 \text{ rad/sq} = 401,67 \text{ cps}$$

El análisis que hemos hecho anteriormente se adapta fácilmente a un motor con sus cilindros en linea, pero para uno en V, como lo es el que nos encumbe con dos bancos que estan separados entre si por un ángulo θ , el análisis es otro. Todos los bancos operan en el mismo cigüenel y cada uno tiene el mismo orden de encendido que el otro.

Qualquier cilindro, por decir el N° 1, produce la explosión cuando el muñón del cigüenel se encuentre en el centro del punto muerto superior. Luego el muñón gira un ángulo θ , para encontrarse en el centro del punto muerto superior del cilindro 1 del otro banco, el cual produce la explosión. El tiempo transcurrido entre las explosiones de dos cilindros con la misma numeración (del mismo banco) es $\theta/\pi/2n$ veces el tiempo transcurrido de una revolución del muñón. Pues si orden de armónico ($n = 1/2, 1, 1 1/2, \text{ etc.} \rightarrow$ hay 1 ciclos de vibración para una revolución o sea $1 * \theta/\pi/2n$

El factor V es el vector suma de dos vectores de longitud unitaria una unidad es el trabajo total suministrado por un banco en el mismo orden con un ángulo $i\phi_{1/2}$ entre ellos.



Factor V , vector resultante

Figura 3.9

$$\text{Factor } V = 2 \begin{vmatrix} \cos \frac{1 + \Phi}{2} \\ \sin \frac{1 + \Phi}{2} \end{vmatrix} \quad (3.6)$$

Por lo tanto da lo mismo si analizamos un solo banco del motor y aplicamos luego el factor V para determinar el comportamiento del motor en general.

Diagrama de fase o de estrella.

Para el efecto debemos de determinar lo siguiente según

el catálogo del motor. La velocidad es de 1200 rpm.

Orden de encendido = 1-5-3-4-2-6 giro a la derecha

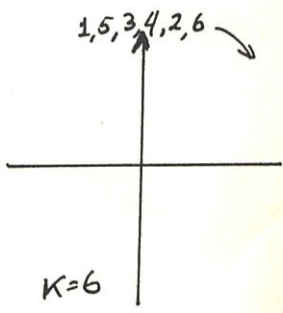
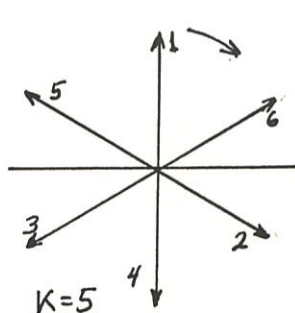
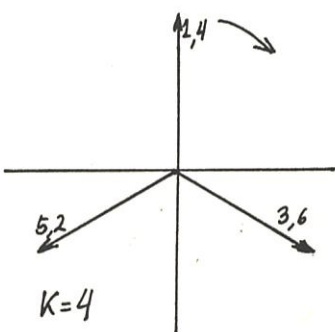
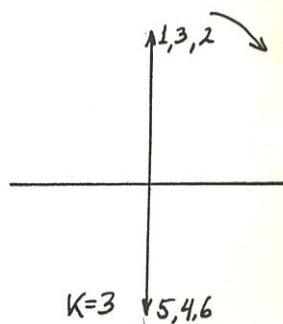
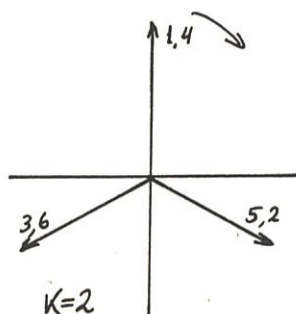
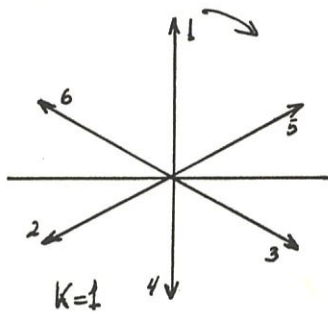


		Diagrama de fase o estrella	13	14
160837	18704	17072	153648	13968

Figura 3.10

Ahora se determinará la velocidad angular en rpm del motor para cada número de orden (armónico) k , que estará en resonancia con cada frecuencia natural.

Para el efecto se considera un rango de velocidad del

motor entre 50 % - 110 % de rpm; o sea, 900 rpm - 1980 rpm

Usamos la siguiente fórmula (11).

$$\omega_n = \frac{N_r * K}{60} \text{ cpm} \quad (17)$$

$$N_r = \frac{\omega_n * 60}{K} \text{ RPM}$$

Obtenemos los siguientes resultados:

ω_n Rad/sq	1	2	3	4	5	6	7
136,71	1.305,5	—	—	—	—	—	—
660,27	—	—	—	1.576,8	1.261,4	1.050,9	901
ω_n Rad/sq	8	9	10	11	12	13	14
1.608,97	1.920,6	1.707,2	1.536,48	1.396,8	1.200,4	1.181,9	1.097,5
2.523,78	—	—	—	—	—	1.053,8	1.424

Condiciones resonantes para cada freq. natural

Figura 3.11

De estas condiciones sacaremos las siguientes:

I I I I e y III Iz

Presión media indicada.

Tendremos tres PHI de acuerdo a las tres condiciones resonantes que hemos escogido anteriormente.

Usamos la fórmula a continuación presentada por

$$\text{PHI} = \text{PHIc} - \frac{\text{Nr} / \text{Nc} - 1}{2} \quad (18)$$

donde:

Nr = velocidad de rotación del motor en condición resonante

Nc = velocidad de rotación del motor en condición continua

PHIc = presión media indicada en condiciones continuas, que es igual a:

$$\text{PHIc} = \frac{33,000 * \text{BHP}}{\pi * 4 * \text{SP} * \text{Mc} * \text{Km}} \quad \text{lb/pulg}^2$$

dónde:



- BHP = Potencia al freno = 359
 A = Área del embolo (pulg²) = 14,19
 SP = Carrera del embolo (pies) = 0,417
 K = Factor que toma los siguientes valores:
 1 = motores de dos tiempos
 1/2 = motores de cuatro tiempos
 Nm = eficiencia mecánica del motor ≈ 0,95
 n = número de cilindros = 12
 Nc = 1800 RPM

Entonces:

$$\text{PMIc} = 97,57 \text{ lb/pulg}^2$$

Siendo así, los valores de presión media indicada para las condiciones resonantes serán:

$$\text{I-1} \quad \text{PMI} = 3,64 \text{ Kg/cm}^2 \quad (51,66 \text{ lb/pulg}^2)$$

$$\text{II-2} \quad \text{PMI} = 2,34 \text{ Kg/cm}^2 \quad (33,21 \text{ lb/pulg}^2)$$

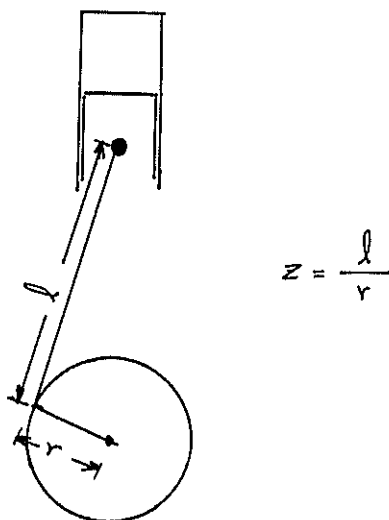
$$\text{III-12} \quad \text{PMI} = 3,44 \text{ Kg/cm}^2 \quad (48,82 \text{ lb/pulg}^2)$$

Ahora utilizaremos las tablas de las figuras 3.5, 3.6, 3.7 [14] para determinar el torque producido en cada armónico correspondiente.

Para el efecto usaremos los siguientes datos:

z = relación biela/radio de manivela, según gráfico inferior

21.



Relación biela - manivela

Figura 3.12

$$z = 11,41 \text{ pulg} / 3,93 \text{ pulg} = 3$$

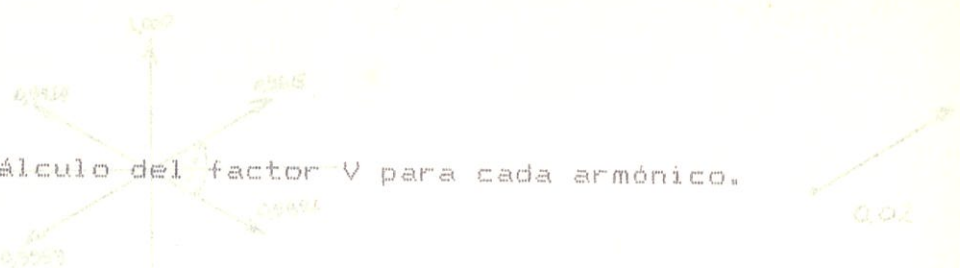
peso del eje del eje = 5,26 lbs

peso de la parte reciproca de la biela = 2,15 lbs.

ARMÓNICO	W _n	a _n (kg/cm ²)	b _n (kg/cm)	a _m	A _m (kg/cm)	X _n $\sqrt{(a_n + A_m)^2 + b_n^2}$ (kg/cm ²)	$\sqrt{a_m^2 + b_m^2} \cdot T_m$ (kg/cm ²)	$Q_m \cdot \pi \frac{D^2}{4} r$
1	I	4,54	3,25	0,085	0,73	5,41	—	3.144,17
6	II	—	—	—	—	—	0,71	432,64
12	III	—	—	—	—	—	0,1	58,12

Resultados obtenidos

Figura 3.13



Cálculo del factor FV para cada armónico.

FV para el primer armónico

$$k = 1 \quad (\pi)$$

$$FV = 2 * \cos \frac{i * FV}{2}$$

$$\therefore FV = 1,732$$

Para el sexto armónico

$$FV = 2$$

Para el decimo segundo armónico

$$FV = 2$$

Entonces estamos listos para construir el diagrama vectorial con las amplitudes en cada modo de vibración, para obtener luego la suma vectorial en cada armónico de cualquier modo de vibración.

Analicemos el primer modo de vibración donde $\omega_n = 1.305,5$ RPM, $k = 1$ de acuerdo a la figura:

$$\text{Fase} = 30^\circ$$

$$\therefore \theta = 30^\circ + 90^\circ$$

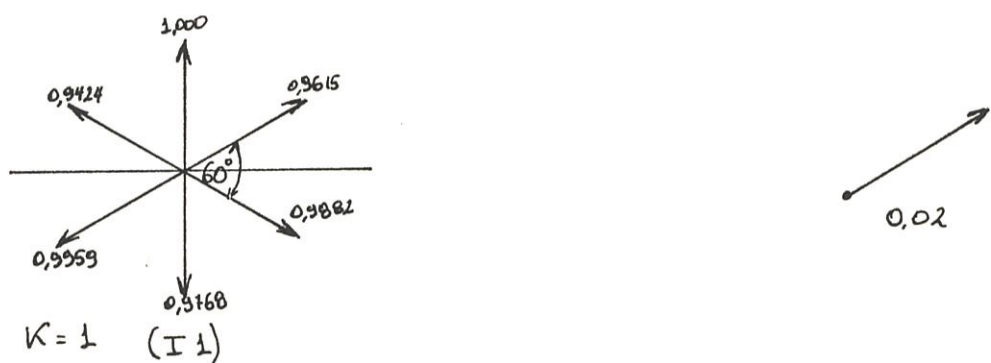


Diagrama de estrella para I 1

Figura 3.14

$$\Sigma = 0.02$$

Figura 3.15

Para el segundo modo de vibración $\omega_n = 6.305,1 \text{ RPM}$, $K=6$

$$\begin{array}{r}
 +1,000 \\
 +0,90995 \\
 +0,73796 \\
 +0,49951 \\
 +0,21608 \\
 -0,0868 \\
 \hline
 3,2767
 \end{array}$$

Diagrama de estrella

para el modo de vibración

Figura 3.15

Este es el resultado de la

transformación de

rotación de los

componentes de la

Diagrama de estrella para II 6

Figura 3.15

Este es el resultado de la transformación de los componentes de la vibración de modo II 6.

La amplitud de rotación es $\Sigma = 3,2767$ que es igual al resultado

de la transformación de rotación para el modo II 6.

Este resultado es igual al resultado para el modo I 1.

Para el tercer modo de vibración en = 15,364,5 RPM, $\omega = 12$

$$\begin{array}{r}
 + 1,000 \\
 + 0,46526 \\
 - 0,31826 \\
 - 0,93161 \\
 - 1,04678 \\
 - 0,60221 \\
 \hline
 1,4336
 \end{array}$$

Oscilación de estrella para III-12

Fórmula 7-16

$$\delta = 1,4336$$

Amplitud de Vibración.

Este análisis es consecuencia del método de Balanceamiento de Energía, es decir, igualar la energía introducida por ciclo (por el motor) a la energía disipada (en el mismo motor y en el propulsor), producto de amortiguamiento.

Para cada velocidad crítica del motor, se considera, la amplitud de vibración torsional (δ) en el cilindro N° 1 del motor está dado por:

$$\omega_1 = \pm \sqrt{\frac{M}{\sum m}} \cdot \omega_0 \quad \text{radian}$$

dónde:

M = Magnificador dinámico para todo el sistema, dado a continuación.

$$\frac{M}{m} = \frac{\Omega_1 \cdot \sum \vec{m} \cdot FV}{m^2 \cdot \sum (\vec{m} \cdot \vec{v})} \quad \text{radian}$$

Ω_1 = Torque del armónico correspondiente por cilindro ($Kg-cm$).

$\sum \vec{m}$ = Sumatoria del vector fase

ω_0 = Velocidad angular natural del modo de vibración correspondiente (rad/sq)

$\sum (\vec{m} \cdot \vec{v})$ = Sumatoria de términos obtenidos de la tabla de frecuencia natural para todo el sistema ($Kg-cm-sq$)

Magnificadores dinámicos.

El método descrito para calcular las magnitudes de vibración a velocidades críticas, involucra el uso de un magnificador dinámico aplicado al sistema como un todo, pero las fuentes más importantes de amortiguamiento son determinadas individualmente. Estos magnificadores dinámicos parciales son combinados para darnos así, un magnificador total para el sistema completo, es decir, M

Y lo obtendremos a partir de la siguiente fórmula suponiendo:

$$\approx M = \left[(1/M_{\text{e}})^2 + (1/M_{\text{p}})^2 + (1/M_{\text{cl}})^2 + \dots \right]^{-\frac{1}{2}}$$

Donde:

M_{e} = Magnificador dinámico asociado con los efectos de amortiguamiento que aparecen dentro del motor, es expresado como una función de ω .

$$M_{\text{e}} = S_p \theta + \omega^{-\frac{1}{2}}$$

M_{p} = El amortiguamiento de la hélice está tomado en cuenta por M_{p} que es el magnificador dinámico de la hélice.

$$M_{\text{p}} = \frac{\sum (J * \beta^2) * N_c^2 * k}{650,000 * \pi * H * \theta p^2}$$

dónde:

$\sum (J * \beta^2)$ = Sumatorio de términos parciales en el eje ($J = c_m^2 - \theta \beta^2$)

N_c = Velocidad máxima continua del motor, en RPM
 k = N° del armónico (N° de orden)

$H =$ potencia del eje (SHF) en la condición de M_0
 $\delta p =$ Amplitud modal relativa de la hélice en radiación
 $a =$ coeficiente tomado como 30

$M_d =$ magnificador dinámico asociado al amortiguador del sistema y en nuestro caso no lo tomamos en cuenta, por carecer del mismo.

Entonces:

Para la primera frecuencia natural (modo N° 1) $\omega_1 = \omega_0 = 1$

$$\text{II-1} \quad M_{p1} = \frac{144,47 \times (1,800)^3 + 1}{680,000 \times 30 \times 340 \times 10,12}$$

$$M_{p1} = 12,00$$

Para la segunda frecuencia natural (modo N° 2) $\omega_2 = \omega_0$

$$\text{II-6} \quad M_{p2} = \frac{9,56 \times (1,800)^3 + 6}{680,000 \times 30 \times 340 \times 1,78 \times 10^4}$$

$$M_{p2} = 28,55 \times 10^4$$

Para la tercera frecuencia natural (modo N° 3) $\omega_3 = \omega_0$

$$\text{II-12} \quad M_{p3} = \frac{5,79 \times (1,800)^3 + 12}{680,000 \times 30 \times 340 \times 3,06 \times 10^4}$$



$$\text{Bip}3 = -98,78 \text{ E-03}$$

Ahora calculamos M_{θ} ,

$$\text{M}_{\theta} = S_{\theta} B + \text{Co}$$

Para el primera condicion

$$\text{M}_{\theta1} = -4,03 \text{ E-03}$$

$$\text{M}_{\theta1} = -47,70$$

Para la segunda condicion,

$$\text{M}_{\theta2} = -6,23 \text{ E-03}$$

$$\text{M}_{\theta2} = -24,70$$

Para la tercera condicion,

$$\text{M}_{\theta3} = -8,53 \text{ E-03}$$

$$\text{M}_{\theta3} = -75,00$$

Con los valores determinados anteriormente tenemos la siguiente tabla.

ω_n	armónico	θ_0	M	θ_1
	(K)	(rad)		$\pm M * \theta_0$ (rad)
1		$4,03 \times 10^{-5}$	$11,64$	$\pm 4,69 \times 10^{-4}$
6		$6,23 \times 10^{-4}$	$24,05$	$\pm 1,5 \times 10^{-2}$
12		$6,58 \times 10^{-6}$	$75,03$	$\pm 4,94 \times 10^{-4}$

Estos valores de θ_1 son multiplicados por los factores de esfuerzo localizados en la columna 7 de la tabla de frecuencias naturales que le corresponda (apendice).

De esta forma obtenemos los siguientes valores de esfuerzos vibratorios.

	11	11 2	11 12
ΔE_1	$1_a^1 \text{SO}_g, 5\text{r} \text{pm}$	$1_a^1 \text{O}_g, 9 \text{r} \text{pm}$	$1_a^1 \text{SO}_g, 9 \text{r} \text{pm}$
ΔE_2	$1_a^1 \text{SO}_g, 5\text{r} \text{pm}$	$1_a^1 \text{SO}_g, 1 \text{r} \text{pm}$	$1_b^1 \text{SO}_g, 5 \text{r} \text{pm}$
	$1b \times \text{pul q}^2$	$1b \times \text{pul q}^2$	$1b \times \text{pul q}^2$

$1_g 1A$ $7S_0, 39$ $11S_0, 10$

Σ

$2_g 2Z$ $1_a^1 \text{SO}_g, 40$ $2S_1, 36$

Ξ

$3_g 4I$ $2_a^1 \text{II}Z_g, 04$ $1G_2, 25$

Λ

$4_g 5A$ $2_a^1 \text{SO}_g, 25$ $2G_3, 22$

Ξ

$5_g 5A$ $2_a^1 \text{Z}6Z_g, 70$ $1S_0, 20$

ϕ

$6_g 6Z$ $2_a^1 \oplus 1S_0, 72$ $2G_3, 45$

γ

$1S_0, 25$ $7S_0, 22$ $1G_2, 18$

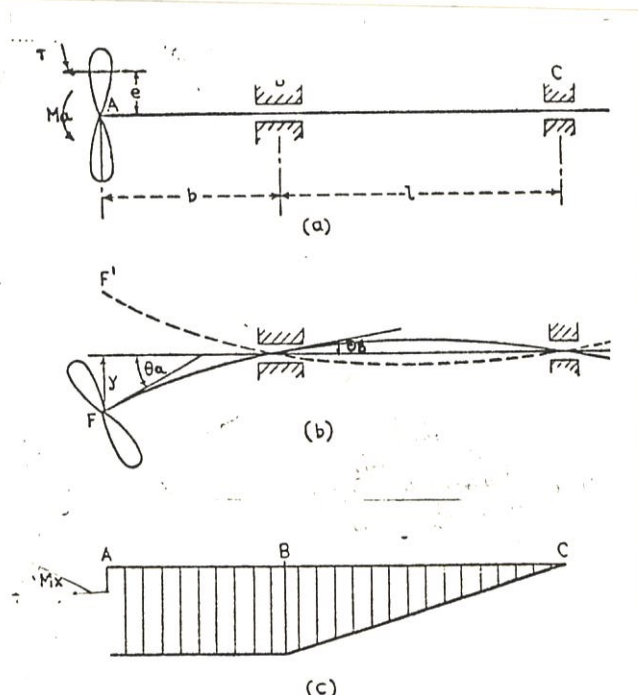
Ξ

$1GO_g, 63$ $2S_0, 55$ $3_g 1E$

Θ

3.2.- ANALISIS DE VIBRACION LATERAL.-

Para aproximar la frecuencia fundamental de vibración lateral del sistema propulsor, utilizaremos la fórmula de Panagopoulos modificada, referencia [15]; para ello consideramos nuestro eje propulsor con la hélice en el punto A, y además simplemente soportado en B y C (cojinetes del túnel a popa y proa respectivamente) y tomemos la coordenada X en la dirección axial, con la deflexión vertical Y hacia abajo.



Sistema propulsor equivalente con su momento flector

Figura 3.17

Cuando el momento flector M_x actúa en el extremo del

Si el propulsor se pone como lo muestra la figura, la curva de deflexión entre A y B y entre B y C debería ser como sigue, si la rigidez flexural de éste es representado por EI.

Entre A y B

$$\gamma = \frac{M_e}{EI} \begin{bmatrix} 1 & -\frac{b}{2} & 1 \\ -\frac{b}{2} & b^2 & -\frac{b}{2} \\ 1 & -\frac{b}{2} & 1 \end{bmatrix} \quad (19)$$

(O 1.8.10)

Entre B y C

$$\gamma = \frac{M_e}{EI} \begin{bmatrix} \frac{b^2}{2} & \frac{b^2}{2} & 1 \frac{b^2}{2} \\ \frac{b^2}{2} & b^2 & \frac{b^2}{2} \\ 1 \frac{b^2}{2} & \frac{b^2}{2} & 1 \end{bmatrix} \quad (20)$$

(O 1.8.11)

Donde b y l son las longitudes de A a B y de B a C respectivamente.

Si la deflexión en A es representada por γ_A y la deflexión angular en A y B por θ_A y θ_B como muestra la figura 1, tenemos:

$$\gamma_A = \frac{M_e}{EI} \cdot \frac{b}{2} \left(\frac{b}{2} + \frac{l}{3} \right)$$

$$\theta_B = \frac{M_e}{EI} \left(b + \frac{l}{3} \right)$$

$$\phi_B = \frac{M_e}{EI} \cdot \frac{1}{2}$$

Panadopolus assume que el eje debe mantener la misma forma de deflexión dada por las ecuaciones 19 y 20, aun durante la vibración.

Así, γ_a y θ_a son expresadas como si fueran:

$$\gamma_a = -\frac{3+b}{1} \left(\frac{b}{2} + \frac{1}{3} \right) \Theta b$$

$$\theta_a = \frac{3}{1} \left(b + \frac{3}{2} \right) \Theta b$$

siendo Θb la variable independiente.

Si la energía cinética de la hélice y eje como un todo es denominada por T , la energía potencial del eje por U , el trabajo debido al momento de la fuerza externa por W y la variable dependiente por Θb ; asumiendo que el eje mantiene la deformación dada por las ecuaciones 19 y 20 aun durante la vibración, T , U , y W serán como sigue:

$$2T = J \dot{\theta}^2 \Theta b^2 + m \dot{\gamma}^2 \Theta b^2 + \left\{ \frac{1}{2} b^2 \dot{\gamma}^2 \Theta b^2 + \int \frac{1}{2} b^2 \dot{\gamma}^2 \Theta b^2 \right\}$$

$$= \frac{9}{12} \left\{ b^2 \left(b + \frac{1}{3} \right)^2 + m b^2 \left(\frac{b+1}{2} \right)^2 + \left(\frac{b^2}{24} + \frac{1}{12} b^2 + \frac{1}{27} b^2 - \frac{12}{945} \right) \right\} \Theta b^2$$

$$21) = \int EI (\varphi'') z^2 \, dx + \int EI (\varphi'') z^2 \, dx$$

$$= -\frac{2}{1^2} \left(b + \frac{1}{3} \right) \text{eb} * M * \text{senet} \quad (22)$$

" indica la segunda derivada con respecto a x.

$$\dot{\theta} = \theta a * H * \text{senet}$$

$$= -\frac{2}{1} \left(b + \frac{1}{3} \right) \text{eb} * M * \text{senet} \quad (23)$$

Sustituyendo las ecuaciones 21, 22 y 23 en la ecuación de movimiento de Lagrange, obtenemos la siguiente ecuación:

$$\left\{ Jd \left(b + \frac{1}{3} \right)^2 + mba^2 \left(\frac{b}{2} + \frac{1}{3} \right)^2 + p \left(\frac{b^5}{20} + \frac{b^4}{12} + \frac{b^3}{24} + \frac{b^2}{720} \right) \right\} \ddot{\theta} + \\ + EI \left(b + \frac{1}{3} \right) \text{eb} = -\frac{1}{3} \left(b + \frac{1}{3} \right) M * \text{senet} \quad (24)$$

Donde:

Jd = Momento de inercia con respecto al diámetro de la hélice (incluyendo el 60 % por el momento de inercia debido a la masa añadida) $\text{kg} \cdot \text{sq}^2 / \text{m}$

m = Masa de la hélice (incluyendo el 30 % de la masa añadida) $\text{kg} \cdot \text{sq}^2 / \text{m}$

p = Masa del eje por unidad de longitud $\text{kg} \cdot \text{sq}^2 / \text{m}^2$

$M * \text{senet}$ = Momento de la fuerza externa $\text{kg} \cdot \text{m}$

Indica la diferencia con respecto al tiempo

De acuerdo a la ecuación diferencial 24, la frecuencia natural N_{nl} (RPM) será como sigue.

$$N_{nl} = \frac{\pi}{Jd} \sqrt{EI \left(b + \frac{1}{3} \right)} \quad (25)$$

$$N_{nl} =$$

$$\frac{\pi}{Jd} \sqrt{\left(b + \frac{1}{3} \right)^2 + mb^2 \left(\frac{1}{2} + \frac{1}{3} \right)^2 + \rho \left(\frac{b}{20} + \frac{1b^4}{12} + \frac{1^2 b^3}{27} + \frac{21}{945} \right)}$$

$$EI = 11,2 \text{ E04} \text{ Kg-m}^2$$

$$Jd = J_{\text{polar}}/2 + 0,6(J_{\text{polar}}/2) = 1,79 \text{ Kg-m-sq}^2$$

$$m = 16,23 + 4,87 = 21,10 \text{ Kg-sq}^2/\text{m}$$

$$\rho = 6,48 \text{ Kg-sq}^2/\text{m}$$

$$b = 0,31 \text{ m}$$

$$l = 2,21 \text{ m}$$

$$N_{nl} = 1,672,17 \text{ cpm.}$$

Possible condición resonante.

Para calcular la velocidad de rotación del motor RPM a la que se producirá la condición resonante, igualamos la primera frecuencia natural con la de excitación de la hélice.

$$F_n \text{ Natural} = F_n \text{ excitación de la hélice}$$

$$F_n \text{ Natural} = RPM * Z/n$$

Dónde:

$$Z = \text{Número de palas de la hélice} = 4$$

$$n = \text{Razón de reducción} = 4,5$$

Las RPM del motor principal a las que se producen condiciones resonantes son:

$$1,447Z/n1/2 = RPM * 4 * 4,5$$

$$RPM = 1,881,20$$

Cálculo del Esfuerzo en Vibración Lateral.

Para el cálculo de este esfuerzo vamos a asumir que el efecto de Histeresis es despreciado, mientras que solamente es considerado el amortiguamiento de la hélice. Durante una revolución completa del eje con una hélice de cuatro palas, cada pala describe tres oscilaciones completas en dirección adelante-atrás (una oscilación cumple cuando gira el eje 120°). Para una hélice de 3 palas, el número de oscilaciones es 2 (una oscilación cumple a 180° de rotación del eje).

Puesto que las palas oscilan más en forma "basculante" que un movimiento adelante-atrás, el centro de empuje (presión) es tomado en un punto a 0,7 (radio) del extremo de la pala. Si (x) representa la amplitud adelante-atrás de este centro de presión de empuje, la energía absorbida por una pala durante una revolución está dada por la siguiente expresión:

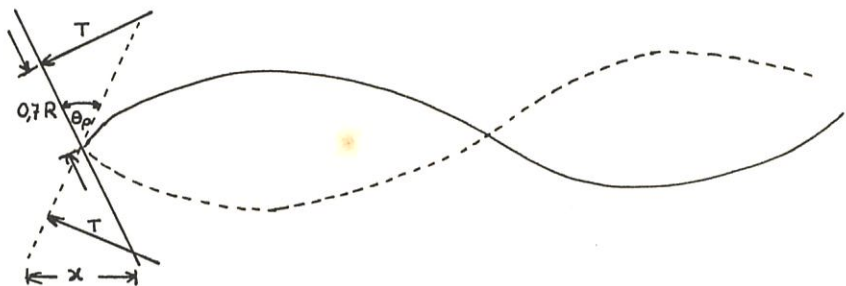
$$\frac{1}{2} \cdot \frac{\rho \cdot Z \cdot \pi^2 \cdot ch \cdot f \cdot x^2}{Z} \quad (26)$$

Donde:

- f = Frec. de oscilación de la pala de la hélice en ciclos por segundo
- $= N_{n1}(Z - 1) / Z * 60$ en resonancia = 20,90
- Z = número de palas de la hélice = 4 .

$$x = \theta_p * 0,7(R) = \theta_p * 0,35(D).$$

θ_p = Amp. de ángulo basculante de la hélice en rad. (fig)
 ch = Coeficiente de amortiguamiento axial de la hélice.



Momento externo debido al empuje descentrado

Figura 3.18

Cálculo de (ch) axial de la hélice.

De acuerdo con la referencia [10], el coeficiente de amortiguamiento axial de una hélice se puede expresar como:

$$ch = \rho * N * (D^2 * 3) * C_{I1}^2 * LSC(C_{I1}) / 9,8 \text{ Kg-sg/m.}$$

ρ = Densidad del fluido donde está sumergida la hélice.

N = Velocidad de rotación de la hélice en resonancia en RPS
 $= 1.881,20 / n * 60. = 6,97$

D = Diámetro de la hélice en metros .

C₁₁₁ = Coeficiente de amortiguamiento dado en tréfis como ecuaciones de reacción en función de Ae/Ao y F/D en vibración lateral .

LSC(C₁₁₁) = Factor de corrección para considerar efectos tridimensionales en el cálculo de C₁₁₁

Posteriormente .

$$\begin{aligned} C_{111}^* &= 0,32017 + 0,29375 * 10 \cdot (Ae/Ao) - 0,90814 \cdot (F/D) - \\ &- 0,19719 * 10 \cdot (Ae/Ao)^2 + 0,53868 \cdot (F/D)^2 - \\ &- 0,65404 \cdot (Ae/Ao) \cdot (F/D) \end{aligned}$$

Para el

$$Ae/Ao = 0,55$$

$$F/D = 0,778$$

$$C_{111}^* = 0,68$$

Además :

$$\begin{aligned} LSC(C_{111}) &= 0,82004 + 0,67190 / (RA)^2 + 1,2913 \cdot (F/D) \cdot RA + \\ &+ 7,7476 \cdot / (RA) - 16,807 \cdot (F/D) \cdot / (RA) - 8,2798 \cdot / (RA) + \\ &+ 19,424 \cdot (F/D) \cdot / (RA) \end{aligned}$$

La razón de aspecto de la hélice es : RA = 1,606.

100

Luegas:

$$\text{LSC (C11)} = \phi_1 93\%$$

Entonces:

$$\omega h = 1,025 * \phi_1 93\% + (1,372) * Q_1 60\% + \phi_1 93\% * \phi_1 60\%$$

Energia/m

$$\omega h = 1,202 + 1,7 E_{\text{q+eq/m}} + 0,02 \phi_1 93 \cdot 1,02 \cdot \text{sq}(\phi_1 60)$$

Energia Absorbida por la pala en un ciclo.

$$= L \cdot Z * 2 * \pi^2 * 800,33 * 20,90 * 2,5 * 0,02$$

$$\frac{83,16 \cdot 10^4 * \text{Opz}}{Z}$$

Ahora, la energia absorbida por todas las palas durante una revolucion completa del eje (cada pala describe 2-1 oscilaciones completas) sera:

$$Ed = \frac{83,16 \cdot 10^4 * \text{Opz}}{Z} * Z * 2 = 166,32 \cdot 10^4$$

$$Ed = 24,95 \cdot 10^5 * \text{Opz}$$

Si la variacion de empuje en cada pala sea como es

paso a traves de una concentracion de esteira este representado por τ_1 (se assume optimizado tambien el uso del radio), la energia que entra por un "impulso" de cada pala sera:

$$= \pi * \tau_1 * Q_{0.35} * D * \rho p \quad (27)$$

$$= 4.95 * \tau_1 * \rho p.$$

Y la energia que entra durante una revolucion completa para todas las palas sera:

$$E_1 = \pi * \tau_1 * Q_{0.35} * Z * D * \rho p$$

$$E_1 = 19.8 * \tau_1 * \rho p$$

El empuje alternativo τ_1 , para un buque de dos helices, es segun (23) aproximadamente el 10% del empuje constante (F)

En el capitulo 2 obtuvimos el valor de F en un pie y es $7,284,451 \text{ lb.}$

De donde el empuje alternativo aplicado a cada pala sera:

$$\tau_2 = \frac{72B,44}{Z}$$

$$\tau_2 = 182,11 \text{ lb}$$

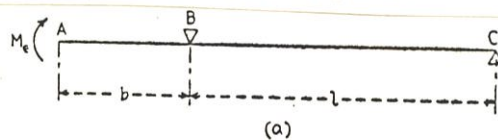
Posteriormente con este valor igualo Ei y Ed

$$24,95 E05 * \Theta p^2 = 19,8 * 182,11 * \Theta p$$

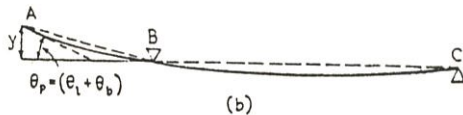
$$\Theta p = 1,44 E-03 \text{ rad.}$$

Desarrollando la ecuación

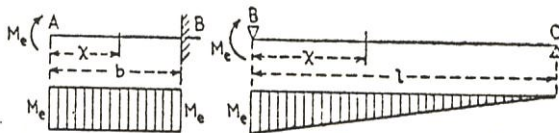
Observando la siguiente figura:



(a)



(b)



(c)

(d)

Diagrama de cuerpo libre y linea elástica

Figura 3.19

nos damos cuenta que Θp es igual a:

$$\Theta p = \Theta b + \Theta l$$

A partir de la referencia [153]

$$\theta_b = \frac{M_e * b}{EI} \quad \theta_l = \frac{M_e * l}{3 * EI}$$

Por lo tanto:

$$\theta_p = \frac{M_e}{EI} \left(b + \frac{l}{3} \right) \quad (28)$$

Donde según la fig (1.2)

$$b = 1,02 \text{ pies}$$

$$l = 6,56 \text{ pies}$$

Determinamos la inercia transversal del eje.

$$I = \frac{\pi * D E 10^4}{12 E 10^4 * 64} \text{ Pies}$$

$$I = 6,06 \times 10^{-4} \text{ pies}$$

$$E = \text{acero ASTM 70-36} = 43,75 \times 10^8 \text{ lb/pulg}^2$$

Despejando M_e en la fórmula (28)

$$M_e = \frac{\theta_p * EI}{(b + l/3)}$$

$$M_e = 14,287,00 \text{ lb-pulg.}$$

Sabemos que:

Esfuerzo debido a flexión $E_b = M_e/S$

Donde, S = Modulo seccional del eje.

$$S = \frac{I}{D/2}$$

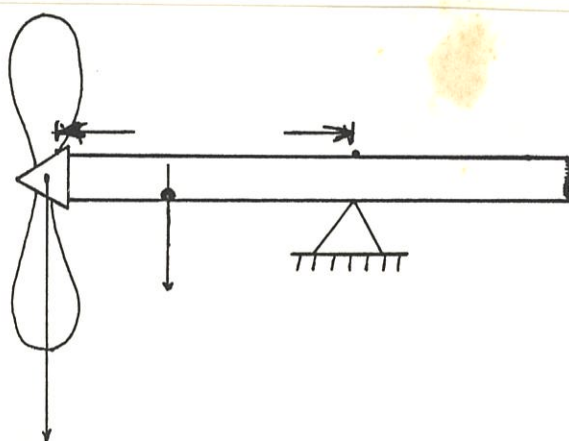
$$S = 6,29 \text{ pulg}$$

Y el esfuerzo flector debido a vibración lateral en el eje propulsor será:

$$E_b = \frac{14.287,00}{6,29} \text{ lb/pulg}^2$$

$$E_b = 2.271,38 \text{ lb/pulg}^2$$

Cálculo del esfuerzo vibratorio por flexión.



Extremo del eje en cantiliver

$$E_b = 517,45 \text{ lb/pulg}^2 \text{ figura 3.20}$$

De acuerdo a la figura de arriba, en el punto A se desarrolla un esfuerzo de flexión al deformarse el eje debido al peso de la hélice y del tramo libre del eje.

Seas:

$$P_1 = \text{Peso de la hélice} = 400,00 \text{ lb}$$

$$P_2 = \text{Peso concentrado del tramo de eje (cap 2)} = 42,9 \text{ lb}$$

El momento en el punto A será:

$$400(12,2) + 42,9(6,1) = 5,141,7 \text{ lb-pulg.}$$

Ahora, sabiendo el valor del módulo seccional del eje ($6,29$ pulg), obtenemos el valor del esfuerzo vibratorio por flexión.

$$\sigma_a = \frac{M}{S}$$

Entonces el esfuerzo final por flexión en vibración lateral del eje será:

$$\sigma_a = 817,44 \text{ lb/pulg}^2$$

• 321 - saturation normal polarization on vibration (external del. step)

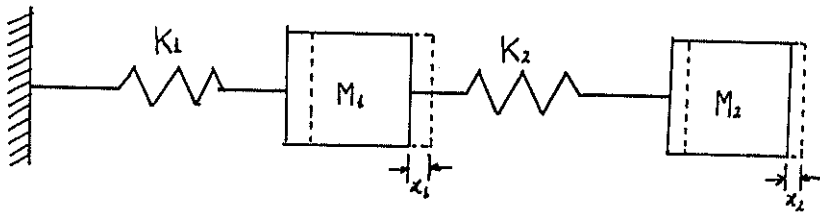
$$\text{Sb} = 2.27 \times 10^{-23} + 81.7 \times 10^{-2}$$

$$\text{Sb} = 3.085 \times 10^{-2} \text{ by pulg}^2.$$

1.3. CÁLCULO DE LAS FRECUENCIAS NATURALES

Cálculo de la frecuencia natural

Sistema (figura)



Sistema sometido a vibración longitudinal
de sus Propulsores

Figura 3.21

Las ecuaciones de equilibrio de las fuerzas del sistema son:

$$\begin{aligned} M_1 \ddot{x}_1 &= -K_1 x_1 + P_1 \cos(\omega t + \phi_1) \\ M_2 \ddot{x}_2 &= K_2 (x_1 - x_2) \end{aligned}$$

Asumiémos que el movimiento es armónico.

$$X_1 = \bar{A}_1 + \epsilon$$

$$X_2 = \bar{A}_2 + \epsilon$$

Por lo tanto:

$$M_1 K_1 + M_2 K_2 + K_1 \bar{A}_1 + K_2 (\bar{A}_1 - \bar{A}_2) = 0$$

$$M_2 K_1 + M_1 K_2 + K_2 \bar{A}_2 + K_1 (\bar{A}_2 - \bar{A}_1) = 0$$

Ordenando el sistema,

$$\begin{aligned} K_1 (K_1 + K_2 + M_1 \bar{A}_2) + K_2 (-\bar{A}_2) &= 0 \\ \bar{A}_1 (K_1) &+ \bar{A}_2 (K_2 + M_2 \bar{A}_2) = 0 \end{aligned}$$

Resolviendo el sistema para el \bar{A}_1 y \bar{A}_2 (para que haya solución no trivial, es necesario que el determinante de la matriz de los coeficientes sea cero),

$$\left| \begin{array}{cc} (K_1 + K_2 + M_1 \bar{A}_2) & -K_2 \\ \bar{A}_1 & K_2 + M_2 \bar{A}_2 \end{array} \right| = 0$$

de donde:

$$\lambda_{1,2} = \frac{M_2 K_1 + M_2 K_2 + M_1 \bar{A}_2 + (M_2 K_1 + M_1 \bar{A}_2 + K_2 \bar{A}_2 + K_1 \bar{A}_1) \pm \sqrt{(M_2 K_1 + M_2 K_2 + M_1 \bar{A}_2)^2 - 4 M_1 M_2 \bar{A}_1 \bar{A}_2}}{2 M_1 M_2}$$

$$\text{Haciendo } \omega_{1,2} = \lambda_{1,2}$$

dónde:

- M₁ = Massa del motor principal y reduedor, mas el 20% debido a agua, aceite y la base.
- M₂ = Massa de la hélice, mas el valor correspondiente a la masa añadida,
- K₁ = Rigididad de la Base de Máquinas.
- K₂ = Rigididad Longitudinal del eje.

Cálculo de la Rigididad de las bases de la Máquina Principal.

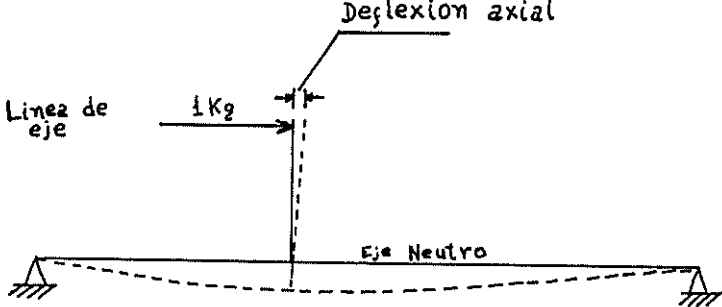
El procedimiento, de acuerdo con la referencia CEDU, contempla el cálculo de la deflexión rotacional del fondo y las deflexiones por flexión y corte de la base, partiendo de una carga unitaria axial. Todas estas deflexiones se combinan para calcular la rigidez total de la base.

Deflexión rotacional del fondo y de la base.

Se calcula asumiendo que el fondo y la estructura de la base forman una viga que está simplemente apoyada en los mamparos, en cada extremo de la sala de máquinas. Debemos dividir a la base en secciones suficientes para calcular el eje neutro y luego el momento de inercia de cada una de ellas.

Se aplica luego sobre la viga un momento compuesto por una carga axial unitaria y la distancia entre el eje neutro de la viga idealizada y la linea del centro del eje.

De este modo se puede calcular la pendiente resultante en el punto sobre el cual el eje ejerce el empuje, que en nuestro caso es la cara reductora. Multiplicando la pendiente calculada por la distancia desde el eje neutro a la linea de accion del empuje, obtendremos la deflexión axial en el punto anteriormente mencionado debido a la rotación del fondo, ver figura 3.22

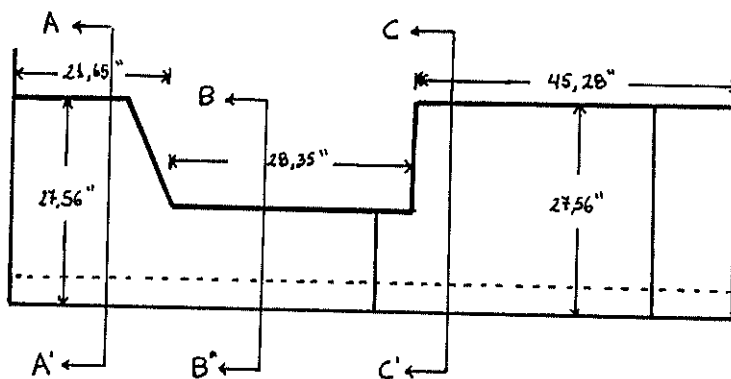


Deflexión axial producida por la carga unitaria

Figura 3.22

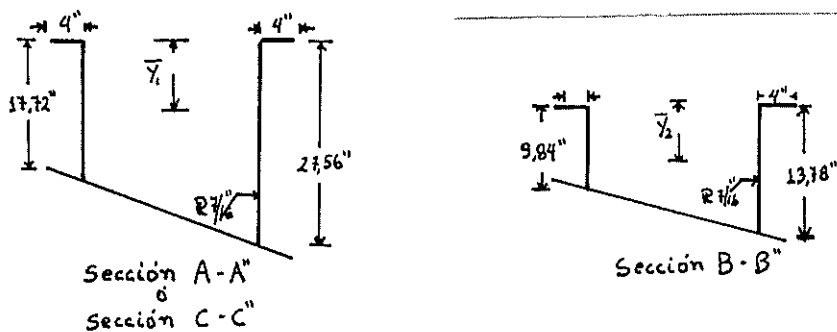
Procedemos entonces a calcular la mitad de la base.

Distribucion de inercia y eje neutro.



Vista long. de la mitad base de la máquina

Figura 3.23



Secciones 1 y 2

Figura 3.24

Como podemos observar en la figura 3.24 tenemos que calcular dos valores de Inercia para dos zonas de la base.

Para la sección 1

$$I_1 = 1,462,56 \text{ (prueba)}$$

$$\bar{Y}_1 = 40,13 \text{ pulg}$$

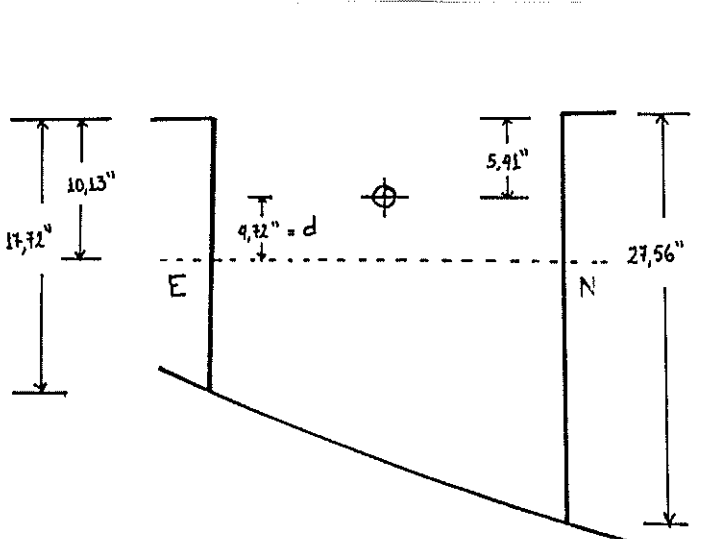
Para la sección 2

$$I_2 = 226,14 \text{ (prueba)}$$

$$\nabla Z = 4,61 \text{ pulg.}$$

De acuerdo a E2OJ no se pierde mucha exactitud en el cálculo, si asumimos como eje neutro, una que une los centros de gravedad en las secciones de la viga que están en los mamparos que limitan a la sala de máquinas.

De esta forma, la distancia entre el eje neutro y la linea de acción del empuje es: (fig.).



Distancia entre el eje neutro y la linea de empuje

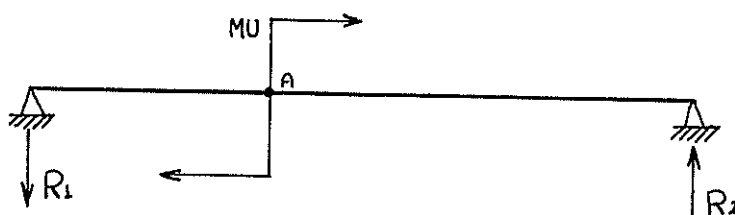
Figura 3.25

$$d = 10,13 - 5,41 = 4,72 \text{ pulg}$$

Deformación axial debido a la rotación de la base.

Con este valor podemos llegar a la rigidez al obtener su inverso. La deformación axial por concepto, es la deformación debida a la acción de una carga unitaria; la calcularemos aplicando una carga en la dirección del empuje, la cual producirá un momento flector (fig.).

$$MU = f \cdot 1b \cdot d = 4,72 \text{ lb-pulg}$$



Momento flector producido por la carga unitaria

Figura 3.26

$$a = 2\pi \cdot \phi \text{ pulg}$$

Calculemos las reacciones R1 y R2

Hacemos sumatoria de momento respecto al punto L

$$MU = R_2 \cdot L$$

$$R_2 = MU/L$$

donde $L = 95,23$ pulg

para los datos

$$R_2 = 0,05 \text{ lb}$$

Hacemos sumatoria de fuerzas en dirección vertical.

$$R_1 = R_2$$

$$R_1 = -0,05 \text{ lb}$$

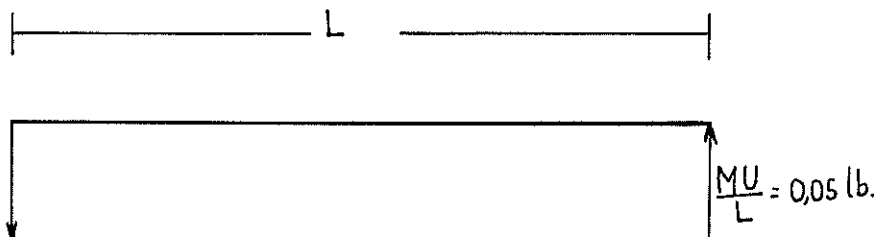


Diagrama de fuerza constante

Figura 3.27

En la figura inferior 3.28 se presenta el diagrama de Momento Flector.

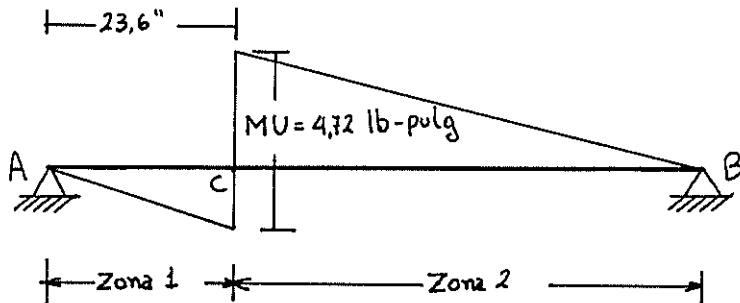


Diagrama de Momento Flector

Figura 3.28

Las ecuaciones del Momento Flector son:

$$\text{Zona 1: } M(x) = R_1 x$$

$$\text{Zona 2: } M(x) = A_2 x + B$$

Condiciones para la zona 2.

$$\text{Si } x = 0 \quad M = M_0 = R_1 s$$

$G = \text{pendiente de la recta} = -R_1$

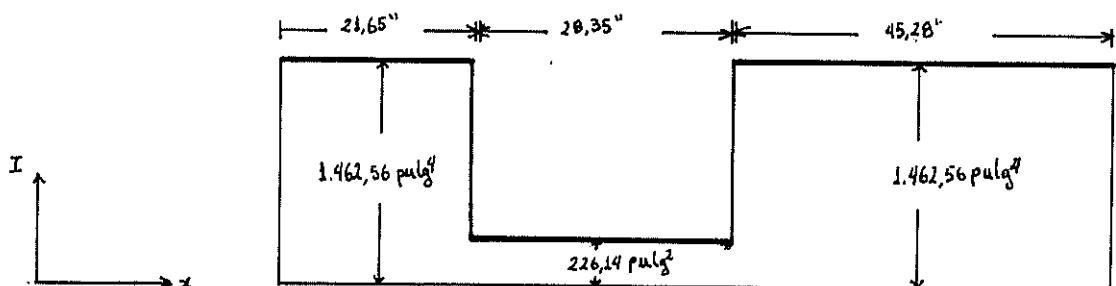
Por lo tanto

$$(M(x) - R_1 x) = -R_1 x + G$$

Donde $G = M_0$.

Entonces para la zona 2, la ecuación del momento flexor será:

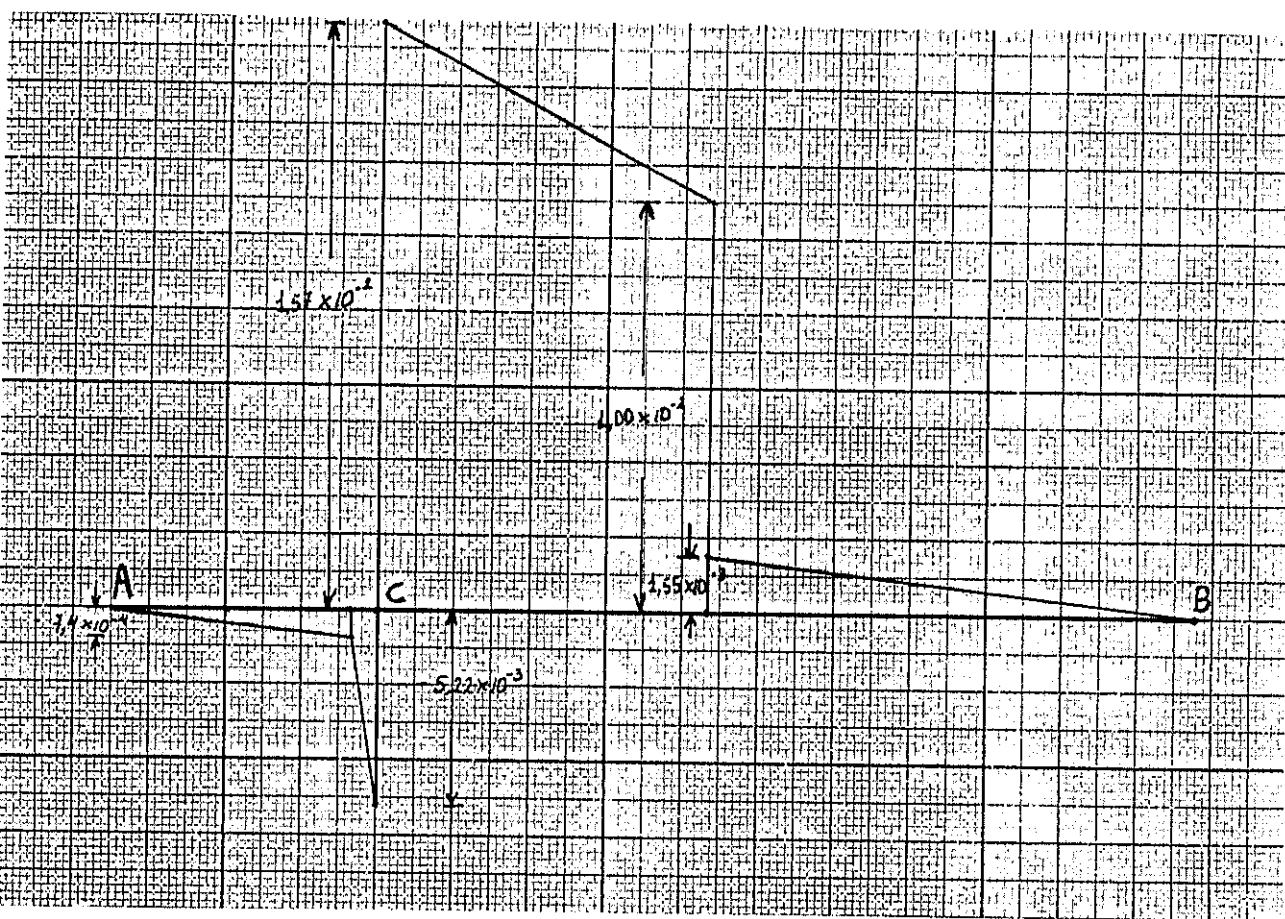
$$M(x) = -R_1 x + M_0$$



Distribución de Inercias

Figura 3.29

La distribución de M/I se da en la figura inferior en función de x .



Distribución de M/I

Figura 3.30

El material del que está hecha la base es Acero ST 50-4, cuyo valor de Módulo elástico es

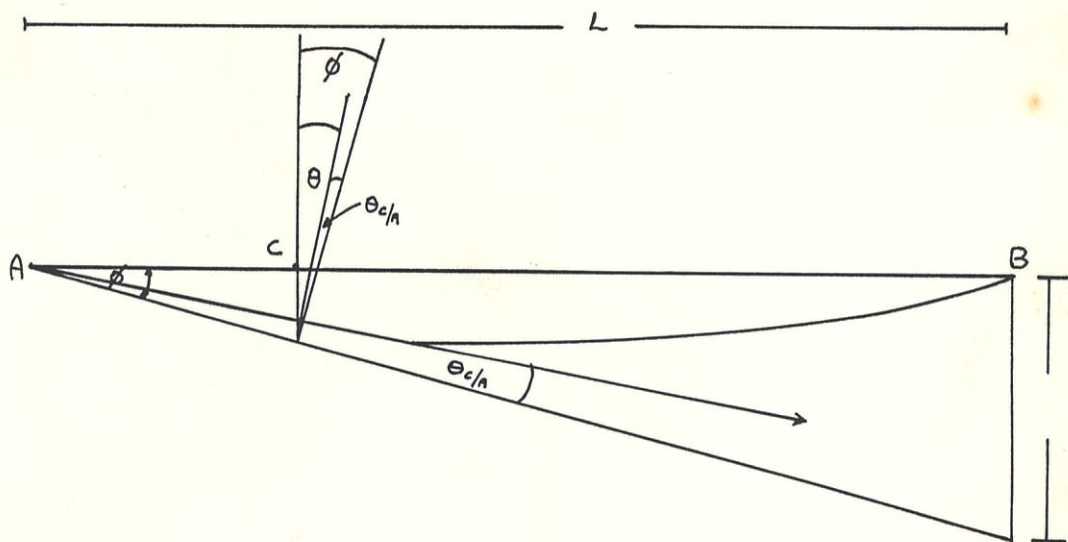
$$E = 30,39 \text{ E}06 \text{ lb/pulg}^2$$

Recordando el Teorema de Área de Momento (18) y haciendo uso de la fig anterior.

que b/a es igual a : 7,18 E-07 pulg ver fig.3.31

Además del mismo teorema:

$\theta c/a = 1,00 \text{ E-09}$ rad. ver fig.3.31



Rotación de la base de la Máquina

Figura 3.31

El valor del ángulo θ puede ser calculado fácilmente, mediante la función trigonométrica tg

$$\theta = \frac{\dot{\theta} \cdot t}{L} = \frac{4,32 \cdot 10^{-07}}{L} \text{ rad}$$

Por lo tanto, el ángulo de rotación de la base en la posición de la caja de reducción (θ) se calcula de la siguiente manera:

$$\tilde{\theta} = \theta + \dot{\theta} \cdot c/a$$

$$\tilde{\theta} = 4,32 \cdot 10^{-07} + 4,55 \cdot 10^{-10}$$

$$\tilde{\theta} = 4,32 \cdot 10^{-07} \text{ rad.}$$

Calculamos ahora la deformación axial debida a la rotación de la base de la máquina.

Deformación axial = Distancia entre el eje neutro y la linea de rotación del cojinete de empuje

$$\delta r = 4,72 - 4,32 \cdot 10^{-07}$$

$$\delta r = 2,04 \cdot 10^{-06} \text{ pulg/lb. de empuje}$$

Deformación axial debido a flexión de la base del reductor.

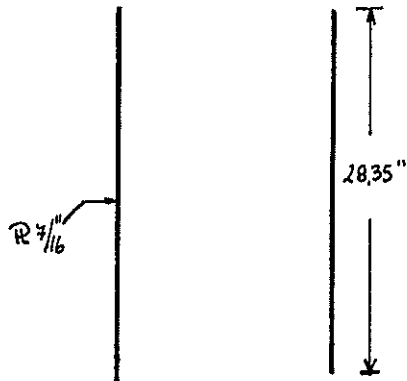
Según E203 en el caso de un cojinete de empuje ubicado en una caja reductora o que la misma hace las veces de cojinete de empuje, la deflexión por flexión

es muy pequeña comparada con la deflexión por corte y se introduce un pequeño error si la despreciamos.

Deformación axial por corte de la base del reductor.

Según [20] la deflexión por corte es resistida por los longitudinales de la base y las planchas transversales sirven para compartir la carga entre dichos longitudinales.

La sección longitudinal de la base que actúa en corte está graficada en la siguiente figura.



Sección longitudinal de la base que actúa en corte

Figura 3.32

Serán útiles los siguientes datos:

L = Altura de la base = 11,81 pulg.

A = Área donde actúa el empuje unitario = 24,6 pulg²

P = Empuje unitario = 1 lb.

G = Módulo cortante del material = 11,68 E06 lb/pulg².

Por lo tanto, según (20) la deflexión debida al corte (δC) será:

$$\delta C = -\frac{P * L}{A * G} \quad (20)$$

$$\delta C = -\frac{1 * 11,81}{24,6 * 11,68 E06}$$

$$\delta C = -4,08 E-08 \text{ pulg/lb.}$$

Rigididad de la base.

Para el efecto sumamos las deflexiones totales obtenidas y su inverso será el valor de la rigidez de la base de la máquina.

$$k_b = \frac{1}{\delta r + \delta C} \quad (31)$$

$$k_b = \frac{1}{2,924 E-08 + 4,08 E-08}$$

$$E = 4,81 \text{ E}05 \text{ lb/pulg.}$$

Rigidez longitudinal del eje.

Por definición, la rigidez es la fuerza necesaria F_0 para producir una deformación unitaria.

$$E = \frac{F \cdot A}{L}$$

$E = 30,40 \text{ E}06 \text{ lb/pulg}^2$ módulo elástico del material del eje

$A = 12,57 \text{ pulg}^2$ área de la sección del eje

$L = 106,27 \text{ pulg}$

Entonces:

$$E_0 = \frac{30,40 \text{ E}06 \cdot 12,57}{106,27}$$

$$E_0 = 35,96 \text{ E}05 \text{ lb/pulg.}$$

Calculo de la masa de la hélice mas su masa equivalente axial.

La masa de la hélice, según el capítulo uno tiene el siguiente valor:

$$P = 400 \text{ lb}_s$$

Para calcular la masa se aplica el efecto de la gravedad en la siguiente formula:

$$\text{Masa} = \rho \cdot \pi \cdot (D/2)^2 \cdot H \cdot LSC(M11)$$

donde:

$$\rho = \text{Densidad del agua} = 1.025 \text{ kg/m}^3$$

$$D = \text{Diámetro de la hélice} = 54 \text{ pulg.}$$

$$M11 = \text{Factor para calcular la masa añadida de la hélice}$$

$$LSC(M11) = \text{Factor de corrección para la masa añadida.}$$

$$M11 = -0.62948 \cdot E^{-0.1} + 0.1798 (\Delta E / \Delta D) + 0.5879 \cdot E^{-0.1} \\ (\bar{F}/\bar{D}) + 0.17684 (\Delta E / \Delta D) \cdot (\bar{F}/\bar{D}) + -0.61483 \cdot E^{-0.1} \\ (\bar{F}/\bar{D})^2 + 0.15595 (\Delta E / \Delta D) (\bar{F}/\bar{D}),$$

$$\Delta E / \Delta D = 0.55$$

$$\bar{F}/\bar{D} = 0.778$$

$$M11 = 0.6 \cdot E^{-0.2}$$

$$LSC(M11) = -0.61791 + 0.23741 (\bar{F}/\bar{D}) + 0.42253 (1/\bar{R}_B) \\ -0.43911 (1/\bar{R}_B)^2 + -0.46677 (\bar{F}/\bar{D}) / \bar{R}_B + 0.25124 (\bar{F}/\bar{D}) / \bar{R}_B^2$$

$P_{\text{M}} = 1 \text{,} 6 \text{ Kw}$

LSC (M1) = $0 \text{,} 745$

Entradas:

Masa = $295 \text{,} 04 \text{ lb}$

Masa de la redondeada = $295 \text{,} 04 \text{ lb}$

Ahora establezcamos la masa de la máquina principal mas el reducción 143 y 223

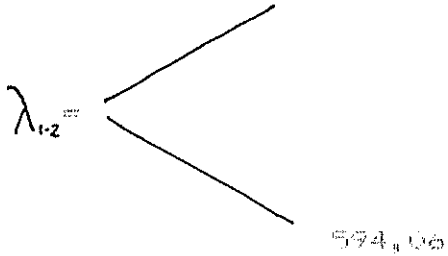
Maq = $4 \text{,} 714 \text{,} 8 \text{ lb}$,

Mred = $932 \text{,} 8 \text{ lb}$

M1 = $5 \text{,} 347 \text{,} 6 \text{ lb}$.

Con estos datos obtenidos, aplicamos la ecuación (29) obtenemos

$$\lambda_{12} = 25 \text{ E05}$$



$$\omega_1 = 474,34 \text{ rad/sq} \Rightarrow 76,0 \text{ cic./sq}$$

$$\omega_2 = 24,37 \text{ rad/sq} \Rightarrow 4,00 \text{ cic./sq.}$$

Calculemos finalmente las RPM del motor a las que habrá resonancia.

$$2,88 * 60 = \frac{\text{RPM} * Z}{n}$$

n = razón de reducción

$$\text{RPM} = 261,9 \text{ RPM}$$

Como podemos darnos cuenta, este valor está lejos de los RPM de la máquina en condiciones continuas (1,800). Al establecer un rango de operación de la máquina 50% - 110% de la velocidad angular en condiciones continuas, el valor de 261,9 RPM se localiza lejos de este rango.

Establecido lo anterior, no es necesario calcular el esfuerzo alternativo de compresión sobre el eje, debido a la vibración axial o longitudinal; ya que el valor de la velocidad angular del motor en las cuales se produce resonancia no lo amerita.

ESFUERZO ALTERNATIVO RESULTANTE.

En base a los esfuerzos obtenidos en vibración torsional, lateral y longitudinal, tomamos en cuenta, en el caso de vibración torsional, el esfuerzo más significativo, siendo el de la segunda condición resonante sexto armónico el escogido II ó

En resumen:

$$\text{Vibración torsional} \quad S_t = 289,55 \text{ lb/pulg}^2$$

$$\text{Vibración lateral} \quad S_b = 3,039,82 \text{ lb/pulg}^2$$

El esfuerzo en vibración longitudinal no es tomado en cuenta por las razones expuestas al final del subcapítulo anterior.

Para el efecto, usamos la siguiente ecuación [3]

$$S_{alt} = \sqrt{(k_b * S_b)^2 + (2 * k_t * S_t)^2} \quad (32)$$

Dónde:

k_b = Factor de concentración de esfuerzo por efecto de

Flexión

S_b = Esfuerzo en vibración lateral (lb/pulg²)

K_t = Factor de concentración de esfuerzo por torsión

S_c = Esfuerzo en vibración torsional (lb/pulg²)

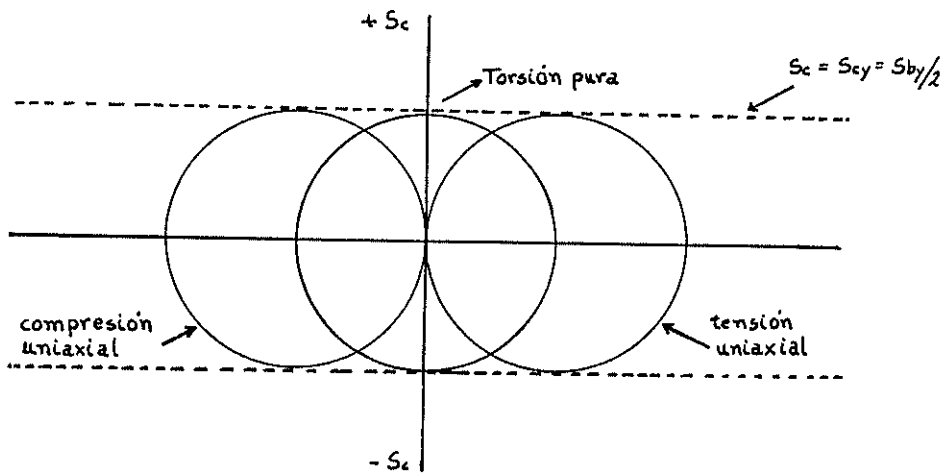
La fórmula 26 tiene su origen en la teoría del máximo esfuerzo cortante que dice lo siguiente: "Un material dúctil sometido a cualquier combinación de cargas fallará por fluencia, siempre y cuando el efectivo esfuerzo cortante exceda a la resistencia de fluencia en cortante."

Es decir:

$$S_c \text{ max} = S_{cv}$$

Observando el gráfico S.33 deducimos que el esfuerzo cortante máximo, de acuerdo a esta teoría, será igual a la mitad del valor de la resistencia de fluencia en tensión.

$$S_c \text{ max} = S_{cv} = S_b \sqrt{2}$$



Círculos de Mohr para diversas condiciones de carga

Figura 3.33

La Figura representa los círculos de Mohr de los principales estados de esfuerzos de un cuerpo que fallará por fluencia.

Al aplicar el factor de seguridad correspondiente, para cualquier material tenemos:

$$S_{by}/2 = F.S \cdot S_{c \max}$$

$$S_{by}/2 = F.S \sqrt{(S_{by}/2)^2 + (S_c)^2}$$

$$F.S = \frac{S_{by}}{\sqrt{S_{by}^2 + 2 \cdot S_c^2}}$$

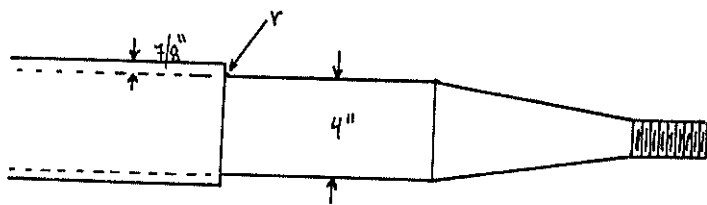
Al tomar en cuenta los factores de concentración de esfuerzos correspondientes, obtenemos la siguiente relación en un lugar determinado de cualquier

materiale.

$$\text{PS} = \frac{\text{Sby}}{(Kb+Sb)^2 + (2\%Kb+Sb)^2}$$

Siendo el denominador del segundo miembro de la ecuación, el esfuerzo alternativo resultante.

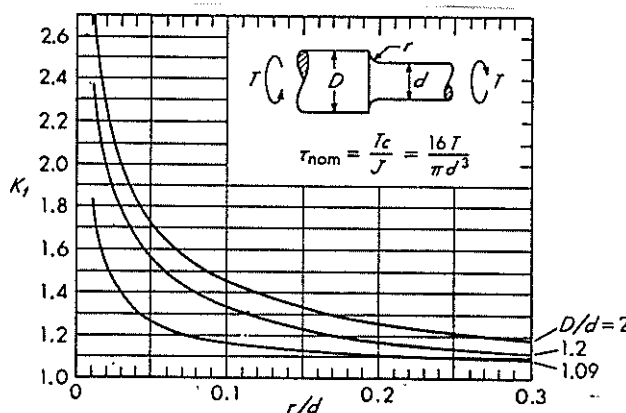
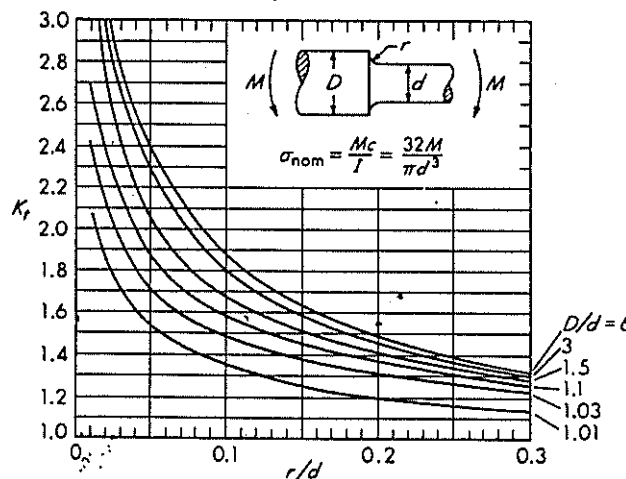
Ahora determinaremos los factores de concentración de esfuerzos para el efecto, es necesario anotar que el cálculo del esfuerzo alternativo resultante será obtenido donde termina la camisa de bronce del cojinete del tunel de popa (mirando de proa a popa).



Radio de curvatura en el extremo de la camisa

Figura 3.34

Para el efecto nos valemos del siguiente gráfico (9)



$$r = 0,03 \text{ pulg.}$$

$$d = 4 \text{ pulg}$$

$$D = 4,875 \text{ pulg}$$

F. de concentración de esf. en flexión y torsión

Figura 3.35

Por lo tanto:

$$K_b = 4,00$$

$$K_t = 3,2$$

Entonces, aplicando la fórmula 32.

$$\sigma_{\text{esf}} = \sqrt{(4,00 * 3,2 * 88,82)^2 + (2 * 3,2 * 269,55)^2}$$

$$\sigma_{\text{esf}} = 12,493,48 \text{ lb/pulg}^2$$

CAPITULO 4

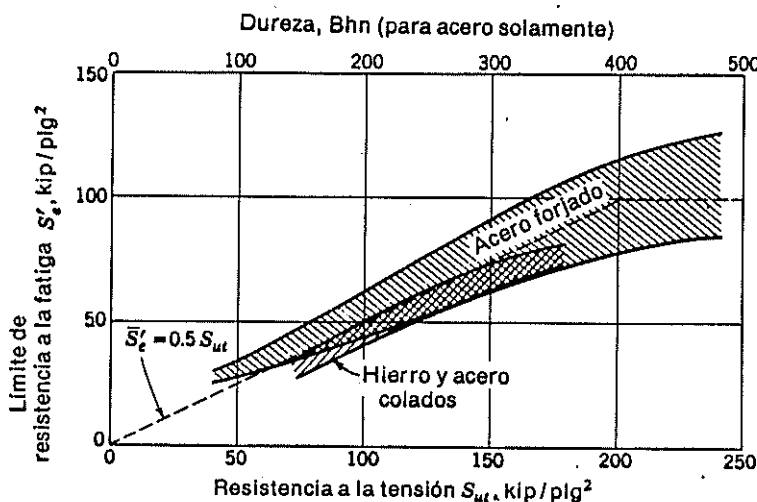
ANALISIS DE FATIGA

4.1.- CALCULO DEL LIMITE DE RESISTENCIA A LA FATIGA.

Más de las cargas estáticas que actúan en el eje, se presentan los esfuerzos alternativos que varían entre determinados valores. Por ejemplo una fibra particular de la superficie del eje, sometida a la acción de cargas de flexión, pase por esfuerzos de tensión y compresión en cada revolución del eje. Como este gira a 1.800/4,5 RPM, en condiciones continuas, la fibra es forzada en tensión y compresión 1.800x4,5 veces por minuto. Esto en cualquier fibra ocurriría un esfuerzo que seguiría siendo fluctuante, pero que oscilaría entre valores diferentes. Estos y otras clases de cargas que ocurren en el eje producen esfuerzos que se llaman repetidos o alternantes.

En muchos casos hay que analizar elementos de máquina que han fallado bajo la acción de esfuerzos repetidos o fluctuantes. La característica más notable de estos fallas ha sido que los esfuerzos se repitieron un número grande de veces. Este tipo de fallas se denomina falla por Fatiga.

Para determinar la resistencia de materiales bajo la acción de cargas fluctuantes, se realizan ensayos como el de la viga rotatoria a velocidad, de R. R. Moore. En estas pruebas, probetas se someten a flexión pura por medio de pesos cuando ésta gira y así, se cuentan los ciclos de esfuerzos que soporta el material hasta la falla o ruptura. El objetivo es saber si existe una relación general entre el límite de resistencia a la fatiga y las resistencias obtenidas de un ensayo simple a la tensión. Cuando se efectúa una investigación en la que se utilizan grandes cantidades de datos obtenidos en pruebas de tensión y en pruebas con la viga rotatoria, se halla que existe ciertamente una relación entre los resultados obtenidos en estos dos tipos de prueba. Dicha relación se puede observar en la figura 4.1, referencia 173.



Relación entre la resistencia a la tensión y el límite de fatiga en aceros.

Figura 4.1

Al analizar la figura, se encuentra que cuando se trate de aceros, el límite de resistencia a la fatiga varía desde, aproximadamente un 40% a un 60% de la resistencia a la tensión, hasta aproximadamente el valor de $S_{ut} = 200$ Kip/pulg² (14,000 kg/cm²). Por esta razón es preferible utilizar las siguientes relaciones para predecir el límite de resistencia a la fatiga de las probetas giratorias. (17):

$\bar{S}_e^* = 0,5 \bar{S}_{ut}$ para $\bar{S}_{ut} \leq 2,00 \text{ E05 lb/pulg}^2$

$\bar{S}_e^* = 1,00 \text{ E05 lb/pulg}^2$ para $\bar{S}_{ut} \geq 2,00 \text{ E05 lb/pulg}^2$

Factores que modifican el Límite de Resistencia a la Fatiga.

El límite de Resistencia a la fatiga, S_e de un elemento de máquina, puede ser considerablemente más pequeño que el límite de resistencia a la fatiga S_e^* de la probeta para la viga rotatoria. Esta diferencia se puede tomar en cuenta empleando una variedad de factores de modificación, cada uno de los cuales corresponde a un efecto por separado:

$$S_e = k_a * k_b * k_c * k_d * k_e * S_e^* \quad (1)$$

dónde:

S_e = Límite de resistencia a la fatiga del sistema propulsor.

S_e^* = Límite de resistencia a la fatiga de la muestra

de viga rotatoria.

k_a = Factor de superficie

k_b = Factor de tamaño

k_c = Factor de confiabilidad

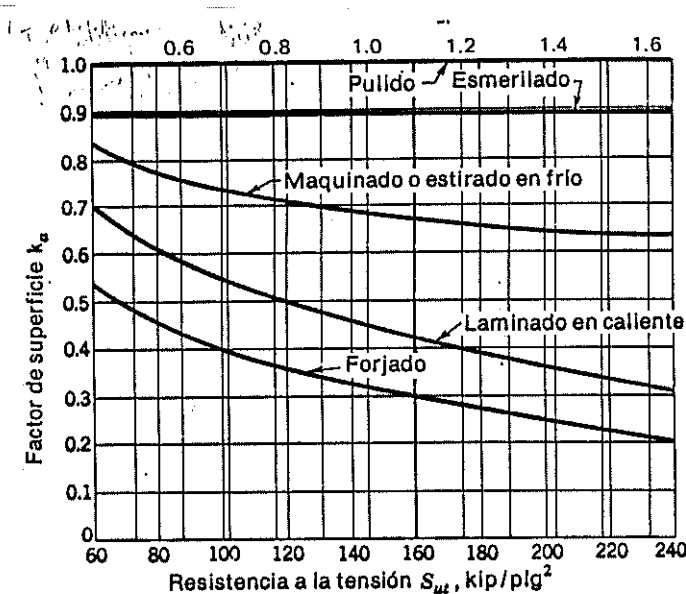
k_d = Factor de temperatura

k_e = Factor de efectos diversos

Acabado de superficie.

La superficie de la probeta de la viga rotatoria utilizada en los ensayos, está perfectamente pulida y recibe un pulimento final en dirección axial, para eliminar cualquier rayadura circumferencial. Obviamente, la mayor parte de los elementos de máquina no tienen esta alta calidad de acabado.

Los factores de modificación k_a , que se muestran en la figura 4.2, dependen de la calidad del acabado y de la resistencia a la tensión. [17].



Factores que modifican el acabado del acero

FIGURA 4.2

Para nuestro caso tomamos un valor de 1,00, ya que el eje ha sido pulido.

$$k_R = k_s k_f$$

Factor de tamaño.

El ensayo de viga rotatoria da el límite de resistencia a la fatiga para una probeta de 0,30 pulgadas de diámetro. Cuando son probetas de mayor tamaño las que

se ensayan a esfuerzos que se invierten completamente en flexión o en torsión, se halla que el límite de resistencia a la fatiga es de 10 a 15% menor, para probetas hasta de 2 pulg. Cuando se trata de muestras de diámetro mayor que 2 pulg., el límite de resistencia a la fatiga puede ser hasta 25% menor.

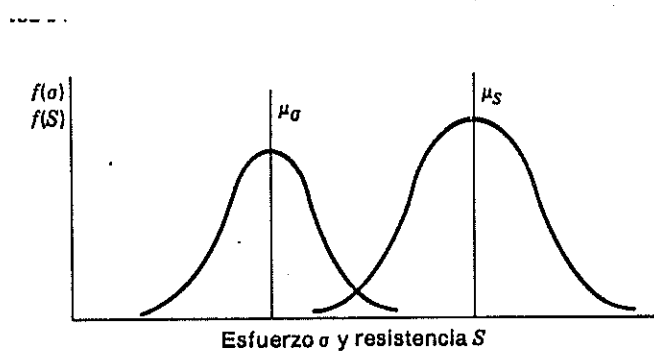
La distribución triangular del esfuerzo, en el caso de flexión y de torsión, es muy similar a la distribución del esfuerzo en una barra ranurada. Es decir, la flexión y la torsión se asemejan a la concentración de esfuerzo. Es probable que esto -junto con el hecho de que una probeta grande probablemente tendrá más defectos de superficie que una pequeña- sea lo que explique la reducción de los límites de resistencia a la fatiga en torsión y en flexión debido al tamaño.

Por lo tanto, para los casos de flexión y torsión, referencia [17], k_b debe seleccionarse en la forma siguiente:

	1	$d \leq 0,30$ pulg
$k_b =$	0,85	$0,30 \leq d \leq 2$ pulg
	0,75	$d \geq 2$ pulg

Confiabilidad.

Para definir el significado exacto de la confiabilidad, se supondrá que se tiene un gran grupo o población de elementos mecánicos. Se puede asociar cierta resistencia S_r y cierto esfuerzo σ_s a cada pieza. Pero como hay un gran número de ellas, existe una población de resistencias y una de esfuerzos. Estas dos poblaciones podrían tener distribuciones semejantes a las mostradas en la figura 4.3.



Distribución de esfuerzos y resistencias

Figura 4.3

Utilizando la siguiente notación, se designará por μ_σ y σ_σ a la media y a la desviación standard del esfuerzo,

mientras que se usan para el esfuerzo la media y la desviación standard de la resistencia. Aunque la resistencia es generalmente mayor que el esfuerzo, la figura de arriba muestra que el extremo de la derecha de la distribución del esfuerzo puede traslaparse con el extremo de la izquierda de la distribución de las resistencias y, por lo tanto, originar algunas fallas. Para determinar la confiabilidad, se combinan las dos poblaciones mediante las ecuaciones siguientes. La población combinada tendrá entonces un valor medio y una desviación standard iguales a:

$$\mu = \mu_{SR} + \mu_S \quad \hat{\sigma} = \sqrt{\hat{\sigma}_{SR}^2 + \hat{\sigma}_S^2}$$

La variable estandarizada correspondiente Zr es:

$$Zr = \frac{\mu}{\hat{\sigma}} = \frac{\mu_{SR} + \mu_S}{\sqrt{\hat{\sigma}_{SR}^2 + \hat{\sigma}_S^2}}$$

Entrando con este valor de Zr en la tabla No. 7 (Apéndice), se puede hallar el área Az bajo la curva de distribución normal, correspondiente a la población combinada. Luego entonces la confiabilidad P_{res}

$$R = \bar{O}_s \dot{\theta} + \theta z$$

(2)

La ecuación 2 permite determinar la variable estandarizada Z_r , correspondiente a una confiabilidad deseada. Por lo tanto, mediante la tabla No 3 se halla $Z_r = 1,288$, para 90% de confiabilidad ($R=0,90$) y $\theta z = 0,400$.

Con solo ver la tabla No 3 (Apéndice) se notará que no es probable que la desviación standard del límite de resistencia a la fatiga de aceros exceda de 6%. De hecho, los datos presentados también muestran desviaciones standares menores que 6%. Esto significa que para obtener el límite de resistencia a la fatiga correspondiente a una confiabilidad específica R , sólo hay que restar cierto número de desviaciones standares del límite medio de resistencia a la fatiga. Por lo tanto, el factor de confiabilidad k_c es:

$$k_c = 1 - 0,088 Z_r$$

(3)

La tabla 3 presenta la variable estandarizada Z_r , correspondiente a las diversas confiabilidades que se requieren en el diseño, junto con el respectivo factor

de confiabilidad k_c , calculado a partir de la ecuación 3,

Tabla 5-2 FACTORES DE CONFIABILIDAD k_c , CORRESPONDIENTES A UNA DESVIACIÓN ESTÁNDAR DE 8% DEL LÍMITE DE FATIGA

Confiabilidad R	Variable estandarizada z_R	Factor de confiabilidad k_c
0.50	0	1.000
0.90	1.288	0.897
0.95	1.645	0.868
0.99	2.326	0.814
0.999	3.091	0.753
0.9999	3.719	0.702
0.99999	4.265	0.659
0.999999	4.753	0.620
0.9999999	5.199	0.584
0.99999999	5.612	0.551
0.999999999	5.997	0.520

Tabla No. 3

Efectos de Temperatura.

Como factor de temperatura para los aceros se usa el valor (para temperaturas en grados Fahrenheit):

$$k(t) = \frac{0.20}{450 + T} \quad (4)$$

Cuando $T = 160^{\circ}\text{F}$ y de otra manera se considera que $k_d = 1$.

Efectos diversos.

Uno de los motivos para emplear k_e es tomar en cuenta la reducción en el límite de resistencia a la fatiga, debida a todos los otros efectos; sin embargo, la verdadera razón de usarlo es que sirve como recordatorio de que deben considerarse dichos efectos, pues no se dispone de valores reales de k_e .

Como efectos diversos podemos tomar en cuenta la corrosión, ya que al ataque o picadura de la superficie a causa del material corrosivo, la pieza sufre una disminución en su resistencia a la fatiga. Igual cosa podemos decir de los revestimientos metálicos, recubrimientos como el cromado, níquelado o el cadmizado; reducen el límite de fatiga hasta en 35%. En algunos casos, la reducción de aquél, por efecto del revestimiento, ha llegado a ser tan grave, que resultó necesario eliminar el proceso de revestimiento.

Si no se dice otra cosa, es aconsejable tomar valores

de la entre 1,00 - 0,9, especialmente para piezas sometidas a esfuerzos de flexión.

Siendo así, tenemos los siguientes resultados:

$$\text{Se}^e = 0,5 \times \text{Sut}$$

$$\text{donde Sut} = 70,000 \text{ lb/pulg}^2$$

$$\text{Se}^e = 35,000 \text{ lb/pulg}^2$$

$$k_a = 1$$

$$k_b = 0,75$$

$$k_c = 0,877 \text{ para una confiabilidad de } 90\%$$

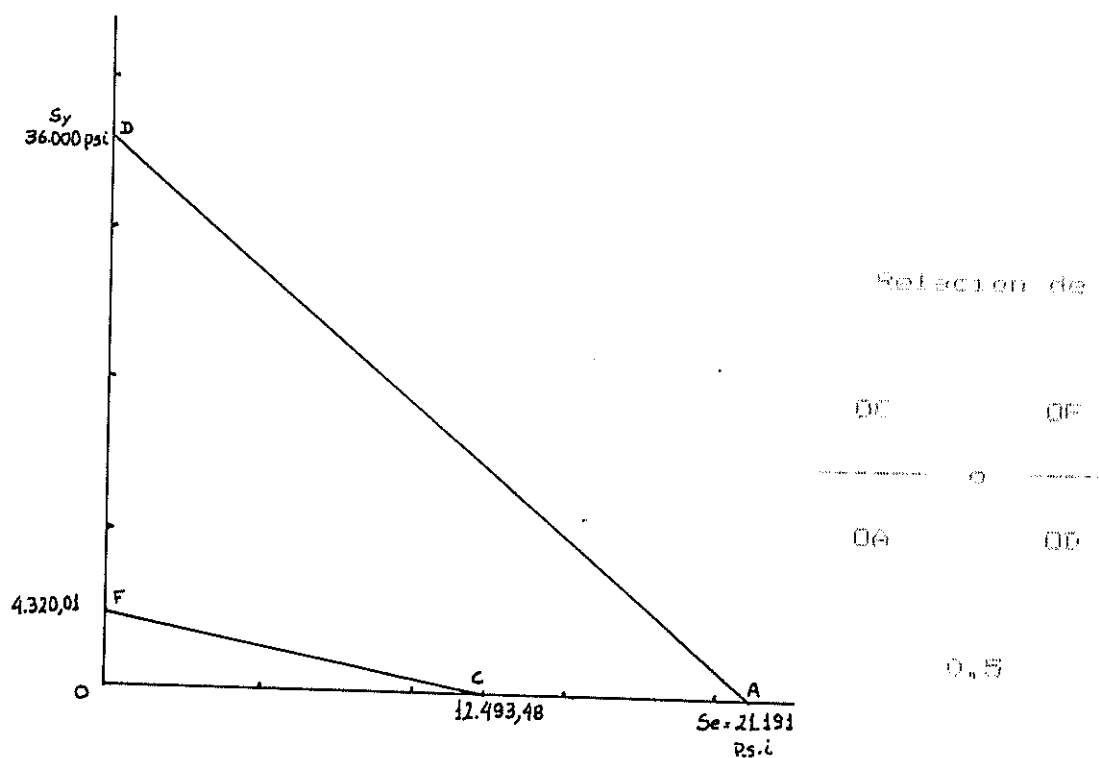
$$k_d = 1$$

$$k_e = 0,9$$

Entonces:

$$\text{Se}^e = 21,191,63 \text{ lb/pulg}^2$$





Relación entre esfuerzos estáticos y alternativos

Figura 4.4

Analizemos ahora los resultados haciendo uso del Diagrama de Goodman modificado, que es un gráfico parecido al anterior, ya que en el eje de las ordenadas están ubicados los esfuerzos alternativos y es donde se determina el Límite de Resistencia a la Fatiga, mientras que en el de las abscisas se ubican los

esfuerzos estáticos.

La Línea de Goodman modificada es la que une el Límite de Resistencia a la Fatiga con el esfuerzo último de tensión, los puntos de falla se ubicarán sobre la Línea de Goodman; mientras que bajo ella, los puntos en los que no es posible una falla con su Factor de Seguridad correspondiente.

Para tener un criterio bien formado de esta situación obtengamos el Factor de Seguridad resultante de los esfuerzos estáticos frente al Esfuerzo de Fluencia y de los Esfuerzos Alternativos Resultantes frente al límite de fatiga correspondiente.

Para el efecto hacemos uso de la siguiente fórmula C33

$$\frac{F_S}{S_F} = \frac{S_F}{S_e} = F_S = 1,40$$

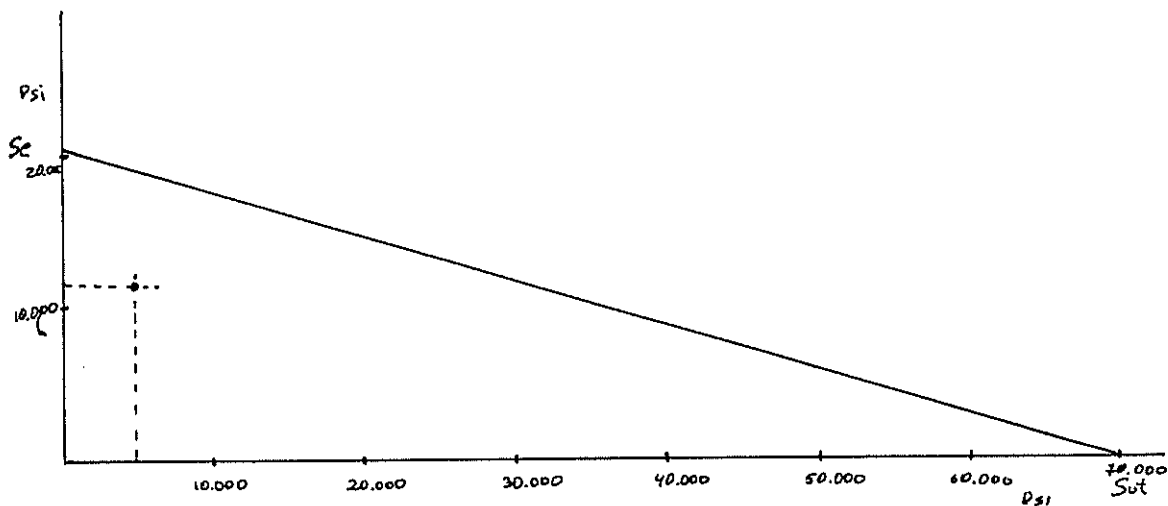


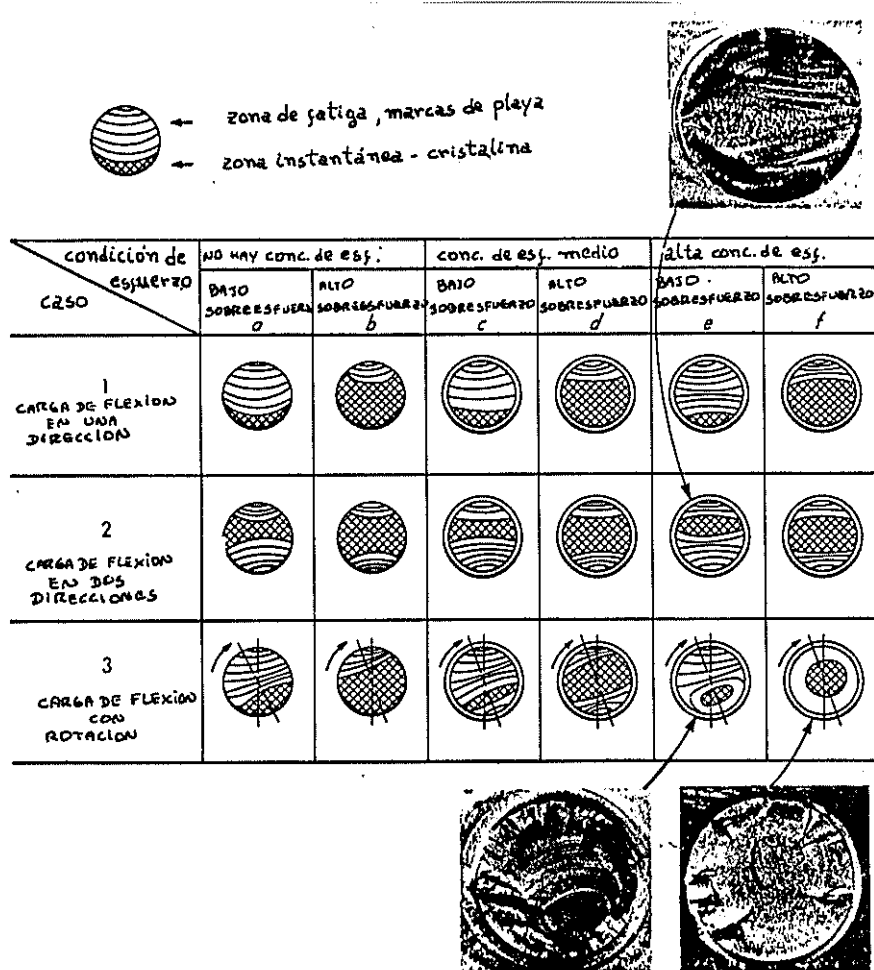
Diagrama de Goodman modificado

Figura 4.5

4.3. - ANÁLISIS DE LOS RESULTADOS. -

Al observar con detenimiento la sección del eje donde ha ocurrido la fractura podemos darnos cuenta de las MARCAS DE PLAYA, muy características cuando se trata de fallas por fatiga. A continuación presentamos un gráfico que muestra distintas secciones de ejes

malogrados y los tipos de carga que provocaron la ruptura, nuestro caso es comparable con 3e



Casos caracteristicos de falla de fatiga en ejes.

Figura 4.6

Este falla por fatiga se debe, en especial, a la acción de esfuerzos de vibración lateral, prueba de ello es la dirección del plano de corte con relación al eje

neutro del eje propulsor (forman un ángulo de 90°); es decir, han predominado esfuerzos axiales. (Cuando el ángulo formado es de 45° , el predominio es de los esfuerzos vibratorios torsionales).

Especial atención merece el Factor de Concentración de esfuerzos; ya que el momento en que se produce resonancia en vibración lateral, producto de la igualdad entre la frecuencia exibitiva de la hélice y la frecuencia natural del sistema, el daño empieza en las zonas de mayor concentración de esfuerzos, justo en los extremos de las camisas de bronce, donde el radio de curvatura es pequeño ($\approx 0,03"$) dando origen a factores altos: 4,00 para análisis longitudinal y 3,00 para torsional.

Finalmente al analizar el factor de seguridad del sistema en las condiciones de trabajo ya establecidas, este resulta pequeño, producto de la influencia del esfuerzo en vibración lateral en el esfuerzo alternativo resultante. UN VALOR RECOMENDADO PARA EL FACTOR DE SEGURIDAD ES DE 2,00 QUE AL SER COMPARADO CON EL 1,40 OBTENIDO EN EL CASO ANALIZADO NOS PERMITE CONCLUIR QUE PROBABLEMENTE LOS PROBLEMAS DADOS SE DEBEN A EXCESIVO EFUERZO AXIAL VIBRATORIO.

CAPITULO 5

MODIFICACIONES RECOMENDADAS EN EL SISTEMA PROPULSOR

5.1.- RECOMENDACIONES

Luego de haber obtenido los resultados de este estudio, se estima que las recomendaciones más idóneas para evitar el daño de los ejes son las siguientes:

- 1) Evitar la concentración de esfuerzos en los extremos de las camisas de bronce, adoptando un radio de curvatura aceptable, que puede ser 0,2 pulg.. Con este valor, el factor de concentración de esfuerzos en flexión será $K_b = 1,95$ y en torsión $K_t = 1,4$.
- 2) Prolongar lo más posible, la longitud de la camisa popel del eje hacia la hélice; para disminuir la longitud efectiva (0,3m) del eje en cantiálibro y reducir así el esfuerzo en vibración lateral y por ende, el esfuerzo alternativo resultante.

Una buena alternativa es encamisar el eje de cota a lo largo del túnel, aumentando así, el diámetro del mismo.

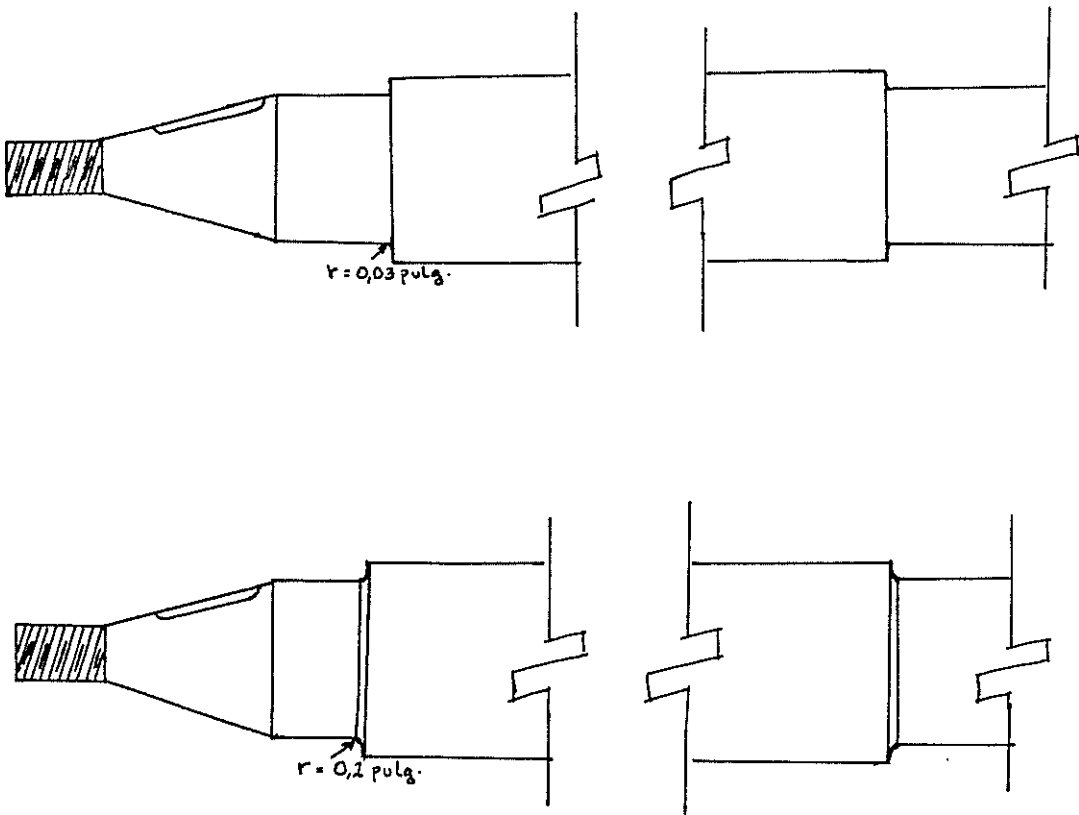
3) Otra posible recomendación es seleccionar para este tipo de embarcación, helices con el número de palas incrementado, pueden ser cinco. De esta manera en una posible condición resonante en vibración lateral, la velocidad crítica del motor disminuirá, encontrándose el sistema propulsor fuera de peligro ante una falla que le cause un daño permanente.

En este caso la velocidad crítica del motor sería 1500 rpm.

4) No se hace mención de un acople flexible (anortiguador de vibraciones) en la linea de eje, usado para evitar problemas de vibración torsional, ya que en primer lugar, dicho tipo de vibración no incide mayormente en los resultados obtenidos; además, en la unión entre el reducción y el motor principal existen, en este tipo de motor, 32 acoplos o acoplos que contribuyen a disminuir los efectos de la vibración torsional.

5.1. -DESCRIPCION DEL SISTEMA PROPULSOR MODIFICADO

En base a las recomendaciones presentadas en el subcapítulo anterior, a continuación se presenta un esquema de los cambios propuestos para el sistema propulsor:



Sistema propulsor modificado

Figura 5.1

5.3. -ESFUERZOS RESULTANTES EN EL SISTEMA PROPULSOR MODIFICADO

Al recomendar el valor para el radio de curvatura en los extremos de la camisa de bronce en el eje, dicho valor influirá solamente en el esfuerzo alternativo resultante; y este a su vez en el factor de seguridad resultante.

Considerando los datos:

$$r = 0,2 \text{ pulg.}$$

$$d = 4 \text{ pulg.}$$

$$D = 4,675 \text{ pulg.}$$

De la figura 3.35 obtenemos los siguientes valores de factor de concentración de esfuerzo, para flexión y torsión.

$$k_b = 1,95$$

$$k_t = 1,4$$

Aplicando la fórmula (3.32) tenemos el valor del esfuerzo alternativo resultante

$$\sigma_{\text{car}} = 6,077,52 \text{ lb/pulg}^2$$

Posteriormente, mediante la fórmula (4.5) se calcula el nuevo Factor de Seguridad para el eje. Recuérdese que los Esfuerzos Estáticos y Vibratorios en sus valores bases no han sufrido alteración alguna.

$\frac{1}{F_S}$	$\frac{\sigma_{\text{car}}}{S_y}$	$\frac{\sigma_{\text{car}}}{S_e}$
1	4,320,01	6,077,52
F_S	26,000,00	21,191,63

F_S	=	2,46
-------	---	------

Este valor es superior al de 2 que es el que normalmente se recomienda en instalaciones marinas, de manera que se estima que se habrá superado el problema.

CONCLUSIONES Y RECOMENDACIONES

Durante este estudio se han tratado los esfuerzos estáticos, así como también se ha desarrollado un análisis de Fatiga del eje propulsor de los dos remolcadores en problema. Habiendo analizado los resultados, se han establecido las modificaciones recomendadas, que a criterio del autor, servirán para evitar en lo sucesivo dichas fallas.

Se considera que el orden en que se ha llevado esta Tesis, podrá servir como guía para estudios similares a realizarse posteriormente. Se puede adaptar a instalaciones propulsoras de embarcaciones de una hélice y para cualquier tipo de motor de combustión interna de dos o cuatro tiempos, de bielas enterizas o con cruceta, patín y corredora, de cilindros en "V" o en linea, etc.

Reiterando lo determinado en el Capítulo 4, la causa por la cual los ejes de los Remolcadores "Tomino" y "Tortugo" sufren fracturas, se debe a la acción de

Esfuerzos Vibratorios Laterales. Este efecto se ve acentuado por un Factor de Concentración de Esfuerzos en los extremos de las camisas de bronce del eje. Esto produce daños por Fatiga en forma progresiva. Prueba de ello son las Marcas de Playa que se presentan en la cara seccionada del eje, hasta llegar a un punto de ruptura inminente. Además recuérdese que la dirección de rotura es perpendicular al eje, como señal de que los esfuerzos axiales son los causantes del daño.

De las modificaciones recomendadas en el Capítulo 5, se estima que la más viable desde el punto de vista económico y de disponibilidad de tiempo, es la de establecer un radio de curvatura de aproximadamente 0,2 pulgadas en la discontinuidad de la sección del eje, en ambos extremos de la camisa (tanto en la de proa como en la de popa). En este forma, disminuirá el Factor de Concentración de Esfuerzos y por lo tanto el Esfuerzo Alternativo Resultante. En caso de que el problema no pueda resolverse, sera necesario cambiar el número de pales de la hélice, evitando la condición resonante en Vibración Lateral.

En forma experimental fueron tomados varios niveles de

vibración en el Remolcador "Tortuga", cuyos resultados no nos dieron una idea clara del asunto debido a que el transductor (acelerómetro) debió ser colocado en el eje donde los esfuerzos son significativos, esto es, en las inmediaciones de las discontinuidades seccionales del eje en la camisa de popa. Sin embargo se tuvo que colocar el acelerómetro en el prense estopa, debido a que no se posee un aparato que mida niveles de vibración en ejes que estén en rotación. Si a esto le añadimos el hecho que el motor diesel es una fuente poderosa de vibraciones, se explica el porque las lecturas no pudieron mostrar una comprobación de los cálculos aquí desarrollados.

Como resultado de las conclusiones vertidas en esta tesis, podemos decir que al investigar la causa de una rotura en un eje propulsor hay que considerar principalmente los siguientes aspectos:

1) La dirección del plano de la rotura con respecto a las líneas de eje ($\pm 45^\circ$, 90° , etc.). Esto nos dará a conocer el tipo de esfuerzo que ha predominado en la ruptura del eje; como sabemos, a 45° han predominado esfuerzos de corte, mientras que a 90° de tipo axial.

-El sitio donde ocurre la rotura, con respecto al eje. Lo cual nos dará a conocer si es que los esfuerzos resultantes se verán o no acentuados por un factor de concentración de los mismos.

-Realizar una inspección visual en la cara seccionada del eje, lo que nos permitirá determinar si el material ha sufrido daño progresivo por fatiga o la ruptura ha sido instantánea. En el primer caso se podrá observar las marcas de pliegue que son una especie de círculos concéntricos muy regulares, mientras que en el segundo caso se presenta una zona rugosa, áspera.

APENDICE

TABLA DE FRECUENCIA

$N_{R1} = 1,205 \times 5 \text{ rpm}$ $M_{000} \text{ Nm}$ $\omega_0 = 136,75 \text{ rad/s}$

Est. No	Inercia rel	Amp. el	Torque inercial (E05)	Torque en el en el.	J _{el} (E05)	Fac. Nom de est.	Fac. Nom de est.	Eje
1	2	3	4	5	6	7		
(kgf·cm·s ²) (rad.)	(kgf·cm)	(kgf·cm)	(kgf·cm·s ²)	(kgf/cm ²)				
1	2,52	1,000	0,471	0,471	2,52	160,50		
2	2,52	0,996	0,469	0,474	2,52	160,50		
3	2,52	0,988	0,466	1,41	2,46	430,90		
4	2,52	0,977	0,460	1,87	2,405	537,50		
5	2,52	0,962	0,453	2,22	2,33	791,27		
6	2,52	0,943	0,444	2,76	2,24	981,33		
7	21,00	0,920	3,612	17,77				
8	1,00	0,910	0,170	6,37	0,83	2172,50		
9	11,00	-3,1026	-6,547	6,54	0,83	14236,41		
					111,416			

TABLA No 4

TABLA DE FRECUENCIA

Nr = $\phi \cdot 305,1 \text{ rpm}$ MODO No 2 $\omega_e = 660,27 \text{ rad/sq}$

1	2	3	4	5	6	7
Est. No	Inercia rel.	Emp.	Forque Inercial (EOG)	Torque en el (EOG)	Jes	Fac. Nom en el (EOG)
	$(\text{kgf} \cdot \text{cm}) \cdot \text{sg}$	$(\text{kgf} \cdot \text{cm})$	$(\text{kgf} \cdot \text{cm})$	$(\text{kgf} \cdot \text{cm} \cdot \text{sg})$	(kgf/cm^2)	
1	2,52	1,000	1,10	2,52	3,75E+03	
2	2,52	0,910	1,00	2,09	2,15E+03	
3	2,52	0,738	0,81	2,10	1,37	
4	2,52	0,500	0,55	2,91	9,92E+03	
5	2,52	0,216	0,24	3,46	0,012	
6	2,52	-0,087	-0,01	3,7	0,013	
7	21,00	-0,382	-3,50	3,60	0,06	
8	1,00	-0,384	-0,167	0,102	5,98E+04	
9	11,00	0,133	0,064	-0,065	0,15	1,36E+03
					1,9E+03	

TABLA NO 5

TABLA DE FRECUENCIA

 $\text{Mn} = 15,564 \text{ grpm}$

MODO N° 3

 $\omega_e = 1,603,77 \text{ rad/sec}$

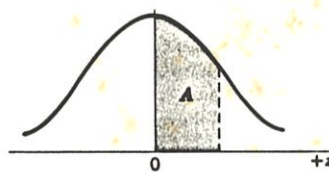
1	2	3	4	5	6	7
---	---	---	---	---	---	---

Est. N°	Inercia rel.	Amp. el.	Torque inicial (E06)	Torque en el eje	J ₃₃ en el eje (E06)	Fac. Nom en el (E06)
1	2,52	1,000	6,52	2,52	0,022	
2	2,52	0,463	3,04	0,55	0,033	
3	2,52	-0,313	-2,03	0,26		
4	2,52	-0,932	-6,08	2,47	0,026	
5	2,52	-1,047	-6,03	1,40	0,026-0,3	
6	2,52	-0,602	-3,93	0,53	0,019	
7	21,00	0,164	3,94	3,6	0,032	
8	1,00	0,171	0,44	-0,42	1,426-0,3	
9	11,00	-0,001	-0,023	0,02	0,026-0,4	
					1,1E-05	

TABLA N° 6

Tabla A-14 AREAS BAJO LA CURVA DE DISTRIBUCION NORMAL ESTANDAR

$$A = \int_0^z \frac{1}{\sqrt{2\pi}} e^{-z^2/2} dz$$



z	0	1	2	3	4	5	6	7	8	9
0.0	0.0000	0.0040	0.0080	0.0120	0.0160	0.0199	0.0239	0.0279	0.0319	0.0359
0.1	0.0398	0.0438	0.0478	0.0517	0.0557	0.0596	0.0636	0.0675	0.0714	0.0754
0.2	0.0793	0.0832	0.0871	0.0910	0.0948	0.0987	0.1026	0.1064	0.1103	0.1141
0.3	0.1179	0.1217	0.1255	0.1293	0.1331	0.1368	0.1406	0.1443	0.1480	0.1517
0.4	0.1554	0.1591	0.1628	0.1664	0.1700	0.1736	0.1772	0.1808	0.1844	0.1879
0.5	0.1915	0.1950	0.1985	0.2019	0.2054	0.2088	0.2123	0.2157	0.2190	0.2224
0.6	0.2258	0.2291	0.2324	0.2357	0.2389	0.2422	0.2454	0.2486	0.2518	0.2549
0.7	0.2580	0.2612	0.2642	0.2673	0.2704	0.2734	0.2764	0.2794	0.2823	0.2852
0.8	0.2881	0.2910	0.2939	0.2967	0.2996	0.3023	0.3051	0.3078	0.3106	0.3133
0.9	0.3159	0.3186	0.3212	0.3238	0.3264	0.3289	0.3315	0.3340	0.3365	0.3389
1.0	0.3413	0.3438	0.3461	0.3485	0.3508	0.3531	0.3554	0.3577	0.3599	0.3621
1.1	0.3643	0.3665	0.3686	0.3708	0.3729	0.3749	0.3770	0.3790	0.3810	0.3830
1.2	0.3849	0.3869	0.3888	0.3907	0.3925	0.3944	0.3962	0.3980	0.3997	0.4015
1.3	0.4032	0.4049	0.4066	0.4082	0.4099	0.4115	0.4131	0.4147	0.4162	0.4177
1.4	0.4192	0.4207	0.4222	0.4236	0.4251	0.4265	0.4279	0.4292	0.4306	0.4319
1.5	0.4332	0.4345	0.4357	0.4370	0.4382	0.4394	0.4406	0.4418	0.4429	0.4441
1.6	0.4452	0.4463	0.4474	0.4484	0.4495	0.4506	0.4515	0.4525	0.4535	0.4545
1.7	0.4554	0.4564	0.4573	0.4582	0.4591	0.4599	0.4608	0.4616	0.4625	0.4633
1.8	0.4641	0.4649	0.4656	0.4664	0.4671	0.4678	0.4686	0.4693	0.4699	0.4706
1.9	0.4713	0.4719	0.4726	0.4732	0.4738	0.4744	0.4750	0.4756	0.4761	0.4767
2.0	0.4772	0.4778	0.4783	0.4788	0.4793	0.4798	0.4803	0.4808	0.4812	0.4817
2.1	0.4821	0.4826	0.4830	0.4834	0.4838	0.4842	0.4846	0.4850	0.4854	0.4857
2.2	0.4861	0.4864	0.4868	0.4871	0.4875	0.4878	0.4881	0.4884	0.4887	0.4890
2.3	0.4893	0.4896	0.4898	0.4901	0.4904	0.4906	0.4909	0.4911	0.4913	0.4916
2.4	0.4918	0.4920	0.4922	0.4925	0.4927	0.4929	0.4931	0.4932	0.4934	0.4936
2.5	0.4938	0.4940	0.4941	0.4943	0.4945	0.4946	0.4948	0.4949	0.4951	0.4952
2.6	0.4953	0.4955	0.4956	0.4957	0.4959	0.4960	0.4961	0.4962	0.4963	0.4964
2.7	0.4965	0.4966	0.4967	0.4968	0.4969	0.4970	0.4971	0.4972	0.4973	0.4974
2.8	0.4974	0.4975	0.4976	0.4977	0.4977	0.4978	0.4979	0.4979	0.4980	0.4981
2.9	0.4981	0.4982	0.4982	0.4983	0.4984	0.4984	0.4985	0.4985	0.4986	0.4986
3.0	0.4987	0.4987	0.4987	0.4988	0.4988	0.4989	0.4989	0.4989	0.4990	0.4990
3.1	0.4990	0.4991	0.4991	0.4991	0.4992	0.4992	0.4992	0.4992	0.4993	0.4993
3.2	0.4993	0.4993	0.4994	0.4994	0.4994	0.4994	0.4994	0.4995	0.4995	0.4995
3.3	0.4995	0.4995	0.4995	0.4996	0.4996	0.4996	0.4996	0.4996	0.4996	0.4997
3.4	0.4997	0.4997	0.4997	0.4997	0.4997	0.4997	0.4997	0.4997	0.4997	0.4998
3.5	0.4998	0.4998	0.4998	0.4998	0.4998	0.4998	0.4998	0.4998	0.4998	0.4998
3.6	0.4998	0.4998	0.4999	0.4999	0.4999	0.4999	0.4999	0.4999	0.4999	0.4999
3.7	0.4999	0.4999	0.4999	0.4999	0.4999	0.4999	0.4999	0.4999	0.4999	0.4999
3.8	0.4999	0.4999	0.4999	0.4999	0.4999	0.4999	0.4999	0.4999	0.4999	0.4999
3.9	0.5000	0.5000	0.5000	0.5000	0.5000	0.5000	0.5000	0.5000	0.5000	0.5000

TABLA No. 7



Tabla 5-1 DESVIACIONES ESTANDARES DEL LIMITE DE FATIGA*

Material †	Resistencia a la tensión		Límite de fatiga		Desviación estándar	
	MPa	kip/plg ²	MPa	kip/plg ²	kip/plg ²	%
43400, acero	965	140	489	71	3.5	4.9
	1310	190	586	85	6.7	7.8
	1580	230	620	90	5.3	5.9
	1790	260	668	97	6.3	6.5
43400, acero	2070	300	689	100	4.4	4.4
6Al6Ti, aleación de titanio, serie,	1000	145	579	84	5.4	6.4
6V7Cr, aleación de aluminio	524	76	186	27	1.6	6.0
6Al6Cu, bronce de aluminio	806	117	331	48	4.5	9.4
17Al, cobre berilio	1210	175	248	36	2.7	7.5

TABLA No. 6

PROGRAMA HULZER ANALISIS DE VIBRACION TORSIONAL
 PROGRAMADO POR MATILDE CASTANEDA Y MARIL ROMAN
 FEBRERO / 1986

ESTE PROGRAMA CALCULA LAS FRECUENCIAS NATURALES Y MODOS DE
 VIBRACION DE UN SISTEMA CON INERCIAS (y MASAS) EN LINEA.
 PARA ELLA EMPLEA EL METODO DE HULZER QUE PRESENTA UNA E-
 CUACION RECURSIVA PARA CALCULAR EL MODELO DE VIBRACION, Y UNA
 ECUACION DE CHEQUEO PARA DETERMINAR SI LA FRECUENCIA ASUMIDA ES UNA FRECUENCIA NATURAL.

```

REAL#8 Iw,RES2,Ab,w
REAL JI(20),KI(20),JIw,Iw1
DIMENSION A1(20),AMODU(10,20),WNAT(20)

```

VARIABLES UTILIZADAS

NDATUS NUMERO DE INERCIAS (DISCOS) DEL SISTEMA
 JI(I) INERCIA POLAR
 wMAX MAXIMA FRECUENCIA DE PRUEBA
 KI(I) RIGIDEZ TORSIONAL

LECTURA DE DATOS

```

READ(2,* )NDATUS
READ(2,* )(JI(I),I=1,NDATUS)
READ(2,* )wMAX
READ(2,* )(KI(I),I=1,NDATCS-1)
WRITE(6,300)

```

300 FORMAT(' PROGRAMA HULZER ANALISIS DE VIBRACION TORSIONAL',//,
 *' DATOS DE ENTRADA',//)

```

* WRITE(6,305)

```

305 FORMAT(' INERCIAS',//)

```

* WRITE(6,310)(I,JI(I),I=1,NDATCS)

```

310 FORMAT(13,2X,E10.3)

```

* WRITE(6,315)

```

315 FORMAT(//,' RIGIDEZCS',//)

```

* WRITE(6,320)(I,KI(I),I=1,NDATCS-1)

```

320 FORMAT(13,2X,E10.3)

```

* WRITE(6,330)wMAX

```

330 FORMAT(//,' MAXIMA FRECUENCIA ASUMIDA ',F10.2,//)

NCUN = 0
 ICUN = 0
 w = 0.1
 Iw1 = 10.00
 Iw = Iw1

55 SUM1 = 0.0
 A1(1) = 1.00
 ICUN = ICUN + 1
 CALCULO DE LAS DEFORMACIONES
 DO 100 I = 1 , NDATUS-1
 JIw = JI(I)*w*w
 PRUD1=JIw*A1(I)
 SUM1 = SUM1 + PRUD1
 SUM2 = SUM1 / KI(I)
 A1(I+1) = A1(I) - SUM2

100 CONTINUE
 JIw = JI(1) * w * w
 PRUD1 = JIw * A1(NDATUS)
 SUM1 = SUM1 + PRUD1
 WRITE(1,*)ICUN,w,Iw,SUM1

MCJ00010
 MCJ00020
 MCJ00030
 MCJ00040
 MCJ00050
 MCJ00060
 MCJ00070
 MCJ00080
 MCJ00090
 MCJ00100
 MCJ00110
 MCJ00120
 MCJ00130
 MCJ00140
 MCJ00150
 MCJ00160
 MCJ00170
 MCJ00180
 MCJ00190
 MCJ00200
 MCJ00210
 MCJ00220
 MCJ00230
 MCJ00240
 MCJ00250
 MCJ00260
 MCJ00270
 MCJ00280
 MCJ00290
 MCJ00300
 MCJ00310
 MCJ00320
 MCJ00330
 MCJ00340
 MCJ00350
 MCJ00360
 MCJ00370
 MCJ00380
 MCJ00390
 MCJ00400
 MCJ00410
 MCJ00420
 MCJ00430
 MCJ00440
 MCJ00450
 MCJ00460
 MCJ00470
 MCJ00480
 MCJ00490
 MCJ00500
 MCJ00510
 MCJ00520
 MCJ00530
 MCJ00540
 MCJ00550
 MCJ00560
 MCJ00570
 MCJ00580
 MCJ00590
 MCJ00600

RES1 = RES2	MCJ0061
RES2 = SUM1	MCJ0062
IF (ICON.EQ.1) GO TO 200	MCJ0063
IF (RES1*RES2.GT.0.0) GC TL 200	MCJ0064
IW = IW / 2.	MCJ0065
IF (IW.LT.0.0001) GO TO 1000	MCJ0066
AB = ABS(RES2)	MCJ0067
IF (AB.LT.0.001) GO TO 1000	MCJ0068
W = W - IW	MCJ0069
RES2 = RES1	MCJ0070
GC TL 500	MCJ0071
200 W = W + IW	MCJ0072
500 IF (W.LT.WMAX) GO TO 55	MCJ0073
GO TO 10000	MCJ0074
IMPRESION DE RESULTADOS	
000 NCUN = NCUN + 1	MCJ0075
WHAT(NCUN) = W	MCJ0076
WRITE(6,510)NCUN,W	MCJ0077
510 FFORMAT(//,' MODO ',11,5X,'FREC. NATURAL ',F10.2,' RAD/SEG',/)	MCJ0078
DC 250 I = 1 , NDATUS	MCJ0079
WRITE(6,260)I,AL(I)	MCJ0080
260 FORMAT(2X,12,2X,F10.5)	MCJ0081
250 CONTINUE	MCJ0082
IW = IW1	MCJ0083
GC TL 200	MCJ0084
000 STOP	MCJ0085
END	MCJ0086
	MCJ0087
	MCJ0088



DATOS DE ENTRADA

INERCIAS

1	0.252E-01
2	0.252E-01
3	0.252E-01
4	0.252E-01
5	0.252E-01
6	0.252E-01
7	0.210E+00
8	0.100E-01
9	0.110E+00

RIGIDEZES

1	0.122E+06
2	0.122E+06
3	0.122E+06
4	0.122E+06
5	0.122E+06
6	0.122E+06
7	0.610E+06
8	0.160E+04

MAYOR FRECUENCIA ASUMIDA 3000.00

MODO 1 FREC. NATURAL 136.75 RAD/SEG

1	1.00000
2	0.99614
3	0.98843
4	0.97690
5	0.96159
6	0.94258
7	0.91992
8	0.90946
9	-3.182e4

MODO 2 FREC. NATURAL 136.76 RAD/SEG

1	1.00000
2	0.99614
3	0.98843
4	0.97690
5	0.96159
6	0.94258
7	0.91992
8	0.90946
9	-3.182e4

MODU 3 FREC. NATURAL 660.27 RAD/SEG

1 1.00000
2 0.90995
3 0.73796
4 0.49951
5 0.21608
6 -0.08680
7 -0.38187
8 -0.38357
9 0.01325

MODU 4 FREC. NATURAL 1608.97 RAD/SEG

1 1.00000
2 0.46526
3 -0.31826
4 -0.93101
5 -1.04678
6 -0.60221
7 0.16439
8 0.17120
9 -0.00100

MODU 5 FREC. NATURAL 2523.78 RAD/SEG

1 1.00000
2 -0.31565
3 -1.21602
4 -0.51652
5 0.86254
6 1.10679
7 -0.10511
8 -0.11701
9 0.00072

BIBLIOGRAFIA

- 1.) AMERICAN BUREAU OF SHIPS, "Reglas para la construcción y clasificación para buques de acero de eslora inferior a 61 metros", 1973, Banquillo-Bordadores, Madrid 1975.
- 2.) BULLETIN OF JAPAN SOCIETY OF MARINE ENGINEERS, Vol. 19, No. 1, New York, 1975.
- 3.) BUREAU OF SHIPS, Propulsion Shafting, Department of the Navy, U.S.A., 1960.
- 4.) DETROIT DIESEL, Catalogo de motores General Motors L2 M 71.
- 5.) CIEDE KURT, Manual de fórmulas técnicas, Representación y Servicios de Ingeniería, México, 1981.
- 6.) HARRINGTON ROY, Marine Engineering, Sociedad de Constructores Navales e Ingenieros Marítimos, New York, 1971.

- 1.) HEDDERING DENNIS. Elementary Mechanical Vibrations. McGraw Hill Co., U.S.A 1956.
- 2.) JURINALL ROBERT. Fundamentals of Machine Component Design. John Wiley & Sons, U.S.A 1983.
- 3.) JURINALL ROBERT. Stress, Strain and Strength. McGraw Hill, New York, 1967.
- 4.) MARTIN L. JOSE. Análisis vibracional del sistema propulsor de un buque arrestador. Proyecto de Optimización de Embarcaciones Pesqueras. Facultad de Ingeniería Marítima y Ciencias del Mar, ESPOU, Guayaquil, 1985.
- 5.) MARTIN L. JOSE. Metodología para determinar problemas vibracionales en buques pesqueros. Tesis de grado, ESPOU, Guayaquil, 1982.
- 6.) MARX. Manual del Ingeniero Mecánico. A.S.T.M. Standards Park I., U.S.A., 1958.
- 7.) MIRANDA PEDRO. Construcción y manejo de los motores Diesel. Ed. Gustavo Gili, España, 1977.
- 8.) MORENO A. VICENTE. Motores de Combustión Interna. Unico

- 11.) E. T. S. I. N. Madrid.
- 12.) PANAGIOPULOS EUGENE.: Notas sobre el cálculo de vibraciones axiales, torsional y lateral en ejes propulsores, St. Paul, E., New York, 1950.
- 13.) PARSONS MICHAEL.: Notes informales acerca de la Marina Propulsion Plant Vibration, Departamento de Arquitectura Naval e Ingeniería Marítima Universidad de Michigan, Ann Arbor, 1952.
- 14.) SHIPLEY JOSEPH E.: Diario de Ingeniería Mecánica, Mc Graw Hill, U.S.A., 1977.
- 15.) SINGER FERDINAND.: PYTEL ANDREW.: Resistencia de Materiales, Tercera Edición, Harlóz, México, 1982.
- 16.) STIOPIN P. A.: Resistencia de Materiales, Ed. H. F. R. Moscú, 1976.
- 17.) THE SOCIETY OF NAVAL ARCHITECTS AND MARINE ENGINEERS.: Longitudinal Stiffness of Main Thrust Bearing Foundations Ships & Marine Engineers, New York, 1972.
- 18.) TSE FRANCIS., MORSE IVAN and HINCKLE ROLLAND.: Mechanical

Vibrations Second Edition, Allyn & Bacon, Boston, 1978.

22.) TWIN DISK : Catálogo 319-R-10 de Transmisiones Marinas
desde 203 hasta 584 HP, Wisconsin, U.S.A.

* S.N.A.M.E : The Society of Naval Architects and Marine
Engineers.

ESPOL : Escuela Superior Politecnica del Litoral.

E.T.S.I.N. Escuela tecnica Superior de Ingenieria Naval.